

# Online Algorithmen

Rolf Klein

Mitschrift von Martin Köhler

## Inhaltsverzeichnis

<b>1</b>	<b>Einführung:</b>	<b>3</b>
<b>2</b>	<b>Selbstorganisierende Datenstrukturen</b>	<b>7</b>
2.1	Lineare Listen . . . . .	7
2.2	Selbstorganisierende Bäume . . . . .	18
<b>3</b>	<b>Paging (Caching)</b>	<b>28</b>
3.1	Modell und Algorithmen . . . . .	28
3.2	Markierungsalgorithmen . . . . .	32
3.3	Randomisierte Paging Algorithmen . . . . .	39
<b>4</b>	<b>Online-Algorithmen und Spieltheorie</b>	<b>43</b>
4.0	Elementares zu endlichen Zwei Personen Nullsummenspielen .	43
4.1	Anforderungs-Antwort-Systeme . . . . .	55
4.2	Randomisierte Algorithmen . . . . .	56
4.3	Deterministische Gegenspieler . . . . .	56
4.4	Randomisierte Gegenspieler . . . . .	58
4.5	Stärke der deterministischen Gegner . . . . .	59
4.6	Zusammenhang Spiele und Anforderungs-Antwort-Systeme . .	61
4.7	Yao's Prinzip . . . . .	63
<b>5</b>	<b>Metrische Task-Systeme</b>	<b>64</b>
5.1	Einführung . . . . .	64
5.2	Stetige Task-Systeme . . . . .	66
5.3	Traversierungsalgorithmen . . . . .	67
5.4	Randomisierte Algorithmen . . . . .	75

<b>6</b>	<b>Das <math>k</math>-Server-Problem</b>	<b>77</b>
6.1	Grundlagen . . . . .	77
6.2	Untere Schranke . . . . .	80
6.3	$k$ Server auf Bäumen . . . . .	83
6.4	2 Server im $\mathbb{R}^d$ . . . . .	91
6.5	Ein $2k - 1$ kompetitiver Algorithmus für metrische Räume . .	93

23.04.03

# 1 Einführung:

Problem: Tür in der Wand finden.

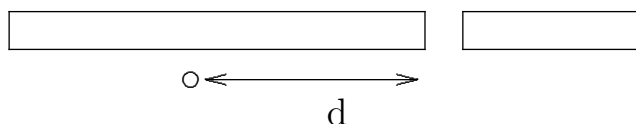


Abbildung 1: Tür in der Wand finden

$$1. \text{ gelaufener Weg} = 2 \cdot \underbrace{(1 + 2 + 3 + \dots + d - 1)}_{\frac{(d-1)d}{2}} + d = d^2$$

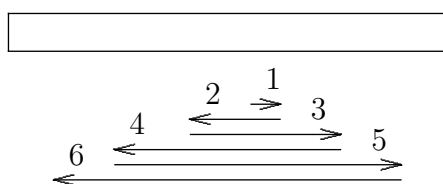


Abbildung 2: Weg um 1 erhöhen

$$2. \text{ Tiefenverdopplung gelaufener Weg} = 2 \underbrace{(1 + 2 + 2^2 + \dots + 2^{n+1})}_{\frac{2^{n+2}-1}{2-1}} + 2^n + \epsilon$$

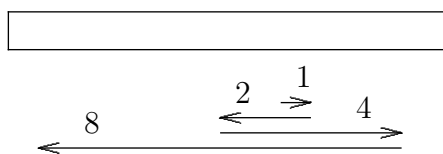


Abbildung 3: Tiefenverdopplung

$$= 8 \cdot 2^n - 2 + \underbrace{2^n + \epsilon}_d \leq 9 \cdot d$$

**Theorem 1.1** Bei Tiefenverdopplung gilt: gelaufener Weg  $\leq 9 \cdot$  längster Weg  $+ 2$

**Definition:**

$\Pi$  ein Problem (Tür in der Wand finden)

$P \in \Pi$  ein Instanz von  $\Pi$  (Konkrete Wand mit konkreter Tür)

OPT ( $P$ ) optimale Lösung von  $P$  (gehe direkt zur Tür)

Strategie  $S$  zur Lösung von  $\Pi$  heißt  $c$ -kompetitiv:

$$\Leftrightarrow \exists A : \forall P \in \Pi : S(P) \leq c \cdot \text{OPT}(P) + A$$

Tiefenverdopplung ist 9-kompetitiv

$A \leq 0$ :  $S$  stark  $c$ -kompetitiv

Fragen: gegeben  $\Pi$ , Finde  $S$  mit möglichst kleinem  $c$ .

Welches ist das kleinste mögliche  $c$ ?

**Theorem 1.2** (Gal, Baeza, Yater et al.,...) "Tür" in der Wand hat die kompetitive Komplexität 9

**Beweis: 1.2** Angenommen,  $S$  ist eine Strategie mit Faktor  $c < 9$ ,  $S = (f_1, f_2, f_3, \dots)$  Folge von Erkundungstiefen, es muß gelten:  $\forall n, \forall \epsilon > 0 :$

$$2 \cdot (f_1 + \dots + f_{n+1}) + f_n + \epsilon \leq c \cdot (f_n + \epsilon) + \underbrace{A}_{=0}$$

$$\Rightarrow 2 \cdot (f_1 + \dots + f_{n+1}) + f_n \leq c \cdot f_n$$

$$\Rightarrow f_1 + \dots + f_{n-1} + f_{n+1} \leq \underbrace{\frac{c-3}{2}}_{=H < 3} \cdot f_n$$

$$\Rightarrow f_{n+1} \leq H \cdot f_n - \sum_{i=1}^{n-1} f_i, \text{ ebenso } f_n \leq H \cdot f_{n-1} - \sum_{i=1}^{n-2} f_i$$

$$\Rightarrow f_{n+1} \leq H^2 \cdot f_{n-1} - H \cdot \sum_{i=1}^{n-2} f_i - \sum_{i=1}^{n-1} f_i$$

$$\leq (H^2 - 1)f_{n-1} - (H + 1) \sum_{i=1}^{n-2} f_i$$

$\vdots$

$$\leq a_m \cdot f_{n-m} - b_m \cdot \sum_{i=1}^{n-1-m} f_i \text{ mit:}$$

$$a_0 = H, b_0 = 1$$

$$a_{i+1} = a_i H - b_i$$

$$b_{i+1} = a_i + b_i$$

**Trick:**

Interpretation Matrixmultiplikation

$$\begin{pmatrix} a_{i+1} \\ b_{i+1} \end{pmatrix} = \underbrace{\begin{pmatrix} H & -1 \\ 1 & 1 \end{pmatrix}}_M \begin{pmatrix} a_i \\ b_i \end{pmatrix} = M^{i+1} \begin{pmatrix} a_o \\ b_o \end{pmatrix}$$

Schreibe  $\begin{pmatrix} a_o \\ b_o \end{pmatrix} = c \cdot w_1 + d \cdot w_2$  wobei  $w_1, w_2$  die Eigenvektoren von  $M$  sind.

$$\Rightarrow \begin{pmatrix} a_1 \\ b_1 \end{pmatrix} = c \cdot M \cdot w_1 + d \cdot M \cdot w_2 = c \cdot \lambda_1 \cdot w_1 + d \cdot \lambda_2 \cdot w_2$$

 $\lambda_1, \lambda_2$  Eigenwerte zu  $w_1, w_2$ 

$$\Rightarrow \begin{pmatrix} a_{i+1} \\ b_{i+1} \end{pmatrix} = c \cdot \lambda_1^{i+1} \cdot w_1 + d \cdot \lambda_2^{i+1} \cdot w_2$$

Bestimmung der Eigenwerte: Nullstellen vom charakteristischen Polynom =

$$\det(\lambda \cdot E^1 - M) = \lambda^2 - (H+1)\lambda + H+1$$

$$\lambda_{1,2} = \frac{1}{2} \cdot (H+1) \pm \sqrt{\underbrace{(H-3)(H+1)}_{<0} \cdot \frac{1}{4}} \in \mathbb{C}$$

$$\lambda_2 = \bar{\lambda}_1$$

Eigenvektoren  $w_1, w_2$ : Lösungen des linearen Gleichungssystem

$$M \begin{pmatrix} x \\ y \end{pmatrix} = \lambda_1 \begin{pmatrix} x \\ y \end{pmatrix}$$

$$\Rightarrow w_2 = \bar{w}_1, w_1 = \begin{pmatrix} 1 \\ \lambda_2 - 1 \end{pmatrix}, w_2 = \begin{pmatrix} 1 \\ \lambda_1 - 1 \end{pmatrix}$$

 $\Rightarrow w_1, w_2$  linear unabhängig

$$\begin{pmatrix} a_{i+1} \\ b_{i+1} \end{pmatrix} = c \cdot \lambda_1^{i+1} \begin{pmatrix} 1 \\ \lambda_1 - 1 \end{pmatrix} + \bar{c} \cdot \bar{\lambda}_1^{i+1} \begin{pmatrix} 1 \\ \lambda_1 - 1 \end{pmatrix}$$

$$\Rightarrow a_{i+1} = c\lambda_1^{i+1} + \bar{c} \cdot \bar{\lambda}_1^{i+1} = 2 \cdot \operatorname{Re}(c\lambda_1^{i+1})$$

Jede Multiplikation mit  $\lambda$  liefert eine Linksdrehung um Winkel  $\in (0, \frac{\pi}{2}]$  $\Rightarrow$  Es existiert ein  $i$ , so daß  $c \cdot \lambda_1^i$  in linker Halbebene

$$\Rightarrow \operatorname{Re}(c \cdot \lambda_1^i) < 0$$

$$\Rightarrow a_i = \operatorname{Re}(c \cdot \lambda_1^i) < 0 \text{ Widerspruch!}$$

$$0 < f_{i+1} \leq a_i \cdot f_i - b_i < 0 \quad \square$$

**Frage:**

- Hilft würfeln?
- n-Halbgeraden

---

<sup>1</sup>Einheitsmatrix

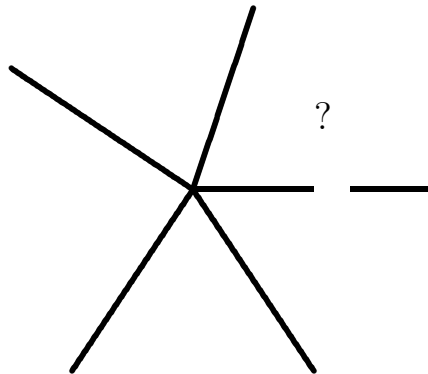


Abbildung 4: n-Halbgeraden

**28.04.03** Online-Algorithmen (Strategien): Informationen/Eingabe wird dem Algorithmus erst zur Laufzeit nach und nach mitgeteilt.

Offline-Algorithmen: Kennen alles im Voraus, können optimale Lösung finden.

Online Algorithmus ALG zur Lösung eines Problems  $\Pi$  ist  $c$ -kompetitiv, falls gilt:  $\exists A$  : so dass für alle Instanzen  $P \in \Pi$  gilt:  $ALG(P) \leq c \cdot OPT(P) + A$ , wobei  $ALG(P)$  die Kosten der Lösung von  $P$  mit ALG bezeichnet und  $OPT(P)$  die Kosten der optimalen Lösung.

Beispiel: "Tür in der Wand finden":

ALG =Tiefenverdopplung (Doubling) ist 9-kompetitiv, und es gibt keinen besseren (deterministischen) Online Algorithmus für dieses Problem

$\Rightarrow$  9 ist die Kompetitive Komplexität vom Problem "Tür in der Wand finden"

Weitere Anwendungsbereiche:

- Selbstorganisierende Datenstrukturen
- Paging
- Bezug zur Spieltheorie
- Servertheorie
- Verpacken
- Lastverteilung
- Scheduling
- Routing

- Graphfärbung
- Maschinelles Lernen
- Finanzprobleme
- Navigation für Roboter

## Literatur

- Borodin, El-Yaniv - Online Computation and Competitive Analysis, Cambridge, 1998
- Fiat, Woeginger - Online Algorithms: The State of Art, Springer LNCS 1442, 1998

## 2 Selbstorganisierende Datenstrukturen

### 2.1 Lineare Listen

(zur Lösung des Wörterbuchproblems)

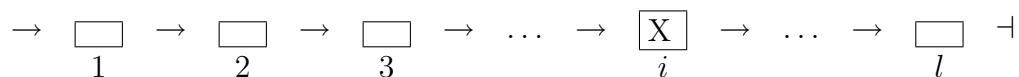


Abbildung 5: Listenmodell

Sequentieller Zugriff, jedes Element kommt höchstens einmal vor.

#### Statisch:

ACCESS(X) Kosten  $i$ , falls X an Position  $i$  steht  
 Kosten  $l + 1$ , falls X nicht in der Liste vorkommt

Man darf die Liste umorganisieren (um sie für künftige Anfragen effizienter zu machen)

#### erlaubt:

1. nach erfolgreichem Zugriff auf X darf X um eine beliebige Anzahl von Positionen nach vorne gebracht werden.  
 Kosten=0, "Kostenfreie Vertauschung"

2. man darf jederzeit und überall zwei benachbarte Listenelemente vertauschen.

Kosten=1 "Kostenpflichtige Vertauschung"

### Dynamisch:

Zusätzlich INSERT(X): Kosten  $l+1$  (eingefügt wird hinten, wegen Test auf doppeltes Vorkommen)

DELETE(X): Kosten  $i$  bzw  $l + 1$  (wie bei ACCESS)

### Situation:

Liste der Länge  $l$  gegeben. Es kommt Folge  $\sigma$  von  $n$  Zugriffen auf Liste.

OPT kennt  $\sigma$  im Voraus, kann Liste entsprechend organisieren (Es gibt Fälle, in denen OPT kostenpflichtige Vertauschungen benötigt)

Wie? NP-vollständig (Ambühl, 2000)

ALG erhält jeweils nur die nächste Anforderung in der Sequenz  $\sigma = \sigma_1\sigma_2 \dots \sigma_i \dots \sigma_n$  und muss sofort reagieren.

Mögliche Kandidaten für ALG :

TRANS (Transpose): Bringe X nach erfolgreichem ACCESS (oder INSERT) um *eine* Position weiter nach vorne (vorsichtig).

MTF (Move to Front): Bringe X nach erfolgreichem ACCESS (oder INSERT) an den Listenanfang (energisch)

FC (Frequency Count): Führt Buch über die erfolgreichen Zugriffe, ordnet Liste entsprechend an. (Gewissenhaft, aufwendig zu implementieren)

**Theorem 2.1.1** (Sleator, Tarjan, 85, Erstes Paper zu Online Analyse) MTF ist  $(2 - \frac{1}{l+1})$ -kompetitiv bei maximaler Listenlänge  $l$

### Beweis 2.1.1:

Benutzt zwei Techniken:

- Betrachtung der amortisierten Kosten
- Darstellung der amortisierten Kosten durch Potentialfunktionen

### Idee:

MTF und OPT starten mit derselben Liste der Länge  $l$ , müssen dieselbe Folge  $\sigma = \sigma_1\sigma_2 \dots$  bedienen, aber auf unterschiedliche Art.

LOPT <sub>$i$</sub>  : Liste von OPT nach Bearbeitung von  $\sigma_i$

LMTF <sub>$i$</sub>  : Liste von MTF nach Bearbeitung von  $\sigma_i$



**Definition:**

Amortisierte Kosten von MTF bei Bearbeitung von  $\sigma_i : a_i = t_i + \phi_i - \phi_{i-1}$ , wobei  $t_i =$  "echte" Kosten (=reine Suchkosten) von MTF bei Bearbeitung von  $\sigma_i$ .

Potentialfunktion  $\phi_i$ : Mißt Ähnlichkeit von  $\text{LOPT}_i$  und  $\text{LMTF}_i$ , genauer:

$\phi_i =$  Anzahl  $\text{inv}(\text{LMTF}_i, \text{LOPT}_i)$  der Inversionen der beiden Listen, d.h.

$\text{Inv}(\text{LMTF}_i, \text{LOPT}_i) = \{(X, Y), X \text{ steht in } \text{LMTF}_i \text{ vor } Y \text{ und in } \text{LOPT}_i \text{ hinter } Y\}$

**Beispiel:**

3	15	8	4	7	1	Insgesamt 11 Inversionen (3: 5, 15: 4, 8: 0, 4: 1, 7: 1)
8	1	4	7	15	3	

$s_i =$  reine Suchkosten von OPT bei Bearbeitung von  $\sigma_i$

$P_i =$  Anzahl kostenpflichtiger Vertauschungen von OPT bei Bearbeitung von  $\sigma_i$

$F_i =$  Anzahl freier Vertauschungen von OPT bei Bearbeitung von  $\sigma_i$

**Lemma 2.1.2**  $a_i \leq (2s_i - 1) + P_i - F_i$

**Beweis 2.1.2:**

$\sigma_i = \text{ACCESS}(X_j)$ , erfolgreich

Situation vor Ausführung von  $\sigma_i$ : Seit  $\nu =$  Anzahl der Elemente, die in

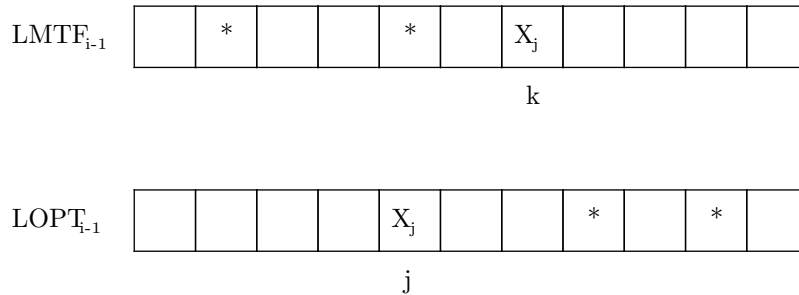


Abbildung 6: Listen von MTF und OPT

$\text{LMTF}_{i-1}$  vor  $X_j$  stehen und in  $\text{LOPT}_{i-1}$  dahinter stehen

$\Rightarrow$  von den  $k - 1$  Elementen, die in  $\text{LMTF}_{i-1}$  vor  $X_j$  stehen, stehen auch in  $\text{LOPT}_{i-1} : k - 1 - \nu$  vor  $X_j$

$\Rightarrow k - 1 - \nu \leq j - 1$

$\Rightarrow k - \nu \leq j$  (=Suchkosten von OPT)

Vorstellung, erst bearbeitet MTF die Anforderung  $\sigma_i$ , dann OPT

MTF :

- Suchkosten  $t_i = k$
- dadurch, daß  $X_j$  ganz nach vorne kommt:  $\nu$  alte Inversionen verschwinden
- $k - 1 - \nu$  neue Inversionen entstehen

$$\Rightarrow \text{inv}(\text{LMTF}_i, \text{LOPT}_{i-1}) - \text{inv}(\text{LMTF}_{i-1}, \text{LOPT}_{i-1}) = k - 1 - 2\nu$$

$$\Rightarrow t_i + k - 1 - 2\nu = 2(k - \nu) - 1 \leq 2j - 1 \text{ Zwischenbilanz.}$$

OPT :

- Suchkosten  $s_i = j$
- jede freie Vertauschung von OPT beseitigt eine Inversion (Da  $X_j$  in  $\text{LMTF}_i$  ganz vorn steht.
- jede kostenpflichtige Vertauschung durch OPT schafft  $\leq 1$  neue Inversionen.

$$\Rightarrow \text{inv}(\text{LMTF}_i, \text{LOPT}_i) \leq \text{inv}(\text{LMTF}_i, \text{LOPT}_{i-1}) + P_i - F_i$$

$$\Rightarrow a_i = t_i + \phi_i - \phi_{i-1}$$

$$= t_i + \text{inv}(\text{LMTF}_i, \text{LOPT}_i) - \text{inv}(\text{LMTF}_i, \text{LOPT}_{i-1}) + \text{inv}(\text{LMTF}_i, \text{LOPT}_{i-1}) - \text{inv}(\text{LMTF}_{i-1}, \text{LOPT}_{i-1})$$

$$\leq 2j - 1 + P_i - F_i = 2s_i - 1 + P_i - F_i.$$

**30.04.03** MoveTo Front (MTF): Wollen zeigen  $(2 - \frac{1}{l+1})$ -kompetitiv,  $l$ =maximale Länge. Hatten definiert: amortisierte Kosten einer MTF -Operation

$a_i = t_i + \phi_u - \phi_{i-1}$ , wobei  $t_i$  = echte Kosten von MTF (reine Suchkosten)

$\phi_i$  = Anzahl der Inversionen  $\text{LMTF}_i$  bzgl.  $\text{LOPT}_i$   $\sigma_i = \text{ACCESS}(X_j)$  erfolg-

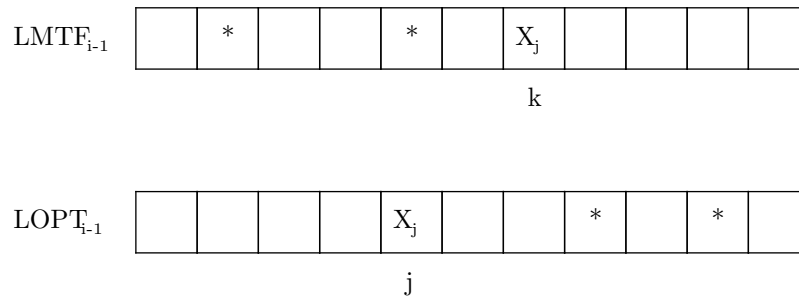


Abbildung 7: Listen von MTF und OPT

reich.

**Hatten bewiesen:**

**Lemma 2.1.2:**  $a_i \leq 2s_i + P_i - F_i$ , wobei:

$s_i$  = Suchkosten von OPT bei der Bearbeitung von  $\sigma_i$

$P_i$  = Anzahl kostenpflichtiger Vertauschungen von OPT bei der Bearbeitung von  $\sigma_i$

$F_i$  = Anzahl freier Vertauschungen von OPT bei der Bearbeitung von  $\sigma_i$

$$\text{Methode: } a_i = \underbrace{t_i + \text{inv}(\text{LMTF}_i, \text{LOPT}_{i-1}) - \text{inv}(\text{LMTF}_{i-1}, \text{LOPT}_{i-1})}_{\leq 2j-1=2s_i-1} + \underbrace{\text{inv}(\text{LMTF}_i, \text{LOPT}_i) - \text{inv}(\text{LMTF}_i, \text{LOPT}_{i-1})}_{\leq P_i - F_i}$$

Falls  $\sigma_i = \text{ACCESS}(X_j)$  nicht erfolgreich

$\Rightarrow$  weder MTF noch OPT machen freie Vertauschungen

müssen zeigen:  $a_i = \underbrace{t_i}_{=l+1} + \underbrace{\phi_i - \phi_{i-1}}_{\leq P_i} \leq \underbrace{2s_i - 1}_{=2l+1} + P_i - F_i \quad \square$

Falls  $\sigma_i = \text{DELTE}(X_j)$  erfolgreich

$\Rightarrow$  keine freien Vertauschungen

$$\underbrace{t_i}_{=k} + \underbrace{\text{inv}(\text{LMTF}_i, \text{LOPT}_{i-1}) - \text{inv}(\text{LMTF}_{i-1}, \text{LOPT}_{i-1})}_{-\nu}$$

$\Rightarrow k - \nu = j \leq 2j - 1 \quad (j \geq 1)$

$= 2s_i - 1$ , Rest analog

Falls  $\sigma_i = \text{DELETE}(X_j)$  erfolglos, wie erfolgloses  $\text{ACCESS}(X_j)$

Falls  $\sigma_i = \text{INSERT}(X_j)$ : Wie bei  $\text{ACCESS}(X_j)$  mit  $k = j = l + 1, \nu = 0 \quad \square$

**Theorem 2.1.3** Sei  $\sigma$  eine Folge von  $n$  Zugriffen (*ACCESS*, *INSERT* oder *DELETE*). Dann gilt bei gleicher Anfangsliste:

$$\text{MTF}(\sigma) \leq 2 \cdot \text{OPT}_S(\sigma) + P - F - n$$

$\text{OPT}_S$  = Reine Suchkosten von OPT

$P$  = Kostenpflichtige Vertauschungen von OPT

$F$  = Kostenfreie Vertauschungen von OPT

**Beweis 2.1.3:**

$$\text{MTF}(\sigma) = \sum_{i=1}^n t_i \leq \sum_{i=1}^n t_i + \underbrace{\phi_n}_{\geq 0} - \underbrace{\phi_0}_{=0} = \sum_{i=1}^n (t_i + \phi_i - \phi_{i-1}) = \sum_{i=1}^n a_i \leq$$

$$\sum_{i=1}^n ((2s_i - 1) + P_i - F_i) = 2 \cdot \text{OPT}_S(\sigma) + P - F - n \quad \square$$

**Beweis von Theorem 2.1.1:**

$$\text{MTF}(\sigma) \leq \underbrace{2 \cdot \text{OPT}_S(\sigma) + P - F - n}_{=2 \cdot \text{OPT}(\sigma)}$$

$l$  = maximale Listenlänge

$\Rightarrow \text{OPT}(\sigma) \leq n(l+1)$  (Denn OPT ist sicher besser als der bequeme Algorithmus, der bei jeder Operation bis zum Listenende läuft)

$$\Rightarrow n \geq \frac{\text{OPT}(\sigma)}{l+1}$$

$$\Rightarrow \text{MTF}(\sigma) \leq \left(2 - \frac{1}{l+1}\right) \text{OPT}(\sigma) \quad \square$$

**Fragen**

- Ist das gut?
- Ist MTF übereifrig?
- Ist TRANS besser?

**Proposition 2.1.4** TRANS ist nicht kompetitiv (falls Listenlänge beliebig)

**Beweis 2.1.4:** Sei eine Liste mit  $l$  Elementen gegeben. Der böse Gegenspieler (adversary) ärgert TRANS und fordert stets ACCESS-Operationen für das letzte Element in LTRANS

$\Rightarrow$  TRANS vertauscht stets die beiden letzten Listenelemente  $\Rightarrow \text{TRANS}(\sigma) =$



Abbildung 8: Worst Case von TRANS

$2n \cdot l$  bei einer Folge von  $2n$  Zugriffen.

Der Gegenspieler OPT bringt zunächst  $x$  und  $y$  nach vorne, danach hat OPT Kosten 3 für je 2 Zugriffe auf  $(x,y)$

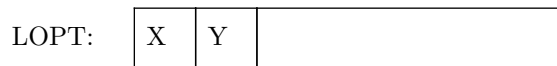


Abbildung 9: Verhalten von OPT

$$\Rightarrow \frac{\text{TRANS}(\sigma)}{\text{OPT}(\sigma)} = \frac{2nl}{2(l-2)+3n} \xrightarrow{n \rightarrow \infty} \frac{2}{3}l \quad (\text{d.h. für große } l \text{ ist TRANS beliebig schlecht})$$

**Theorem 2.1.5** Jeder deterministische Online-Algorithmus für das statische Listenproblem hat einen kompetitiven Faktor  $\geq 2 - \frac{2}{l+1}$

**Beweis 2.1.5** Sei ALG ein solcher Algorithmus. Wenn Gegenspieler  $n$ -mal das letzte Element verlangt:  $\text{ALG}(\sigma) \geq n \cdot l$

**Frage:** Wie gut kann OPT Folge  $\sigma$  bedienen?

**Trick:** Definiere Algorithmus  $A_\pi$  wie folgt:

- stellt Permutation  $\pi$  her. Kosten  $b \cdot l^2$
- beantworte danach alle ACCESS-Operationen ohne weitere Umstrukturierungen

Betrachte eine einzelne Anforderung  $\text{ACCESS}(X)$ .

Es gibt  $(l-1)!$  Permutationen  $\pi$ , bei denen  $X$  an Stelle  $i$  steht.

$$\sum_{\pi} A_{\pi}(\text{ACCESS}(X)) = \sum_{i=1}^l i(l-1)! = (l-1)! \frac{l(l+1)}{2}$$

$$\Rightarrow \sum_{\pi} A_{\pi}(\sigma) = n \cdot (l-1)! \frac{l(l+1)}{2} + l! \cdot b \cdot l^2$$

$$\Rightarrow \text{Mittelwert: } \frac{1}{l!} \sum_{\pi} A_{\pi}(\sigma) = \frac{n(l+1)}{2} + b \cdot l^2$$

Trick: Es muss mindestens ein  $\pi_0$  geben mit  $A_{\pi_0}(\sigma) \leq \text{Mittelwert}$

$$\Rightarrow \frac{\text{ALG}(\sigma)}{\text{OPT}(\sigma)} \geq \frac{n \cdot l}{\text{OPT}(\sigma)} \geq \frac{n \cdot l}{A_{\pi_0}(\sigma)} \geq \frac{n \cdot l}{n \frac{l+1}{2} + l^2 \cdot b} \xrightarrow{n \rightarrow \infty} \frac{2l}{l+1} = 2 - \frac{2}{l+1} \quad \square$$

**Rekapitulation:**

- Selbst im statischen Fall ist die Berechnung von OPT NP-vollständig
- MTF ist 2-kompetitiv (auch im dynamischen Fall)
- eine bessere Online-Lösung (deterministisch) gibt es nicht
- Auch in der Offline Version ist keine bessere Approximation von OPT (in polynomieller Laufzeit) bekannt

**07.05.03**

**Frage: Hilft Randomisierung?** Folgendes Modell:

**Online Algorithmus** (“Spieler“): Trifft zur Laufzeit zufällige Entscheidungen nach einer bestimmten Wahrscheinlichkeitsverteilung.

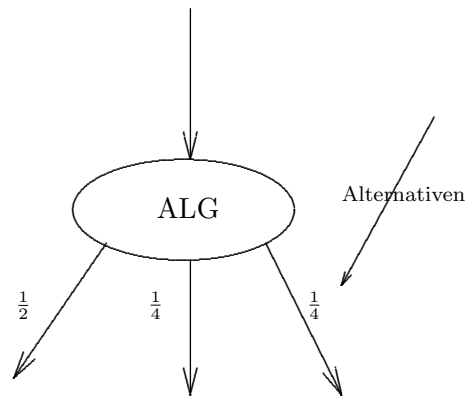


Abbildung 10: Entscheidungsbaum

**Vergesslicher Gegenspieler** (oblivious adversary): Trifft seine Entscheidungen vor dem Start

- in Kenntnis des Algorithmus und der Wahrscheinlichkeitsverteilung
- ohne Kenntnis der konkreten Entscheidungen des Spielers

**Abrechnung:** Zu erwartende Kosten des Online Algorithmus gegen Kosten einer optimalen Offline Lösung

**Definition:** Ein randomisierter Online-Algorithmus ALG heißt  $c$ -kompetitiv gegen vergessliche Gegenspieler, falls gilt:  $\exists A : \forall P \in \Pi : E^2(\text{ALG}(P)) \leq c \cdot \text{OPT}(P) + A$

**Dynamische Listenverwaltung mit randomisiertem Algorithmus bit**  
statischer Fall: Nur Zugriffe ACCESS(X)

- Rate anfangs für jedes Listenelement  $X$  ein Zufallsbit  $b(X)$   
gleichwahrscheinlich 0 oder 1  
unabhängig } i.i.d.<sup>3</sup>
- Zur Laufzeit (deterministisch) bei ACCESS(X)
  - komplementiere  $b(X)$  (d.h.  $b(X) = 1 - b(X)$ )

<sup>2</sup>E = Erwartungswert

<sup>3</sup>independent identically distributed

- falls  $b(X)$  jetzt 1, bringe  $X$  an den Listenanfang (kostenfreie Vertauschungen, es bleibt  $b(X)=1$ )

**Theorem 2.1.6** (Reingold, Westbrook 90'): Für jede Zugriffsfolge  $\sigma$  der Länge  $n$  gilt:

$$E(\text{BIT}(\sigma)) \leq \underbrace{\frac{7}{4}}_{<2} \text{OPT}(\sigma) - \frac{3}{4}n$$

**Beweis 2.1.6:** Sei  $\sigma$  eine feste Folge von  $n$  ACCESS-Operationen. Während BIT die Folge  $\sigma$  bearbeitet, sind aktuellen Werte  $b(X)$  i.i.d.

**Betrachte zwei Typen von Events:**

- (i) OPT führt kostenpflichtige Vertauschung aus
- (ii) BIT und OPT bearbeiten ACCESS( $Y$ ) mit kostenfreien Vertauschungen

**Wie vorher:** Potentialfunktion  $\phi_i$ , mißt das Verhältnis der Listen LBIT und LOPT nach Bearbeitung des  $i$ -ten Events. Intuitiv klar:  $\phi$  muß auch die Bits  $b(X)$  berücksichtigen.

**Definition:**

1. Sei  $(x, y)$  eine Inversion von LBIT bezüglich LOPT (d.h. in LBIT steht  $x$  vor  $y$ , aber in LOPT steht  $x$  hinter  $y$ ). Dann heißt  $w(x, y) = (b(y) + 1)$  das Gewicht<sup>4</sup> von  $(x, y)$ . Das Gewicht hängt nur von  $y$  ab.
2.  $\phi = \sum_{(x,y) \in \text{inv}(LBIT, LOPT)} w(x, y)$  (Summe der Gewichte)
3. Trick: Betrachtung der amortisierten Kosten von BIT bei der  $i$ -ten Operation  
 $a_i = \text{BIT}_i^5 + \phi_i - \phi_{i-1}$

Damit (wie im deterministischen Fall):

$$\text{BIT}(\sigma) = \sum_i \text{BIT}_i = \sum_i a_i + \underbrace{\phi_0}_{=0} - \underbrace{\phi_{\text{last}}}_{\geq 0} \leq \sum_i a_i \quad (\text{Am Anfang LBIT=LOPT})$$

<sup>4</sup>Anzahl ACCESS( $y$ ) bevor  $y$  nach vorne kommt

<sup>5</sup>reale Kosten von BIT

**zu zeigen:** bei Event vom Typ

$$\left. \begin{array}{l} \text{(i): } E(a_i) \leq \frac{7}{4}OPT_i \\ \text{(ii): } E(a_i) \leq \frac{7}{4}OPT_i - \frac{3}{4}(n\text{-mal}) \end{array} \right\} \Rightarrow \text{Theorem 2.1.6}$$

Ein Event vom Typ (i) (kostenpflichtige Vertauschung durch OPT ) schafft maximal 1 neue Inversion, deren Gewicht 1 oder 2 ist, mit derselben Wahrscheinlichkeit.

$$\Rightarrow E(a_i) = E(\underbrace{BIT_i}_{=0}) = E(\underbrace{\phi_i - \phi_{i-1}}_{\leq \frac{1}{2}(1) + \frac{1}{2}(2)}) \leq \frac{3}{2} < \frac{7}{4} = \frac{7}{4} \cdot 1 = \frac{7}{4}OPT_i^6$$

Event vom Typ (ii): (Suchzugriff durch BIT und OPT mit kostenfreien Vertauschungen) Sei  $I$  = Anzahl  $X$  :  $X$  steht in LBIT vor  $Y$  und in LOPT

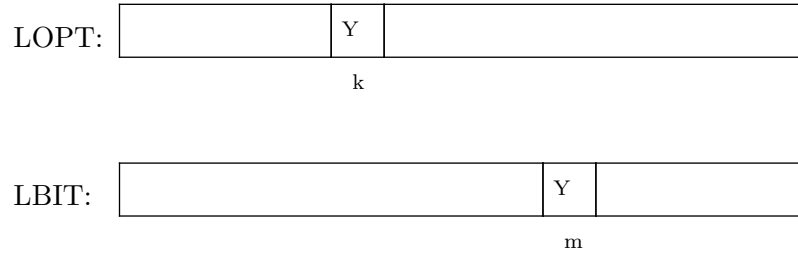


Abbildung 11: Listen von OPT und BIT

hinter  $Y$

= Anzahl  $X$  :  $(X, Y) \in \text{inv}(\text{LBIT}, \text{LOPT})$

wie früher: Von den  $m - 1$  Vorgängern von  $Y$  in LBIT müssen  $m - 1 - I$  auch Vorgänger von  $Y$  in LOPT sein

$$\Rightarrow m - 1 - I \leq k - 1$$

$$\Rightarrow BIT_i = m \leq k + 1(*)$$

**Trick:** Schreibe  $\phi_i - \phi_{i-1} = A + B + C$ , wobei

A = Gesamtgewicht aller neuen Inversionen.

B = Gesamtgewicht aller entfernten alten Inversionen ( $\leq 0$ ).

C = Gewichtsänderungen der überlebenden alten Inversionen.

Betrachte zunächst B und C.

**falls  $b(Y) = 1$ :** BIT bewegt  $Y$  nicht,  $b(Y) = 0$ . OPT kann  $Y$  weiter nach vorn bringen und dadurch Inversionen ( $Y, Z$ ) entfernen.  $\Rightarrow B \leq 0$

falls überlebende Inversionen ihr Gewicht verändert haben  $\Rightarrow$  sie enthalten

<sup>6</sup>Kosten von OPT bei Bearbeitung dieses Events



y an zweiter Stelle, haben also die Gestalt  $(X, Y) \Rightarrow$  Gewicht um 1 kleiner  $\Rightarrow C = -I$ .

**falls  $b(Y) = 0$ :** BIT bringt Y an Listenanfang,  $b(Y) = 1 \Rightarrow$  Alle alten  $(X, Y)$  verschwinden, hatten vorher Gewicht 1.  $B = -I, C = 0$ , denn keine Inversion, deren Gewicht sich geändert hätte, kann überleben.

$\Rightarrow$  stets  $B + C \leq -I (**)$

$\Rightarrow E(a_i) = E(\text{BIT} + A + B + C) \leq E(A) + E(\underbrace{k + I - I}_{**}) = E(A) + k(***)$

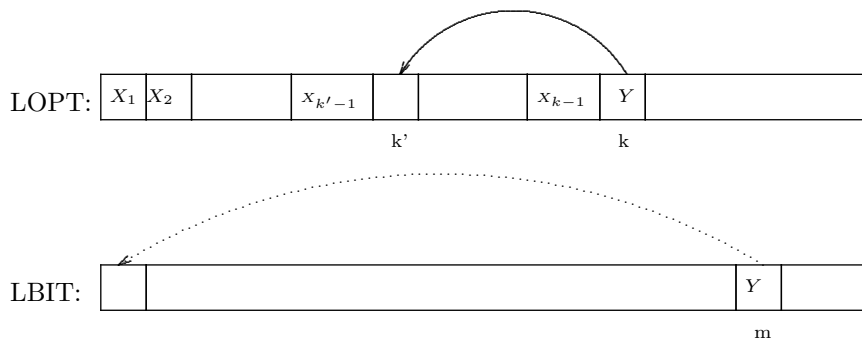


Abbildung 12: Listen LOPT und LBIT

**Betrachte jetzt  $E(A)$ :** OPT bringt Y (kostenfrei) an Stelle  $k' \leq k$

**Zwei Arten neuer Inversionen**

- $b(Y) = 0$ , Y wird von BIT an Listenanfang gebracht  $\Rightarrow$  genau die  $(Y, X_1), \dots, (Y, X_{k'-1})$ , mit Gewicht  $w(Y, X_j) = b(X_j)^7 + 1$  sind neu.
- $b(Y) = 1$ , Y wird von BIT nicht verschoben  $\Rightarrow$  höchstens  $(X'_k + 1, Y), \dots, (X_{k-1}, Y)$  sind neu und haben Gewicht 1.

$$\begin{aligned} \Rightarrow E(A) &\leq \frac{1}{2} \left( \sum_{j=1}^{k'-1} \frac{1}{2}(1+2) \right) + \frac{1}{2} \left( \sum_{j=k'+1}^{k-1} 1 \right) \leq \frac{1}{2} \sum_{j=1}^{k-1} \left( \frac{3}{2}(k-1) \right) \\ &= \frac{3}{4}(k-1) \Rightarrow E(a_i) \leq \underbrace{k}_{***} + E(A) \leq \frac{7}{4}k - \frac{3}{4} = \frac{7}{4}\text{OPT}_i - \frac{3}{4} \square \end{aligned}$$

---

<sup>7</sup>0 oder 1, gleich wahrscheinlich

**12.05.03**

- Man kann auch auf  $\frac{8}{5}$  herunterkommen mit:  $\frac{4}{5} \cdot \text{BIT} + \frac{1}{5} \cdot \text{TIMESTAMP}$  (S. Alkers '95, determ. 2-kompetitiv)
  - Nach  $\text{ACCESS}(X)$ : bringe  $X$  vor das vorderste  $Y$ , das nach dem letzten  $\text{ACCESS}(X)$  erst 1 Mal dran war, falls solch ein  $Y$  existiert, sonst lasse  $X$  stehen.
- Geht es noch besser?  
Offen.

**2.2 Selbstorganisierende Bäume**

**Idee 1:** Statt MoveToFront (nach  $\text{ACCESS}(X)$ ): MoveToRoot!  
Müssen Suchbaumstruktur erhalten. Wie?

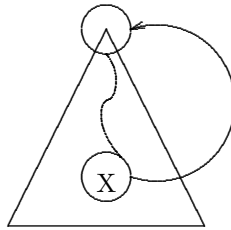


Abbildung 13: MoveToRoot

**Idee 2:** Durch Rotation.

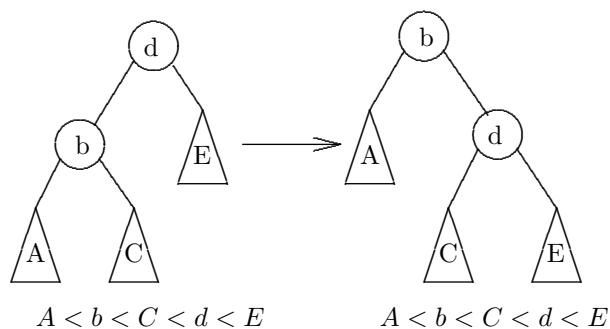


Abbildung 14: Rotation

**Idee 3:** Wiederhole Rotation um Vater bis X oben steht.

**Kostenmodell**     $\left. \begin{array}{l} \text{Rotation um X kostenfrei} \\ \text{Ansonsten kostet Rotation 1} \end{array} \right\} \text{ wie bei den Listen.}$

**Theorem 2.2.1** (Allen, Manuro '78) Sei  $T$  Suchbaum mit Schlüsselmenge  $S = \{1, 2, \dots, 2m\}$  Dann sind bei der Zugriffsfolge:  $(ACCESS(1), ACCESS(2), \dots, ACCESS(m))^2$  die mittleren Kosten pro Zugriff in  $\Omega(m)$  bei Verwendung von MTR .

Dagegen wäre beim AVL-Baum sogar der Worst case pro Zugriff in  $O(\log m)$ .

**Beweisskizze 2.2.1:** Egal mit welchem  $T$  man startet, nach  $\underbrace{ACCESS(1), \dots, ACCESS(m)}_{\text{„ganzer Durchlauf“}}, ACCESS(1), \dots, ACCESS(i-1)$  sieht der Baum so aus. Wie kommt das? Grund: lange Ketten bleiben unter MTR erhalten.

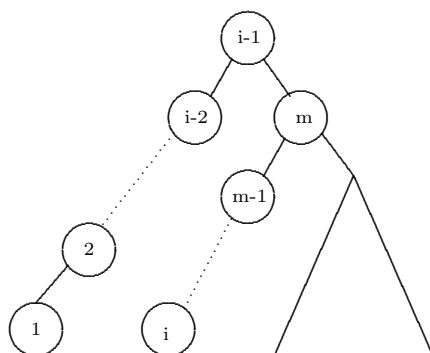


Abbildung 15: MTR nach  $m + i - 1$  Schritten

(Siehe Abbildung 15 und 16 auf der nächsten Seite)

**Abhilfe** (Sleator, Tarjan '85): Rotiere erst am Großvater, dann am Vater.  $\rightarrow$  Splay<sup>8</sup> Trees MTR \*. Literatur: Ottman/Widmayer, Algorithmen Datenstrukturen.

- falls Vater(x) existiert
  - falls Großvater(x) existiert
    - \* Falls Großvater(x), Vater(x), x auf Rechts- oder Linkspfad: Rotiere Großvater(x), Vater(x)

<sup>8</sup>ausgebreitet, gespreizt

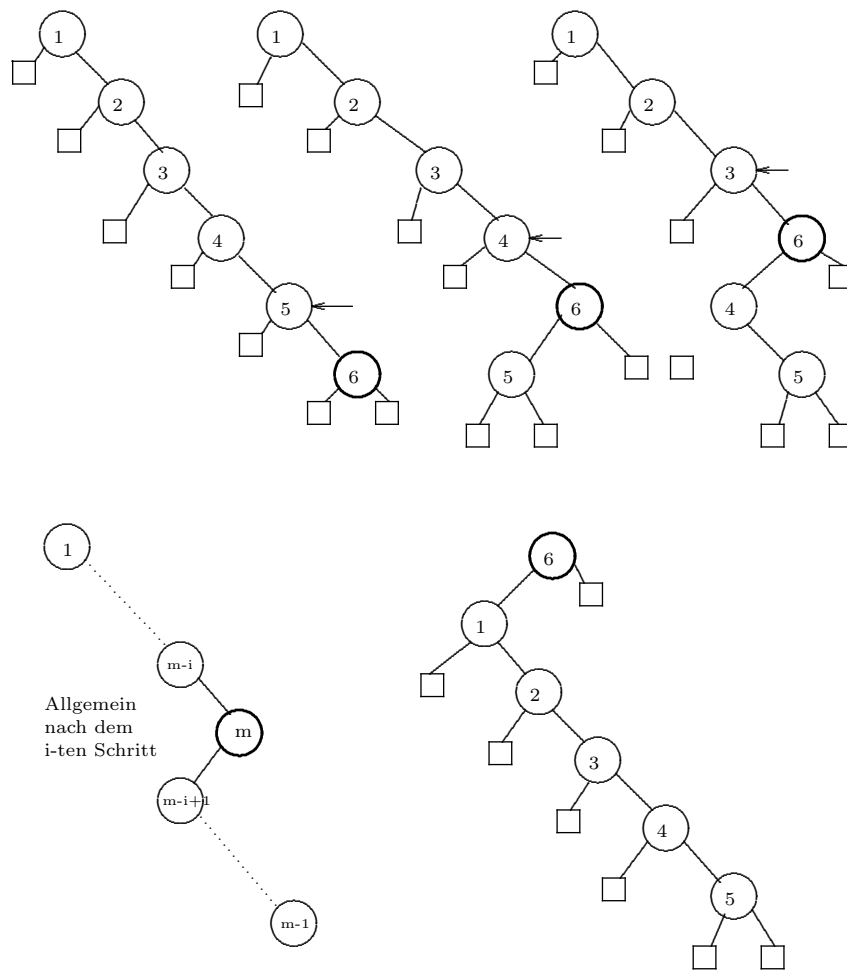


Abbildung 16: MTR(6) bei entartetem Baum

- \* sonst rotiere Vater(x), [Groß]vater(x)
- sonst rotiere Vater(x)

Siehe: Abbildung 17 auf der nächsten Seite und 18 auf der nächsten Seite

### 3 Fälle

- zig-zig<sup>9</sup> Siehe Abbildung 19 auf Seite 22
- zig-zag Siehe Abbildung 20 auf Seite 22
- zig Siehe Abbildung 21 auf Seite 23

<sup>9</sup>links-links oder rechts-rechts

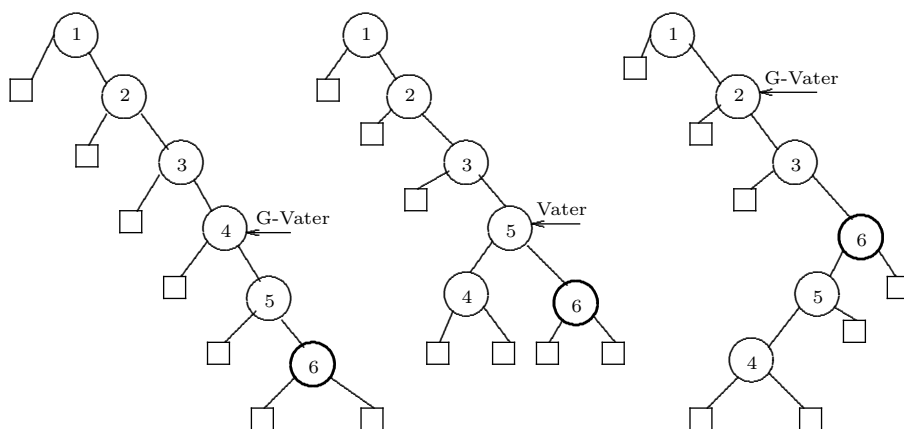


Abbildung 17:  $MTR^*(6)$  bei entartetem Baum (1)

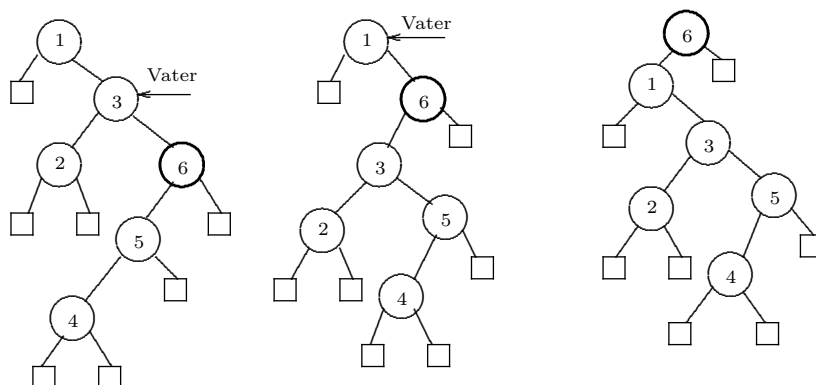


Abbildung 18:  $MTR^*(6)$  bei entartetem Baum (2)

**Achtung!** Auch die zig-zig Fälle können Höhe reduzieren

**Analyse:** Jedes gespeicherte Element  $i$  habe das Gewicht  $w(i) > 0$  (die  $w(i)$  können später noch festgesetzt werden)

**Definition**  $x$  Knoten von  $T$ :  $S(x) = \sum_{i \in \text{Teilbaum } T_x} w(i)$

$$r(x) = \log_2 S(x)$$

$$\phi(T) = \sum_{x \in T} r(x).$$

$\text{Splay}(x, T)$  = echte Kosten des Aufrufs  $MTR^*(x)$  in  $T$

$A(x, T) = \text{Splay}(x, T) + \phi(\tilde{T}) - \phi(T)$  amortisierte Kosten von Zugriff auf  $x$ .

$\tilde{T}$  = der aus  $T$  durch  $MTR^*(x)$  entstehende Baum.

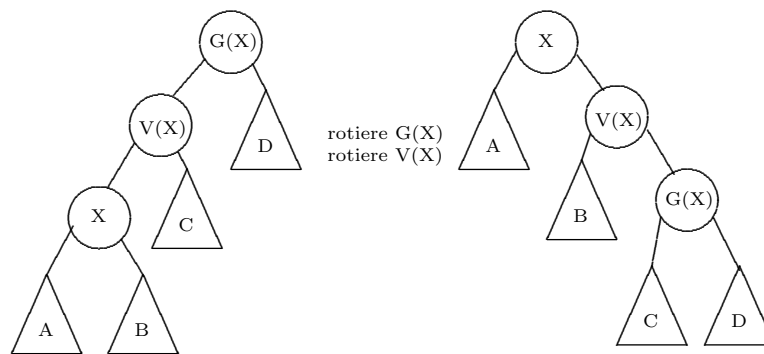


Abbildung 19: zig-zig

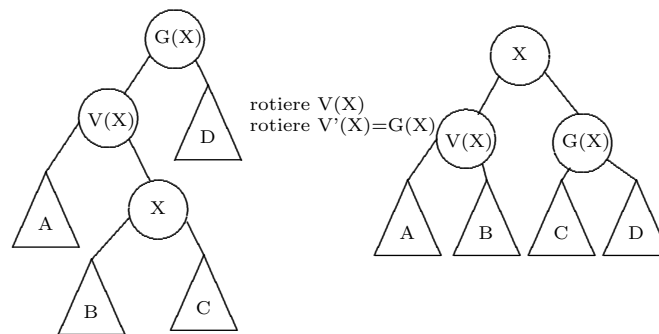


Abbildung 20: zig-zag

Brauchen ein technisches Lemma.

**Lemma 2.2.2** Seien  $T, T'$  zwei beliebige (Splay-)Trees über  $\{1, \dots, n\}$  und sei  $W = \sum_{i=1}^n w(i)$

Dann gilt:  $|\phi(T) - \phi(T')| \leq \sum_{i=1}^n \log \left( \frac{W}{w(i)} \right)$

**Beweis 2.2.2:** Seien  $x_i$  und  $x'_i$  die Knoten von  $T$  und  $T'$ , die Element  $i$  enthalten.

**Klar:**  $w(i) \leq S(x_i), S(x'_i) \leq W$   
 $\Rightarrow \log(w(i)) \leq r(x_i), r(x'_i) \leq \log W$   
 $\Rightarrow \phi(T) - \phi(T') = \sum_{i=1}^n (r(x_i) - r(x'_i))$

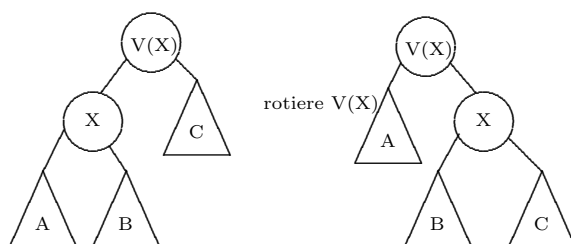
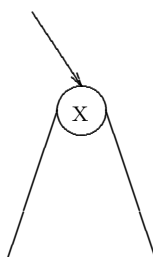


Abbildung 21: zig

Abbildung 22: Teilbaum  $T_x$ 

$$\leq \sum_{i=1}^n (\log(W) - \log(w(i))) = \sum_{i=1}^n \log \frac{W}{w(i)}$$

und symmetrisch  $\square$

**Lemma 2.2.3** (“ACCESS-Lemma“)  $A(x, T) = \text{Kosten einer Elementaroperation}^{10}$  von  $ACCESS(x) + \phi(T') - \phi(T)$

$\leq 3(r'(x) - r(x))$  im Falle zig-zig oder zig-zag

$\leq 3(r'(x) - r(x)) + 1$  im Falle zig

Dabei  $r'$ : Rang Funktion des Baum  $T'$ , der aus  $T$  bei dem Zugriff entsteht.

### Beweis 2.2.3

zig: z.z.:  $1 + \phi(T') - \phi(T) \leq (r'(x) - r(x)) + 1$ . Nur  $x$  und  $y$  haben ihre  $r$ -Werte geändert.

$$\begin{aligned} 1 + \phi(T') - \phi(T) &= 1 + r'(x) + r'(y) - r(x) + r(y) \\ &= \underbrace{r'(y) - r(y)}_{\leq 0} + \underbrace{r'(x) - r(x)}_{\geq 0} + 1 \\ &\leq 3(r'(x) - r(x)) + 1 \end{aligned}$$

<sup>10</sup>zig-zig, zig-zag, zig

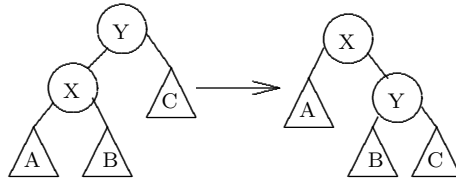


Abbildung 23: Verhalten von zig

**14.05.03**

$S(x) = \sum_{i \in T_x} w(i)$  "Größe von x"

$r(x) = \log_2 S(x)$  "Rang von x"

$\phi(T) = \sum_{x \in T} r(x)$

Wie üblich:  $\text{Splay}(x, T)$  = echte Kosten von  $\text{ACCESS}(x)$  in  $T$  (einschl. kostenloser Restrukturierung mit  $\text{MTR}^*(x)$ ).

$A(x, T) = \text{Splay}(x, T) + \phi(\tilde{T}) - \phi(T)$ , wobei  $\tilde{T}$  der entstehende Splay Tree ist.

**Lemma 2.2.3 ("ACCESS Lemma")**  $A(x, T) \leq 3(r(t) - r(x)) + 1$ , wobei  $t = \text{Wurzel von } T$ .

**Beweis: 2.2.3** Fallunterscheidung:

(i) es finden (bei  $\text{ACCESS}(x)$ ) keine Umbauten statt  $\Rightarrow x = t = \text{Wurzel von } T$

$$\Rightarrow A(x, T) \leq 3 \underbrace{(r(t) - r(x))}_{=0} + 1$$

$$A(x, T) = \underbrace{\text{Splay}(x, T)}_{=1, \text{ da Wurzel}} + \underbrace{\phi(\tilde{T}) - \phi(T)}_{=0, \text{ da } \tilde{T}=T}$$

(ii) Es finden Umbauten statt.

**zu zeigen:**  $\sigma \in \{\text{zig}, \text{zig-zig}, \text{zig-zag}\}$

Sei  $T$  der Baum vor der Ausführung von  $\sigma$ .

Sei  $T'$  der Baum nach der Ausführung von  $\sigma$ .

Seien  $r, r'$  die Rangfunktionen von  $T$  und  $T'$ .

Dann gilt:

$$\sigma = \text{zig} : 1 + \phi(T') - \phi(T) \leq 3(r'(x) - r(x)) + 1$$

$$\sigma \in \{\text{zig-zig}, \text{zig-zag}\} : 2 + \phi(T') - \phi(T) \leq 3(r'(x) - r(x)) + 0$$

Daraus folgt Lemma 2.2.3, denn:



- zig kommt höchstens 1x vor (bei ACCESS(X), wenn der Suchpfad ungerade Länge hat)
- Im letzten Baum  $\tilde{T}$  gilt:  $\underbrace{r'(x)}_{11} = \underbrace{r(t)}_{12}$ , denn beide Elemente x,t sind Wurzeln von Bäumen mit identischen Einträgen.

**Fall 1**  $\sigma = \text{zig}$ . (Siehe letzte Vorlesung)

**Fall 2**  $\sigma = \text{zig-zig}$ . Klar: Nur x,y,z können ihre Ränge ändern.

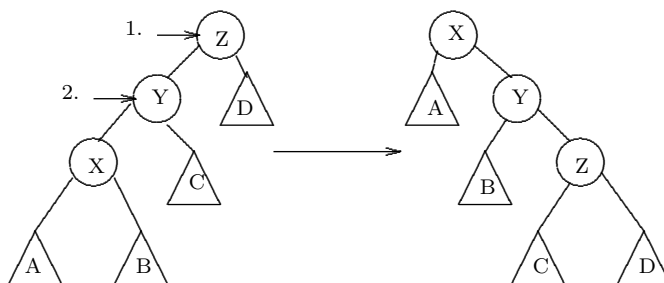


Abbildung 24: Fall zig-zig

**Es gilt:**  $2 + \phi(T') - \phi(T) = 2 + \underbrace{r'(x) - r(z)}_{=0^{13}} + \underbrace{r'(y) + r'(z) - r(x)}_{\leq r'(x)} - \underbrace{r(y)}_{\leq -r(x)}$

$\leq 2 + r'(x) + r'(z) - 2r(x) \leq 3(r'(x) - r(x))$  d.h.:

z.z.:  $r(x) + r'(z) - 2r'(x) \stackrel{!}{\leq} -2 \Rightarrow \log S(x) + \log S(z) - \log S'(x)$

$= \log \underbrace{\frac{S(x)}{S'(x)}}_{\in(0,1)} + \log \underbrace{\frac{S'(z)}{S'(x)}}_{\in(0,1)}$

Es gilt:  $S(x) < S'(x), S'(z) < S'(x)$

$S(x) + S'(z) < S'(x)$

$\frac{S(x)}{S'(x)} + \frac{S'(z)}{S'(x)} < 1$

**Zum Glück gilt:** Die Funktion  $f(v, w) = \log v + \log w$  hat für  $0 < v, w < 1, v + w < 1$  ihr Maximum -2 [an der Stelle  $(v, w) = (\frac{1}{2}, \frac{1}{2})$ ]

<sup>11</sup>Rangfunktion von  $\tilde{T}$

<sup>12</sup>Rangfunktion im Ausgangsbaum T

<sup>13</sup>Da beide den kompletten Teilbaum enthalten

**Denn:**  $\log(v) + \log(w) \leq -2 \Rightarrow \log(vw) \leq -2 \Leftrightarrow \underbrace{vw}_{14} \leq \frac{1}{4} \square$

**Fall 3**  $\sigma = \text{zig-zag}$ . Klar: Nur  $x, y, z$  können Ränge ändern.

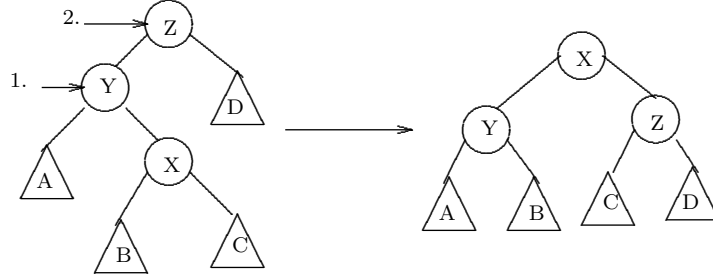


Abbildung 25: Fall zig-zag

$$\begin{aligned}
 & 2 + \phi(T') - \phi(T) \\
 &= 2 + \underbrace{r'(x) - r(z)}_{=0} + r'(y) + r'(z) - r(x) - \underbrace{r(y)}_{\leq -r(x)} \\
 &\leq 2 + r'(y) + r(z) - 2r(x) \stackrel{!}{\leq} \underbrace{2}_{15} \underbrace{(r'(x) - r(x))}_{\geq 0}
 \end{aligned}$$

$$\text{z.z.: } 2 \stackrel{!}{\leq} 2 \cdot r'(x) - r'(y) - r'(z)$$

$$\text{Nun gilt: } S'(x) \geq S'(y) + S'(z), \text{ also } \frac{S'(x)}{2} \geq \frac{S'(y)+S'(z)}{2}$$

$$\stackrel{16}{\geq} \sqrt{S'(y) \cdot S'(z)}$$

$$\Rightarrow \frac{S'(x)^2}{4} \geq S'(y) \cdot S'(z)$$

$$\Rightarrow \frac{S'(x)^2}{S'(y) \cdot S'(z)} \geq 4$$

$$\Rightarrow \underbrace{\log \frac{S'(x)}{S'(y)} + \log \frac{S'(x)}{S'(z)}}_{2r'(x) - r'(y) - r'(z)} = \log \frac{S'(x)^2}{S'(y) \cdot S'(z)} \geq \log 4 = 2 \square$$

**Theorem 2.2.4 (“Balance Theorem“)** Sei  $T$  ein Splay-Tree mit  $n$  Elementen. Dann verursacht eine Folge von  $m$  ACCESS-Operationen Kosten in  $O((m+n) \log n + m)$

<sup>14</sup>wird maximal für  $v + w = 1$

<sup>15</sup>Mehr als nötig

<sup>16</sup>arithmetisches/geometrisches Mittel:  $\sqrt{ab} \geq \frac{a+b}{2}$

**Beweis 2.2.4** Wähle alle Gewichte  $w(i) = \frac{1}{n} \Rightarrow W = \sum_{i=1}^n w(i) = 1$

amortisierte Kosten pro ACCESS Operation im aktuellen Baum T:

$$A(x, T) \leq 3 \left( \underbrace{r(t)}_{\log(W)=0} - \underbrace{r(x)}_{\geq \log(w(x))} \right)$$

$$\underbrace{\hspace{10em}}_{=\frac{1}{n}}$$

$$\leq 3 \cdot \log n + 1$$

$$\text{Echte Gesamtkosten} = \underbrace{\sum_x A(x, T)}_{\leq 3m \log n + m} + \underbrace{\phi(T) - \phi(T')}_W \quad \square$$

$$\leq \sum_{i=1}^n \log \frac{W}{w(i)} = n \log n$$

$$\underbrace{\hspace{10em}}_{=n}$$

Was besagt Theorem 2.2.4? Für lange Zugriffsfolgen, d.h. große  $m$  sind Splay-Trees so gut wie balancierte Bäume ( $O(m \log n)$ ). Was soll's?

**Theorem 2.2.5 (Statisches Optimalitätsproblem)** In einer Folge von  $m$  Zugriffen auf Elemente der Menge  $\{1, 2, \dots, n\}$  sei  $q(i) \stackrel{?}{\geq} 1$  die Anzahl der Zugriffe auf das Element  $i$ . Dann sind die Gesamtkosten aller Zugriffe in  $O\left(m + \sum_{i=1}^n \left(q(i) \cdot \log\left(\frac{m}{q(i)}\right)\right)\right)$

**Beweis 2.2.5** Diesmal setzen wir  $w(i) = \frac{q(i)}{m} \Rightarrow W = \sum_{i=1}^n w(i) = 1$ .

Amortisierte Kosten pro Zugriff auf Element  $i$ :

$$\leq 3 \left( \underbrace{r(t)}_{=0} - \underbrace{r(x_i)}_{\geq \log\left(\frac{q(i)}{m}\right)} \right) + 1 \leq 3 \log\left(\frac{m}{q(i)}\right) + 1$$

$\Rightarrow$  echte Gesamtkosten

$$\leq \sum_{i=1}^n \left[ q(i) \left( 3 \log\left(\frac{m}{q(i)}\right) + 1 \right) \right] + \underbrace{\phi(T) - \phi(T')}_W$$

$$\leq \sum_{i=1}^n \log \frac{W}{w(i)} = n \cdot \log \frac{m}{q(i)}$$

$$\underbrace{\hspace{10em}}_{=\frac{m}{q(i)}}$$

$$\leq c \cdot \sum_{i=1}^n q(i) \log \frac{m}{q(i)} + \underbrace{\sum_{i=1}^n q(i)}_{=m} \quad \square$$

19.05.03

**Rekapitulation:** Statisches Optimalitätstheorem:



- falls x vorhanden: OK, Kosten = 0
- falls x nicht vorhanden (Seitenfehler)
  - hole x aus Externspeicher; Kosten = 1
  - bringe x in Cache;
  - falls Cache vorher voll: Verdränge eine der vorhandenen Seiten  
 aus dem Cache um für x Platz zu schaffen. welche?

Verschiedene Strategien möglich: Wenn nötig, verdränge aus dem Cache diejenige Seite:

- Deren letzte Benutzung am längsten zurückliegt. (Least Recently Used, LRU)
- Die sich schon am längsten im Cache befindet. (First In First Out, FIFO)
- Die als letzte in den Cache gebracht wurde. (Last In First Out, LIFO)
- Die am seltensten benutzt wurde.
- Clock<sup>17</sup> beim Einladen } Zugriffsbit=1  
 nach Zugriff }

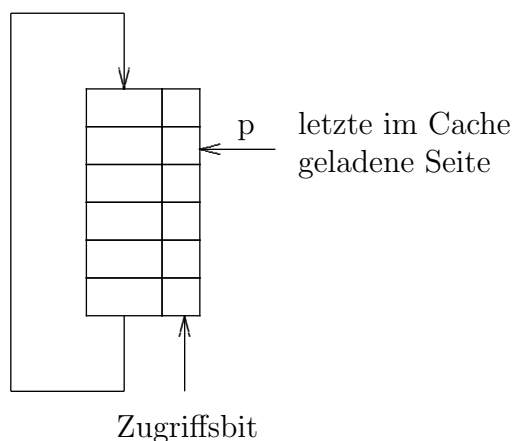


Abbildung 27: Algorithmus Clock

Bei Seitenfehler: p rückt vor bis zur ersten Seite deren Bit 0 ist und

<sup>17</sup>real, gute Approximation an LRU, weniger Overhead als LRU

entfernt sie. Dabei wird für jede angetroffene Seite mit Bit=1 deren Bit auf 0 gesetzt.

- Flush when full: Bei Seitenfehler: Entleere den gesamten Cache

**Frage:** Was wäre optimale Auslagerungsstrategie, wenn man alle zukünftigen Seitenanfragen kennen würde?

**Ideal:** Verdränge eine Seite, die nie wieder benötigt wird. Existenz?

**realistisch:** Verdränge die Seite, die erst am spätesten in der Zukunft benutzt wird. Longest Forward Distance (LFD).

**Folklore Resultat:** LFD ist optimal.

**Theorem 3.1.1** *LFD ist optimaler Offline-Algorithmus.*

**Beweis 3.1.1:** Lebt vom Lemma 3.1.2

**Lemma 3.1.2** *Sei ALG irgendein Offline-Paging Algorithmus. Sei  $\sigma = \sigma_1\sigma_2 \dots \sigma_n$  eine Anforderungsfolge. Dann gibt es für jedes  $i \leq n$  einen Algorithmus  $ALG_i$  mit folgenden Eigenschaften:*

- (1)  $ALG_i[\sigma_1 \dots \sigma_{i-1}]^{18} = ALG[\sigma_1 \dots \sigma_{i-1}]$
- (2) Falls  $\sigma_i$  bei ALG und  $ALG_i$  (gleicher Cache) Seitenfehler verursacht:  $ALG_i$  verdrängt die Seite, die in  $\sigma_{i+1} \dots \sigma_m$  am spätesten wieder an die Reihe kommt. (wie LFD)
- (3)  $ALG_i(\sigma)^{19} \leq ALG(\sigma)$

**Beweis 3.1.2:** Müssen  $ALG_i$  definieren. Die ersten  $i - 1$  bearbeitet  $ALG_i$  wie ALG  $\Leftrightarrow$  (1)

Falls bei  $\sigma_i$  kein Seitenfehler auftritt:  $ALG_i = ALG \checkmark$

Falls bei  $\sigma_i$  ein Seitenfehler auftritt:  $ALG_i[\sigma_i] =$  die Seite  $v$ , die am spätesten in  $\sigma_{i+1}, \dots, \sigma_n$  vorkommt.

$ALG[\sigma_i] =$  eine Seite  $u$ .

Falls  $u = v$   $ALG_i = ALG$ , fertig.

Falls  $u \neq v$ : Jetzt folgende Cacheinhalte:

<sup>18</sup>Notation:  $ALG[\sigma]$ : Handlungsweise von ALG

<sup>19</sup>Notation:  $ALG(\sigma)$ : Kosten von ALG

ALG :  $X + v$   
 ALG<sub>i</sub> :  $X + u$  (denn vor  $\sigma_i$  waren beide Caches identisch. ALG hat noch  $v$ , ALG<sub>i</sub> hat noch  $u$ )

definiere ALG<sub>i</sub>[ $\sigma_{i+1}$ ], ..., ALG<sub>i</sub>[ $\sigma_n$ ] wie folgt: Sei  $i + 1 \leq j \leq n$

- falls  $\sigma_j \notin \{u, v\}$  und ALG [ $\sigma_j$ ]  $\neq v$  (\* Entweder machen beide oder keiner einen Seitenfehler \*)

$$\text{ALG}_i[\sigma_j] = \text{ALG}[\sigma_j] \quad (* \text{ hinterher Caches: } \begin{array}{l} \text{ALG} : X' + v \\ \text{ALG}_i : X' + u \end{array} *)$$

- falls  $\sigma_j \notin \{u, v\}$  und ALG [ $\sigma_j$ ] =  $v$  (\* Beide machen Seitenfehler \*)

$$\text{ALG}_i[\sigma_j] = u \quad (* \text{ Danach beide Caches gleich } *)$$

$$\forall k > j : \text{ALG}_i[\sigma_k] = \text{ALG}[\sigma_k]$$

- falls  $\sigma_j = u$  und ALG [ $\sigma_j$ ] =  $v$  (\* ALG hat Seitenfehler, ALG<sub>i</sub> nicht \*)

$$\text{ALG}_i[\sigma_j] = \text{NOP}^{20} \quad (* \text{ Caches jetzt identisch } *)$$

ab jetzt ALG<sub>i</sub> = ALG

- falls  $\sigma_j = u$  und ALG [ $\sigma_j$ ] =  $u' \neq u, v$  (\* ALG hat Seitenfehler, ALG<sub>i</sub> nicht \*)

$$\text{ALG}_i[\sigma_j] = \text{NOP}. \quad (* \text{ Caches jetzt: } \begin{array}{l} \text{ALG} : X' - u' + u + v = X'' + v \\ \text{ALG}_i : \underbrace{X''}_{21} + u' \end{array} *)$$

\*)

- falls  $\sigma_j = v$  (\* Dann muss vorher  $u$  bzw  $u'$  verlangt worden sein! \*)  
 (\* ALG<sub>i</sub> macht Seitenfehler, ALG nicht \*)

$$\text{ALG}_i[\sigma_j] = u'$$

ab jetzt: ALG<sub>i</sub> = ALG .

einzigster Fall, wo ALG<sub>i</sub> Seitenfehler macht, ALG aber nicht.

*Aber:* Def von  $v \Rightarrow$  vorher war anderer Fall ( $\sigma_j = u$ ) wo ALG Fehler macht, ALG<sub>i</sub> nicht.

□

**Damit Beweis von Theorem 3.1.1:** Sei OPT ein optimaler Offline-Algorithmus für  $\sigma$ .

Wende  $n$ -mal das Lemma 3.1.2 an,  $i = 1, \dots, n$ .

OPT<sub>1</sub> verhält sich bei  $\sigma_1$  wie LFD, OPT<sub>1</sub>( $\sigma$ )  $\leq$  OPT( $\sigma$ ).

Wende Lemma 3.1.2 auf OPT<sub>1</sub> an:

<sup>20</sup>Notation: Kein Seitenfehler  $\Rightarrow$  ALG [ $\sigma_j$ ] = NOP

<sup>21</sup> $X'' = X' - u' + u$

$\text{OPT}_2$  verhält sich bei  $\sigma_1$  und  $\sigma_2$  wie LFD,  $\text{OPT}_2(\sigma) \leq \text{OPT}_1(\sigma)$ .

$\vdots$

$\text{OPT}_n$  verhält sich  $\left. \begin{array}{l} \text{bei } \sigma_1 \dots \sigma_{n-1} \text{ wie } \text{OPT}_{n-1} \\ \text{bei } \sigma_n \text{ wie LFD} \end{array} \right\}$

$\stackrel{\text{i.V.}^{22}}{\Rightarrow}$  verhält sich bei  $\sigma_1 \dots \sigma_n$  wie LFD mit  $\text{OPT}_n(\sigma) \leq \text{OPT}_{n-1}(\sigma) \leq \dots \leq \text{OPT}(\sigma)$ .  $\square$

**Bemerkung:** Man kann Modell verfeinern:  $(h, k)$ -Paging  
 Online-Algorithmus hat Cache der Größe  $k$   
 Offline-Algorithmus hat Cache der Größe  $h \leq k$

## 3.2 Markierungsalgorithmen

Sei  $\sigma = \sigma_1 \sigma_2 \dots \sigma_n$  eine Anforderungsfolge.

Zerlege  $\sigma$  in Phasen bezüglich  $k$ :

**Phase:** Maximaler Abschnitt von  $\sigma$ , in dem  $k$  verschiedene Seiten angefordert werden<sup>23</sup>.

**Beispiel:**  $k = 4$

a b b c a b c d a b|e a b c|d e a c a d e|b c a d c b|f e g h

**Definition:** Ein Paging-Algorithmus heißt Markierungsalgorithmus, falls gilt:

- (i) Zu Beginn einer Phase sind alle Seiten unmarkiert.
- (ii) Während einer Phase wird jede angeforderte (auch eingeladene) Seite markiert.
- (iii) Bei Seitenfehler wird eine unmarkierte Seite verdrängt.

**Klar:** Flush When Full ist ein Markierungsalgorithmus.

### 21.05.03

**Theorem 3.2.1** Sei ALG ein Markierungsalgorithmus, dann ist ALG  $\frac{k}{k-h+1}$ -kompetitiv. (dabei  $k =$  Cache-Größe von ALG,  $k \leq h$  Cache-Größe von OPT. Spezialfall  $h = k$ : ALG ist  $k$ -kompetitiv.)

<sup>22</sup>Induktionsvoraussetzung

<sup>23</sup>eventuell mehrmals



**Beweis 3.2.1:** Sei ALG ein Markierungsalgorithmus. Pro Phase werden genau  $k$  verschiedene Seiten angefordert, angeforderte Seiten bleiben im Cache von ALG für den Rest der Phase.

$\Rightarrow$  pro Phase macht ALG höchstens  $k$  Fehler.

Jetzt untere Schranke für die Fehler von OPT : Am Anfang der verschobenen

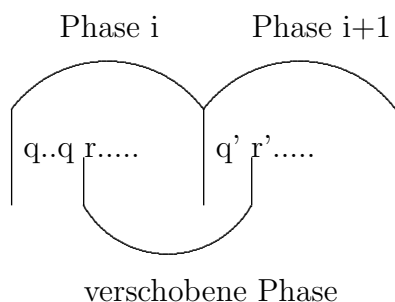


Abbildung 28: Phasenverschiebung bei OPT

Phase hat OPT die Seite  $q$  im Cache. Im Laufe der verschobenen Phase werden mindestens  $k$ -verschiedene Seiten angefordert.

$\Rightarrow$  OPT macht in dem Intervall  $k - (h - 1) = k - h + 1$  Fehler

Aufaddiert über die Phasen  $\Rightarrow \text{ALG}(\sigma) \leq \frac{k}{k-h+1} \cdot \text{OPT}(\sigma) + \underbrace{k}_{24} \square$

Schon gesehen: Flush when Full ist Markierungsalgorithmus.

Clock ist *kein* Markierungsalgorithmus. (Übungsaufgabe)

**Lemma 3.2.2** *Last recently used (LRU) ist Markierungsalgorithmus.*

**Beweis 3.2.2:** Sei  $\sigma$  eine Anforderungsfolge. Zerlege  $\sigma$  in Phasen. Wäre LRU kein Markierungsalgorithmus, so würde in einer Phase  $p$  eine markierte Seite  $x$  verdrängt. Sei  $x$  die erste Seite mit diesem Schicksal. Betrachte 1. Anforderung von  $x$  in Phase  $p$ . (Muss es geben, sonst wäre  $x$  nicht markiert) Nach dieser Anforderung ist  $x$  die am spätestens gebrauchte Seite im Cache. Bevor  $x$  von LRU verdrängt wird, müssen alle  $k - 1$  anderen Seiten im Cache mindestens einmal angefordert worden sein.

$k - 1$  verschiedene Seiten

1 Anforderung von  $x$  (die erste)

1 Anforderung die  $x$  verdrängt

---

$k + 1$  Zugriffe auf verschiedene Seiten in Phase  $p$  *Widerspruch*

<sup>24</sup>Kosten von ALG in letzter Phase

**Frage:** Gibt es auch Algorithmen, die keine Markierungsalgorithmen sind? Ja, z.B. FIFO.

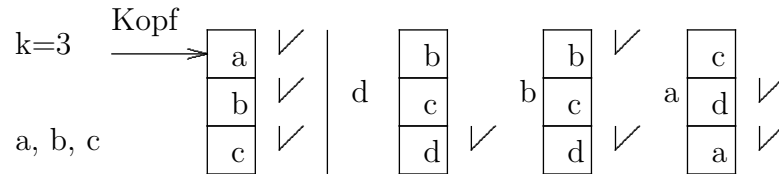


Abbildung 29: FIFO ist kein Markierungsalgorithmus

**Beispiel:** Die markierte Seite  $b$  wird verdrängt.

Aber: FIFO ist auch  $\frac{k}{k-h+1}$ -kompetitiv wegen folgender Variante der Markierungsalgorithmen:

**Definition:** Ein Paging-Algorithmus heißt konservativ, falls gilt: In jeder Folge, in der höchstens  $k$  verschiedene Seiten angefordert werden, entstehen höchstens  $k$  Fehler. Damit:

**Theorem 3.2.2** Jeder konservative Paging-Algorithmus ist  $\frac{k}{k-h+1}$ -kompetitiv.

Beweis wie bei Theorem 3.2.1

**Lemma 3.2.3** Konservativ und Markierungsalgorithmen verhalten sich wie in Abbildung 30.

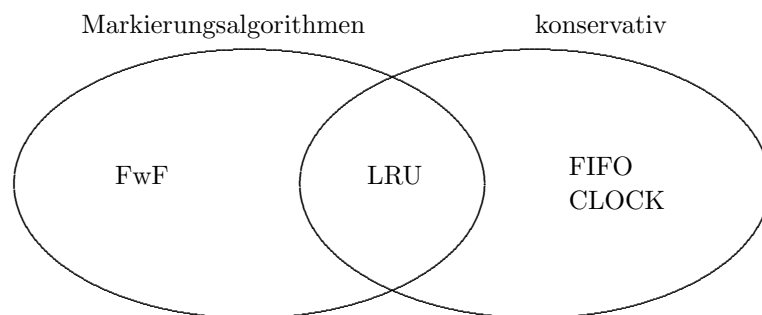


Abbildung 30: Mengen Diagramm zu Paging Algorithmen

**Beweis 23:**

- (i) FIFO ist konservativ. Sei  $\sigma$  Anforderungsfolge mit  $\leq k$  verschiedenen Seiten.

zu zeigen:  $FIFO(\sigma) \leq k$

Folge  $\tau$  entsteht durch Streichung aller Anforderungen, die keinen Seitenfehler verursachen. (Hat keinen Einfluss auf den FIFO-Cache)

$$\sigma = \sigma_1 \dots \sigma_{i-1} \quad \sigma_i \quad \dots \quad \sigma_j \quad \dots \quad \sigma_k \quad \dots \quad \sigma_n$$

$$\tau_1 \qquad \qquad \tau_2 \qquad \qquad \tau_r$$

– jedes  $\tau_i$  macht einen Seitenfehler.

–  $FIFO(\sigma) = FIFO(\tau) = r$ .

Aus Abbildung 31  $\Rightarrow$  alle  $\tau_i$  sind voneinander verschieden  $\Rightarrow r \leq k$  <sup>25</sup>

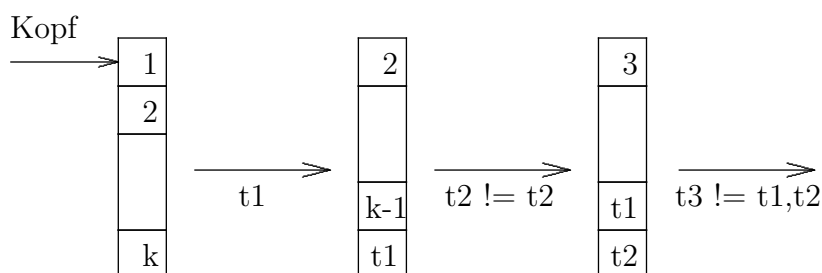


Abbildung 31: Verlauf von  $FIFO(\tau)$

- (ii) Flush when Full (FwF) ist nicht konservativ.

Beispiel:  $k = 4$  (Siehe Abbildung 32) 3 verschiedene Seiten, 5 Fehler.

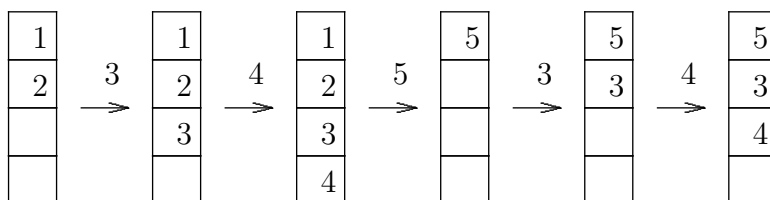


Abbildung 32: Flush when Full ist nicht konservativ

---

<sup>25</sup>Voraussetzung über  $\sigma$

(iii) LRU ist konservativ.

Angenommen, die Folge  $\sigma$  fordert  $\leq k$  verschiedene Seiten an und LRU macht dabei  $\geq k + 1$  Fehler.

$\Rightarrow$  Es gibt ein  $x$ , das in  $\sigma$  zweimal vorkommt und beide Male Seitenfehler ergibt. Nach dem ersten Zugriff auf  $x$  ist  $x$  die "frischeste" Seite im Cache. Vor dem zweiten (Seitenfehler-) Zugriff ist  $x$  die älteste Seite.

$\Rightarrow$  es hat zwischendurch Zugriffe auf  $k - 1$  andere Seiten gegeben

$$\begin{array}{r} k - 1 \text{ verschiedene Zugriffe} \\ \Rightarrow \quad 1 \text{ erster Zugriff auf } x \\ \quad \quad 1 \text{ Zugriff, der } x \text{ verdrängt} \\ \hline k + 1 \text{ Widerspruch!} \end{array}$$

**Theorem 3.2.4** Sei  $ALG$  ein  $(k, k)$ -Paging-Algorithmus mit kompetitiven Faktor  $c$ . Dann ist  $c \geq k$

**Beweis 3.2.4:** Betrachte eine Situation, in der es genau  $k + 1$  Datenseiten gibt. (d.h. alle bis auf eine Seite sind im Cache) Sei  $ALG$  ein Paging-Algorithmus. Konstruiere eine böse Folge  $\sigma$  für  $ALG$ , die immer diejenige Seite anfordert, die gerade nicht im Cache ist  $\Rightarrow \sigma$  Länge  $n : ALG(\sigma) = n$ .

Wieviele Fehler macht LFD, der optimale Offline-Algorithmus?

Angenommen,  $LFD[i]$  gibt Fehler (Siehe Abbildung 33):  $j$  wird von LFD so

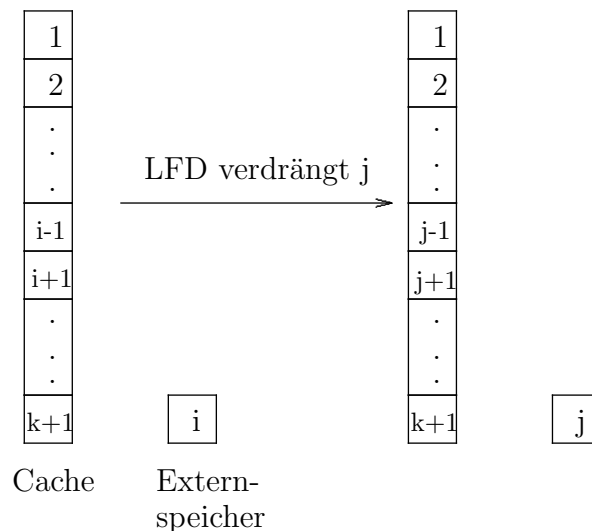


Abbildung 33: Cache Situation von LFD

gewählt, das alle übrigen  $k - 1$  Seiten im Cache vorher angefordert werden.

(jede mindestens 1x)  $\Rightarrow$  LFD macht bei den nächsten  $k - 1$  Anforderungen in  $\sigma$  keinen Fehler.  $\square$

## 2 Fragen:

1. Werden die Algorithmen mit steigender Cache-Größe schlechter?
2. Sind alle Algorithmen gleich gut (bzw schlecht)?

### Zu 1:

**Lemma 3.2.6 (Belady's Anomalie)** *Es gibt Anforderungen, für die FIFO mit kleinerem Cache weniger Fehler macht.*

**Beweis 3.2.6:**  $\sigma = 0, 1, 2, 3, 0, 1, 4, 0, 1, 2, 3, 4$  auf leerem Cache. Siehe Abbildung 34 und 35 auf der nächsten Seite.

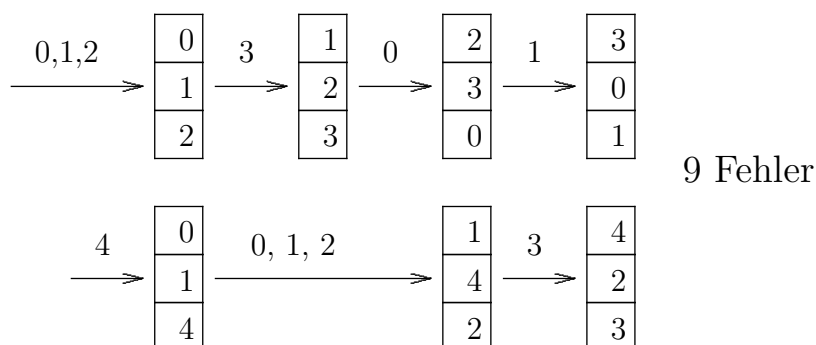
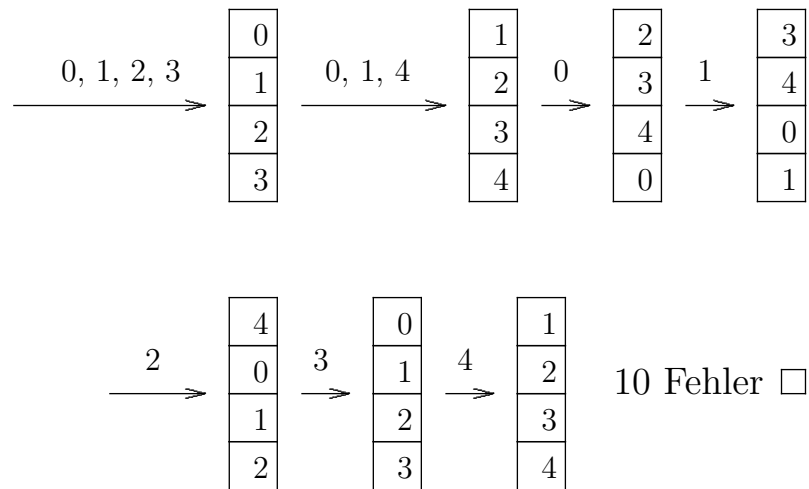


Abbildung 34: FIFO mit  $k = 3$

- Dies ist ein Einzelfall.
- Kann z.b. bei LRU nicht vorkommen!
- zu 1: Theorem 3.2.4 und Theorem 3.2.1 implizieren nur, dass es für wachsende Cache-Größe  $k$  für den Online Algorithmus schwieriger wird, mit OPT mitzuhalten.

Least Frequently used (LFU) ist nicht kompetitiv. (verdrängt stets die Seite aus dem Cache, auf die seit Systemstart insgesamt am seltensten zugegriffen wurde)

Es gebe  $k + 1$  Datenseiten. Betrachte für eine Variable  $l$  die Folge:  $\sigma = 1^l 2^l \dots (k - 1)^l (k \ k + 1)^{l-1}$  (Siehe Abbildung 36 auf Seite 39)

Abbildung 35: FIFO mit  $k = 4$ 

LFU macht  $k - 1 + 2(l - 1) = k + 2l - 3$  Fehler  
 OPT macht  $k - 1 + 2 = k + 1$  Fehler  
 $\Rightarrow$  Behauptung, denn  $l$  ist beliebig groß.

### 26.05.03

**Frage:** Sind z.B. LRU und FIFO gleich gut? In der Praxis: LRU besser als FIFO. Problem der Online Analyse: Beweise, dass LRU besser ist als FIFO  $\rightarrow$  feineres Modell?

**Ansatz:** (ACCESS Graphs) Modelliere Lokalität der Seitenanforderungen: Definiere Zugriffsgraph  $G = (V, E)$  mit  $V = \{\text{Alle Seiten im Externspeicher}\}$ . Erlaubte Zugriffsfolgen = Pfade in  $G$ . (falls  $G =$  vollständiger Graph: Altes Modell) Beispiel siehe Abbildung 37 auf Seite 40. Graph  $G \rightarrow$  kompetitiver Faktor  $C_g$  für Algorithmus ALG .

**Man kann zeigen:**

1. Auf jedem Graphen ist FIFO höchstens  $\frac{k+1}{2}$  kompetitiv.
2. LRU ist auf keinem Graphen schlechter als FIFO.
3. Für manche Graphklassen (z.B. Bäume) ist LRU echt besser als FIFO.

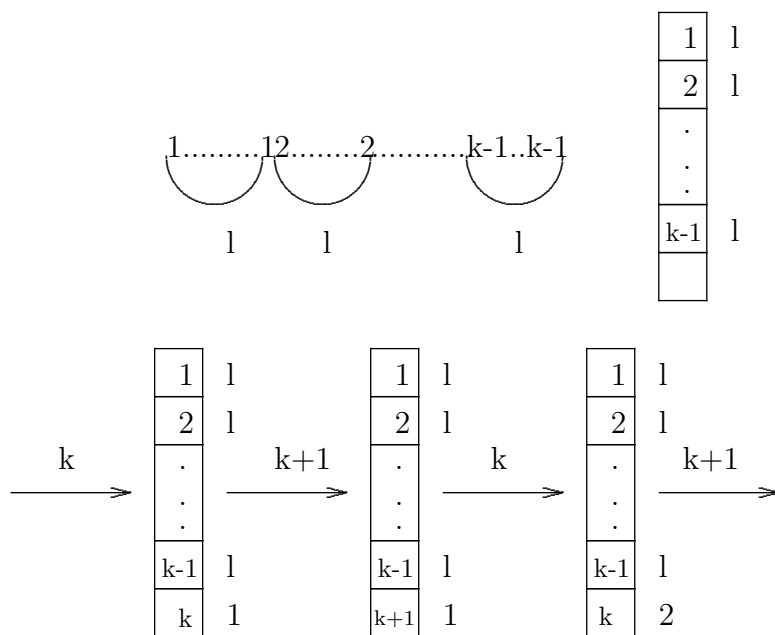


Abbildung 36: Verhalten von LFU

G Baum  $\Rightarrow C_G^{\text{LRU}} = \max_{T^{(k+1)}} (\# \text{Blätter von } T - 1) < \frac{k+1}{2}$  für Bäume mit hohem Verzweigungsgrad.

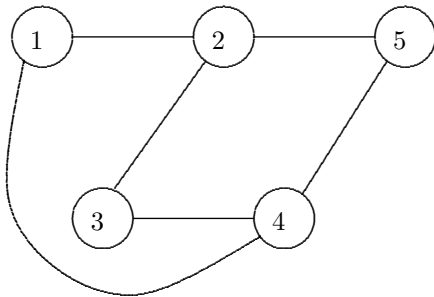
### 3.3 Randomisierte Paging Algorithmen

**Frage:** Hilft Randomisierung? (Erinnerung: Listen  $2 \searrow \frac{7}{4}$ ) Sinnvoller randomisierter Paging-Algorithmus:

**Definition:** MARK ist randomisierter Markierungsalgorithmus: Teilt Anforderung in Phasen auf = Anforderung von  $k$  verschiedenen Seiten.

- Zu Beginn einer neuer Phase: alle Seiten im Cache unmarkiert.
- Während der Phase: Jede angeforderte (auch frisch eingeladene) Seite wird markiert.
- Bei einem Seitenfehler wird eine der nicht markierten Seiten zufällig ausgewählt und verdrängt.

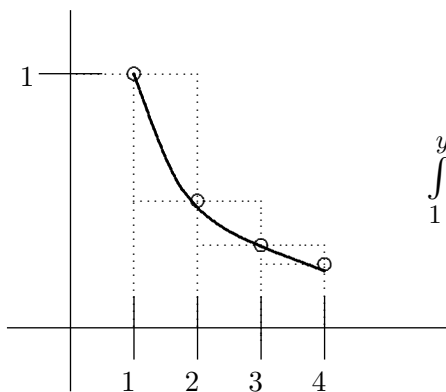
<sup>26</sup>Teilbaum  $T$  mit  $k + 1$  Knoten



Nach Zugriff auf Seite 5 dürfen nur Seite 2 oder 4 (oder 5), nicht aber 1 oder 3 verlangt werden.

Abbildung 37: ACCESS Graph Beispiel

**Theorem 3.3.1** (Fiet et al. '88) *MARK ist  $2H_k$ -kompetitiv. (gegen vergebliche Gegenspieler) Dabei:  $H_k = \sum_{i=1}^k \frac{1}{i} = k$ -te harmonische Zahl. Es gilt  $\ln k \leq H_k \leq 1 + \ln k$ . (Siehe Abbildung 38)*



$$\int_1^y \frac{1}{x} dx = \ln y$$

Abbildung 38: Graph von  $\frac{1}{x}$

**Beweis 3.3.1:** Sei  $\sigma$  eine Anforderungsfolge. Betrachte die  $i$ -te Phase.

**Redeweise:** Zu Beginn von Phase  $i$ :  $k$  alte Seiten im Cache. Davon verschieden, während Phase  $i$  angeforderte *neue* Seiten:  $m_i$  Stück.

in Phase  $i-1$  und  $i$  werden  $k+m_i$  Seiten angefordert  $\Rightarrow$  OPT macht in Phase  $i$  und  $i-1$  insgesamt  $m_i$  Seitenfehler. (OPT hat Cache Größe  $k$ ) Klar: OPT macht in Phase 1 mindestens  $m_1$  Fehler.

$\Rightarrow \text{OPT}(\sigma) \geq \frac{1}{2} \sum_{i=1}^t m_i$  wobei  $t = \text{Anzahl der Phasen von } \sigma$ . (\*)

Betrachte jetzt MARK. *Beachte:* Auch Anforderung einer alten Seite in Phase  $i$  kann Seitenfehler verursachen. (Wenn nämlich diese Seite in Phase  $i$  bereits



verdrängt wurde)  $\Rightarrow$  Seitenfehler von MARK. In Phase  $i$   $m_i$  neue Seiten. Annahme: in Phase  $i$  erst alle  $m_i$  Neuanforderungen, dann  $k - m_i$  Zugriffe auf die alten Seiten. (Worst Case) Betrachte jetzt den ersten Zugriff<sup>27</sup> auf die  $j$ -te Seite  $p_j$  in Phase  $i$ :  $1 \leq j \leq k - m_i$

$$\begin{aligned} \text{W'keit}(p_j \text{ beim ersten Zugriff noch im Cache}) &= \frac{\text{Anzahl der günstigen Fälle}}{\text{Anzahl der möglichen}} \\ &= \frac{\text{Anzahl der unmarkierten alten Seiten im Cache}}{\text{Anzahl aller (auch der verdrängten) unmarkierten alten Seiten}} \\ &= \frac{k - (j-1) - m_i}{k - (j-1)} \end{aligned}$$

W'keit(Seitenfehler beim ersten Zugriff auf  $j$ -te alte Seite)

$$= 1 - \frac{k - (j-1) - m_i}{k - (j-1)} = \frac{m_i}{k - (j-1)}$$

$\Rightarrow$  zu erwartende Anzahl von Seitenfehler bei Zugriff auf die 1 bis  $k - m_i$ -te alte Seite:

$$\leq \sum_{j=1}^{k-m_i} \frac{m_i}{k - (j-1)} = m_i (H_k - H_{m_i})$$

$\Rightarrow$  zu erwartende Kosten von MARK in Phase  $i \leq \underbrace{m_i}_{28} + m_i (H_k - H_{m_i}) =$

$$m_i (H_k + 1 - H_{m_i}) \leq \underbrace{m_i}_{29} H_k \quad \square$$

**Frage:** Geht es noch besser? Man kann statt  $2H_k$  sogar  $H_k$  erreichen (Algorithmus PARTITION). Aber nicht mehr.

**Theorem 3.3.2** (Fiat et al) *Kein randomisierter Algorithmus kann im  $(k, k)$  Modell einen kompetitiven Faktor  $< H_k$  haben.*

**Beweis 3.3.2:** Sei ALG irgendein randomisierter Paging-Algorithmus. Der vergeßliche Gegner:

- Benutzt  $k + 1$  Seiten.
- Kennt ALG und die Wahrscheinlichkeitsverteilung, die ALG für seine Entscheidungen benutzt, aber nicht die zur Laufzeit getroffenen konkreten Entscheidungen von ALG .

$\Rightarrow$  Gegner kann nicht wissen, welche Seite gerade nicht im Cache von ALG ist. (Und ihn damit ärgern, dass er diese anfordert) Aber er kann im voraus für jede Seite  $i$  und jeden Zeitpunkt in der Anforderungsfolge ausrechnen:

$p(i) = \text{W'keit}(\text{Seite } i \text{ nicht im Cache von ALG})$

Gegner erzeugt beliebig lange Folgen von Phasen, kann selbst jede Phase mit

<sup>27</sup>Nur dies kann Seitenfehler verursachen, da MARK Markierungsalgorithmus

<sup>28</sup> $m_i$  neue Seiten, machen auf jeden Fall Seitenfehler

<sup>29</sup>2. Mindestkosten von OPT (\*)

$\leq 1$  Fehler bedienen. Möchte ALG zu erwartenden Kosten  $H_k$  zwingen. Dazu teilt Gegner jede Phase in  $k$  Teilphasen auf. Pro Teilphase  $j$ :

- Anforderung einer Folge von bereits markierten Seiten.
- Anforderung und Markierung *einer* unmarkierten Seite.

$\Rightarrow$  zu erwartende Kosten für ALG  $\stackrel{!}{\geq} \frac{1}{k+1-j}$  (Wenn das geht, folgt Behauptung

wegen:  $\sum_{j=1}^k \frac{1}{k+1-j} = H_k$ )

**Teilphase  $j$ :**  $k+1-j$  Seiten unmarkiert,  $j-1$  Seiten markiert (Zu Beginn der  $j$ -ten Teilphase).

Sei  $\gamma = \sum_{a \text{ markiert}} p(a)$

**1. Fall:**  $\gamma = 0 \Rightarrow 1 = \sum_{a \text{ unmarkiert}} p(a)$

( $k+1-j$  unmarkiert)  $\Rightarrow$  es existiert  $u$  unmarkiert in Teilphase  $j$  mit  $p(u) \geq \frac{1}{k+1-j}$ . Fordere  $u$  an.

**2. Fall:**  $\gamma > 0$  Sei  $m$  eine markierte Seite mit  $p(m) > 0$  fest gewählt für Teilphase  $j$ . Fordere  $m$  an.

Solange erwartete Kosten von ALG in dieser Teilphase  $< \frac{1}{k+1-j}$  und  $\gamma > p(m)$  fordere nochmals Seite  $m'$  an mit maximalen  $p(m')$ .

Bricht ab, weil pro Durchlauf Kosten von:

$$\underbrace{\frac{\overbrace{\gamma}^{\text{variabel}}}{\# \text{ markierte Seiten}}}_{\text{fest}} \geq \frac{\overbrace{p(m)}^{\text{fest}}}{\# \text{ markierter Seiten}}$$

Falls jetzt erwartete Kosten  $\geq \frac{1}{k+1-j}$ : fordere irgendeine unmarkierte Seite an, fertig!

Sonst ( $\gamma \leq p(m)$ ): Fordere unmarkierte Seite  $u$  mit maximalen  $p(u)$  an, markiere sie.

Im letzten Fall: erwartete Kosten von Teilphase  $j$ :

$$\geq p(m) + p(u) \geq p(m) + \underbrace{\frac{1-\gamma}{k+1-j}}_{31} \geq p(m) + \frac{1-p(m)}{k+1-j} \geq \frac{1}{k+1-j} \quad \square$$

<sup>30</sup>Gesamtgewicht der unmarkierten Seiten

<sup>31</sup>Anzahl der unmarkierten Seiten

28.05.03

## 4 Online-Algorithmen und Spieltheorie

Warum? Bei der Analyse von Online Algorithmen:

ALG	$\Leftrightarrow$	OPT
Spieler		Gegenspieler

### 4.0 Elementares zu endlichen Zwei Personen Nullsummenspielen

**Historisch:** v. Neumann, O. Morgenstern, 1943: Game Theory and Economic Behavior.

**Anschaulich:**

**Spiel:** Menge von Regeln, die eindeutig festlegen, welche Züge jeder Spieler in jeder Situation machen darf.

**Partie:** Instanz eines Spiels  $\Leftrightarrow$  zulässige Folge von Zügen, von Anfang bis Ende.

**endliches Spiel:**

- In jeder Situation nur endlich viele Züge möglich.
- Es gibt eine Schranke für die Maximallänge einer Partie.

**Zwei Personen-Spiel:** Es nehmen nur 2 Spieler teil: Weiß (1.Zug) und Schwarz.

**Nullsummenspiel:** Für jeden Endzustand ist festgelegt, welche Auszahlung Weiß erhält (kann auch negativ sein), diese ist von Schwarz zu leisten.

**Beispiele:** Nimm, Schach, Poker, Mühle<sup>32</sup>, Monopoly<sup>32</sup>, Mensch-Ärger-Dich-Nicht<sup>32</sup>, Mau-Mau<sup>32</sup>.

Zwei Unterschiede zwischen diesen Spielen:

1. Bei Monopoly, Mensch-Ärger-Dich-Nicht, Poker, Mau-Mau “wird gewürfelt“. (Es finden Zufallszüge statt)

---

<sup>32</sup>Mit entsprechenden Abbruchbedingungen endlich

2. Bei Nimm, Mühle, Mensch-Ärger-Dich-Nicht, Schach: Spieler wissen über vorausgegangene Züge Bescheid und kennen die Situation. Aber bei Poker, Mau-Mau kennt man die Situation/Züge des Gegners nicht vollständig.

**Beispiel 4.0.1 (Hölzchen (Variante von Nimm))** *Es gibt 4 Hölzchen, die Spieler nehmen abwechselnd 1 oder 2 Hölzchen fort. Wer das letzte Hölzchen nimmt, hat verloren.*

**Darstellung eines Spiels:** (1) Extensive Form mittels Spielbaum. (Siehe Abbildung 39) Beschrifte die Knoten von:

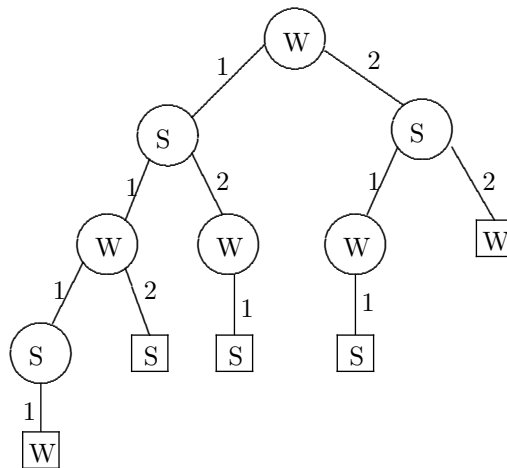


Abbildung 39: Spielbaum von Hölzchen

- Weiß mit der Maximalauszahlung, die Weiß in dieser Situation für sich erzwingen kann.
- Schwarz mit der Minimalauszahlung an Weiß, die Schwarz in dieser Situation erzwingen kann.

Beschriftung bottom-up: Beschriftung der Blätter durch Spielregeln festgelegt. Beschriftung der inneren Knoten:

**2 Fälle:** (Siehe Abbildung 40 auf der nächsten Seite)

**Im Beispiel:** Weiß gewinnt = +1, Weiß verliert = -1. Damit ergibt sich der Baum aus Abbildung 41 auf der nächsten Seite.



Strategien von Schwarz:

$$\begin{array}{cccc}
 f_1 & \left\{ \begin{array}{l} (1) \rightarrow 1 \\ (2) \rightarrow 1 \end{array} \right. & f_1 & \left\{ \begin{array}{l} (1) \rightarrow 1 \\ (2) \rightarrow 2 \end{array} \right. & f_1 & \left\{ \begin{array}{l} (1) \rightarrow 2 \\ (2) \rightarrow 1 \end{array} \right. & f_1 & \left\{ \begin{array}{l} (1) \rightarrow 2 \\ (2) \rightarrow 2 \end{array} \right. \\
 f_2 & \{(1, 1, 1) \rightarrow 1\} & f_2 & \{(1, 1, 1) \rightarrow 1\} & - & - & - & - \\
 & \underbrace{\hspace{10em}}_{\text{schwarz}_1} & \underbrace{\hspace{10em}}_{\text{schwarz}_2} & \underbrace{\hspace{10em}}_{\text{schwarz}_3} & \underbrace{\hspace{10em}}_{\text{schwarz}_4} & & & 
 \end{array}$$

Nach Auswahl der Strategien stehen Partie und Auszahlung fest.

→ 2. Darstellung für Spiele: Auszahlungsmatrix.

$A = (a_{ij})$  mit  $a_{ij}$  = Auszahlung an Weiß, die von Schwarz zu leisten ist, falls Weiß Strategie  $i$  und Schwarz  $j$  spielt.

Im Beispiel Hölzchen:  $A = \begin{pmatrix} 1 & 1 & -1 & -1 \\ -1 & -1 & -1 & -1 \\ -1 & 1 & -1 & 1 \end{pmatrix}$

**Allgemein:** Gegeben Auszahlungsmatrix  $A$  des Spiels: Wieviel wird Weiß bei Wahl von Strategie  $i$  mindestens gewinnen:  $\min_j a_{ij}$ . (Das Minimum der  $i$ -ten Zeile, da der Gegner die Spalte  $j$  frei wählen kann)

Welche Strategie maximiert diesen Wert?

Jedes  $i_0$  mit  $\min_j a_{i_0j} = \underbrace{\max_i \min_j a_{ij}}_{=-1(\text{bei Hölzchen})}$  (gute Strategie)

Wieviel kann Schwarz bei der Wahl von Strategie  $j$  höchstens verlieren?

$\max_i a_{ij}$

Welche Strategie von Schwarz minimiert diesen Wert?

Jedes  $j_0$  mit  $\max_i a_{ij_0} = \underbrace{\min_j \max_i a_{ij}}_{=-1}$

**Lemma 4.0.2** Sei  $A$  eine Auszahlungsmatrix. Dann gilt:

$$\underbrace{\max_i \min_j a_{ij}}_{\text{Mindestgewinn } W.} \leq \underbrace{\min_j \max_i a_{ij}}_{\text{Maximalverlust von } S.}$$

**Beweis 4.0.2:**  $\forall i, j : \underbrace{\min_j a_{ij} \leq a_{ij} \leq \max_i a_{ij}}_{\forall i}$

$\Rightarrow \forall j : \max_i \min_j a_{ij} \leq \max_i a_{ij}$

$\Rightarrow \max_i \min_j a_{ij} \leq \min_j \max_i a_{ij}$

Man kann nicht auch die andere Richtung beweisen.

**Beispiel 4.0.3 (Stein-Schere-Papier)** *Auszahlungsmatrix:*

$$\text{Weiß} \begin{cases} \text{St} \\ \text{Sch} \\ \text{Pa} \end{cases} \begin{matrix} \text{Schwarz} \\ \left( \begin{array}{ccc} 0 & 1 & -1 \\ -1 & 0 & 1 \\ 1 & -1 & 0 \end{array} \right) \end{matrix}$$

$$\max_i \min_j a_{ij} = -1$$

$$\min_j \max_i a_{ij} = 1$$

Spielbaum von Stein-Schere-Papier: (Siehe Abbildung 42)

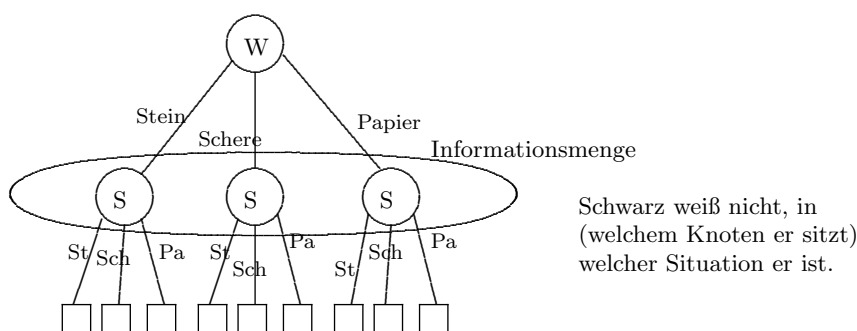


Abbildung 42: Spielbaum von Stein-Schere-Papier

**Definition:** Ein Spiel heißt eindeutig, falls gilt:

$$\max_i \min_j a_{ij} = \min_j \max_i a_{ij} \text{ (i.A. nur "≤")}$$

**Theorem 4.0.4** *Jedes endliche 2-Personen-Nullsummenspiel mit vollständiger Information ist eindeutig.*

**Beweis 4.0.4:** Annotiere Spielbaum, wie gehabt.

**Korollar (Zemento):** Entweder hat Weiß beim Schach eine Gewinnstrategie oder Schwarz hat eine oder beide können Remis erzwingen.

### 2.06.03

**Definition:**  $(i_0, j_0)$  heißt Sattelpunkt von der Matrix A, falls gilt:  $a_{i_0 j_0}$  ist Minimum der  $i_0$ -ten Zeile und Maximum der  $j_0$ -ten Spalte.

**Lemma 4.0.5** *Spiel  $\gamma$  ist eindeutig  $\Leftrightarrow$  Auszahlungsmatrix hat Sattelpunkt. Dann gilt  $\max_i \min_j a_{ij} = a_{i_0 j_0} = \min_j \max_i a_{ij} = \nu$  (Wert des Spiels)*

**Beweis 4.0.5** “ $\Rightarrow$ “ Die Funktion  $i \rightarrow \max_i a_{ij}$  habe ihr Maximum bei  $i_0$ .

Die Funktion  $j \rightarrow \min_j a_{ij}$  habe ihr Minimum bei  $j_0$ .

Behauptung:  $(i_0, j_0)$  ist Sattelpunkt.

$$\forall i : a_{ij_0} \leq \max_i a_{ij_0} \stackrel{\text{Def. } j_0}{=} \min_j \max_i a_{ij}$$

$$\stackrel{\gamma \text{ eindeutig}}{\Rightarrow} \max_i \min_j a_{ij} \stackrel{\text{Def. } i_0}{=} \min_j a_{i_0j} \leq a_{i_0j_0}$$

$\Rightarrow a_{i_0j_0}$  ist Maximum von Spalte  $j_0$ .

$$\forall j : a_{i_0j_0} \leq \max_i a_{ij_0} \stackrel{\text{wie oben}}{=} \min_j a_{i_0j} \leq a_{i_0j}$$

$\Rightarrow a_{i_0j_0}$  ist Minimum der Zeile  $i_0$ .

$$\text{“}\leftarrow\text{“ Gelte: } \max_i a_{ij_0} = a_{i_0j_0} = \min_j a_{i_0j}$$

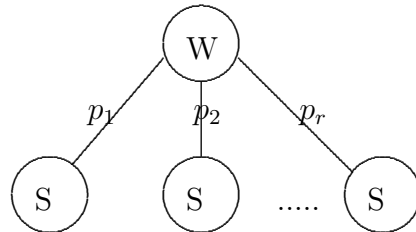
$$\max_i a_{ij_0} \geq \min_j \max_i a_{ij} \leq \max_i \min_j a_{ij} \geq \min_j a_{i_0j}$$

$\stackrel{\text{L. 4.02}}{\Rightarrow} \gamma$  eindeutig.

**Achtung:** Auch wenn  $\gamma$  eindeutig ist und  $a_{ij} = \nu$  gilt braucht  $(i, j)$  kein Sattelpunkt zu sein (Ü).

**Frage:** Was ist mit Spielen *ohne* vollständige Information? (z.B. Poker, Stein-Schere-Papier)

**Idee:** (v. Neumann/Morgenstern) Randomisieren. Bisher betrachtet: reine Strategien. Erlaube jetzt jedem Spieler Zufallsentscheidungen zu treffen. (Siehe Abbildung 43) Behavioristische Strategie.



$$\text{wobei: } p_i \geq 0 \text{ und } \sum_{i=1} p_i = 1$$

Abbildung 43: Zufallsentscheidungen

**Annahme:**

- Spiel ist endlich.
- Speicherplatz ist unbeschränkt.



⇒ Man kann alle Zufallsentscheidungen im Voraus treffen.

⇒ So entsteht für jeden Spieler eine Wahrscheinlichkeitsverteilung auf den reinen Strategien.

**Damit:** Spieler Weiß entscheidet sich vor Spielbeginn für eine Wahrscheinlichkeitsverteilung  $p_1, \dots, p_n$  auf seinen reinen Strategien  $s_1, \dots, s_n$ , das heißt

für einen Vektor  $\mathcal{P} = \begin{pmatrix} p_1 \\ \vdots \\ p_n \end{pmatrix}$  mit  $\forall i : p_i \geq 0, \sum_{i=1}^n p_i = 1$  (Analog für Vektor

$\mathcal{Q}$  bei Schwarz)

Auszahlung: Statt einer Zahl  $a_{ij}$  aus A: Erwartungswert  $\sum_{i,j} p_i a_{ij} q_j = \tilde{A}(\mathcal{P}, \mathcal{Q}) =$

$\mathcal{P}^t A \mathcal{Q}$ . Bilinearform.

**Theorem 4.0.6 (v. Neumann, Morgensterns Minimax-Theorem)** *Jedes endliche 2-Personen-Nullsummenspiel hat einen Wert bei Verwendung gemischter Strategien*

d.h.  $\max_{\mathcal{P}} \min_{\mathcal{Q}} \tilde{A}(\mathcal{P}, \mathcal{Q}) = \min_{\mathcal{Q}} \max_{\mathcal{P}} \tilde{A}(\mathcal{P}, \mathcal{Q}) = \nu = \text{Wert des Spiels}$

**Beweis 4.0.6:** Sei  $A \in M_{n \times m}(\mathbb{R})$  gegeben.

Behauptung 1: Verwendung von max, min (statt inf, sup) ist korrekt!

z.B. die Vektoren  $\mathcal{P}$  entstammen der Menge

$$N^m = \left\{ \begin{pmatrix} x_1 \\ \vdots \\ x_n \end{pmatrix}, x_i \geq 0 \text{ und } \sum_{i=1}^n x_i = 1 \right\} \text{ konvex, kompakt.}$$

Entsprechend  $\mathcal{Q} \in N^n$ .

$\tilde{A} : N^n \times N^m \rightarrow \mathbb{R}$  stetig, bilinear.

Behauptung 2: (Kern des Beweises) Es gibt:  $\mathcal{Q} \in N^m$  mit  $A \mathcal{Q} \leq 0$  für alle Komponenten oder es gibt  $\mathcal{P} \in N^n$  mit  $A^t \mathcal{P} \geq 0$  für alle Komponenten.

**Beweis 2:** Sei  $\mathcal{A}_j = \begin{pmatrix} a_{1j} \\ a_{2j} \\ \vdots \\ a_{nj} \end{pmatrix}$  die  $j$ -te Spalte der Matrix  $A$ .

Sei  $\mathcal{N}_i = \begin{pmatrix} 0 \\ \vdots \\ 0 \\ 1 \\ 0 \\ \vdots \\ 0 \end{pmatrix}$  der  $i$ -te Einheitsvektor aus  $\mathbb{R}^n$ . Sei  $C$  die konvexe Hülle der

Vektoren  $\mathcal{A}_1, \dots, \mathcal{A}_m$  und  $\mathcal{N}_1, \dots, \mathcal{N}_n$  im  $\mathbb{R}^n$

$$\Rightarrow C = \left\{ \sum_{\mu=1}^m t_\mu \mathcal{A}_\mu + \sum_{\nu=1}^n s_\nu \mathcal{N}_\nu ; t_\mu, s_\nu \geq 0 \text{ und } \sum_{\mu=1}^m t_\mu + \sum_{\nu=1}^n s_\nu = 1 \right\}$$

**Fall 1**  $C$  enthält  $\vec{0}$

$$\Rightarrow 0 = \sum_{\mu=1}^m t_\mu \mathcal{A}_\mu + \sum_{\nu=1}^n s_\nu \mathcal{N}_\nu$$

$$\Rightarrow \sum_{\mu=1}^m t_\mu > 0, \text{ denn die } \mathcal{N}_\nu \text{ sind linear unabhängig und } \sum t_\mu + \sum s_\nu = 1$$

$$\text{Schaue Zeile } \nu \text{ an: } \sum_{\mu=1}^m t_\mu a_{\nu\mu} = -s_\nu \leq 0$$

$$\text{Setze } q_j = \frac{t_j}{\sum_{i=1}^m t_i} \Rightarrow \mathcal{A}\psi = \begin{pmatrix} q_1 \\ \vdots \\ q_m \end{pmatrix} \in N^m$$

$$\text{und } A\mathcal{A}\psi = \frac{1}{\sum_{j=1}^m t_j} \begin{pmatrix} -s_1 \\ \vdots \\ -s_n \end{pmatrix} \leq 0 \checkmark$$

**Fall 2**  $C$  enthält nicht  $\vec{0}$

$C$  konvex  $\Rightarrow$  Es existiert Hyperebene  $H$  mit:

- $\vec{0} \in H$
- $C$  liegt ganz auf der einen Seite von  $H$

Siehe Abbildung 44 auf der nächsten Seite.

$$H = \left\{ \begin{pmatrix} x_1 \\ \vdots \\ x_n \end{pmatrix} \in \mathbb{R}^n ; \sum_{i=1}^n h_i x_i = 0 \right\} \text{ und } C \subseteq H^+$$

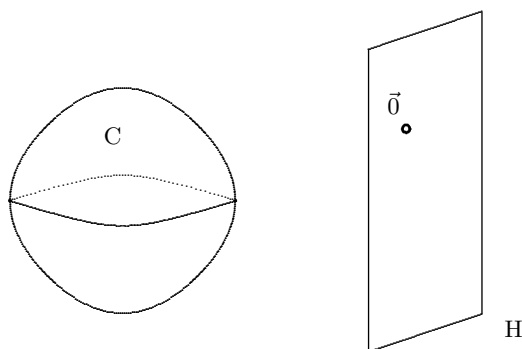


Abbildung 44: Hyperebene H

$$H^+ = \left\{ \begin{pmatrix} x_1 \\ \vdots \\ x_n \end{pmatrix} \in \mathbb{R}^n; \sum_{i=1}^n h_i x_i > 0 \right\}$$

Trick  $\mathcal{N}_\nu \in H^+ \Rightarrow h_\nu > 0 \forall \nu$

Setze  $p_i = \frac{h_i}{\sum_{i=1}^n h_i} \Rightarrow p = \begin{pmatrix} p_1 \\ \vdots \\ p_n \end{pmatrix} \in N^n$  und wegen  $a_\mu \in C \subseteq H^+$

$$\Rightarrow \sum_{i=1}^n h_i a_{\mu i} > 0$$

$$\Rightarrow 0 < \begin{pmatrix} \sum_i a_{i1} p_i \\ \vdots \\ \sum_i a_{in} p_i \end{pmatrix} = A^t p = (p^t A)^t$$

$\Rightarrow$  Behauptung 2.

**Lemma 4.0.7 (Loomis Lemma)** (i)  $\forall \psi \in N^m : \max_{\varphi \in N^n} \tilde{A}(\varphi, \psi) = \max_{1 \leq i \leq n} \tilde{A}(\mathcal{N}_i, \psi)$

$$(ii) \forall p \in N^n : \min_{\psi \in N^m} \tilde{A}(p, \psi) = \min_{1 \leq j \leq m} \tilde{A}(p, \mathcal{N}_j)$$

“Gegen eine bekannte gemischte Strategie braucht man nicht zu randomisieren“

**Beweis 4.0.7:** (i): Sei  $\psi$  beliebig und  $\varphi = \begin{pmatrix} p_1 \\ \vdots \\ p_n \end{pmatrix}$

$$= \sum_{i=1}^n p_i \mathcal{N}_i. \text{ Dann gilt:}$$

$$\begin{aligned}
\max_{1 \leq i \leq n} \tilde{A}(\mathcal{N}_i, \mathcal{A}) &= \sum_{\nu=1}^n p_\nu \max_{1 \leq i \leq n} \tilde{A}(\mathcal{N}_i, \mathcal{A}) \\
&\geq \sum_{\nu=1}^n \tilde{A}(\mathcal{N}_\nu, \mathcal{A}) \stackrel{33}{=} \tilde{A}(\mathcal{P}, \mathcal{A}) \forall \mathcal{P} \\
&\Rightarrow \max_{1 \leq i \leq n} \tilde{A}(\mathcal{N}_i, \mathcal{A}) \geq \max_{\mathcal{P}} \tilde{A}(\mathcal{P}, \mathcal{A}) \text{ Richtung } \leq \text{ trival} \\
&\Rightarrow \text{“=“ ((ii) analog wie (i))}
\end{aligned}$$

**Damit Beweis des Theorems 4.0.6 auf Seite 49:** Zu zeigen:  $\nu_1 =$

$$\max_{\mathcal{P}} \min_{\mathcal{A}} \tilde{A}(\mathcal{P}, \mathcal{A}) = \min_{\mathcal{A}} \max_{\mathcal{P}} \tilde{A}(\mathcal{P}, \mathcal{A}) = \nu_2$$

( $\leq$  trival, siehe Lemma 4.0.2)

zeigen: Zwischen  $\nu_1, \nu_2$  ist kein Platz für eine reelle Zahl.

Angenommen in Behauptung 2 gilt:  $\exists \mathcal{A} \in N^m$  mit:  $A\mathcal{A} \leq 0$

$$\Rightarrow \forall i, 1 \leq i \leq n : \underbrace{\sum_{j=1}^m a_{ij} q_j}_{=\tilde{A}(\mathcal{N}_i, \mathcal{A})} \leq 0$$

$$\Rightarrow \max_{\mathcal{P}} \tilde{A}(\mathcal{P}, \mathcal{A}) \stackrel{4.0.7}{=} \max_i \tilde{A}(\mathcal{N}_i, \mathcal{A}) \leq 0$$

$$\Rightarrow \nu_1 \leq \nu_2 = \min_{\mathcal{A}} \max_{\mathcal{P}} \tilde{A}(\mathcal{P}, \mathcal{A}) \leq 0$$

Angenommen in Behauptung 2 gilt:  $\exists \mathcal{P} \in N^n$  mit:  $A^t \mathcal{P} \geq 0$

$$\Rightarrow \forall j, 1 \leq j \leq m : \underbrace{\sum_{i=1}^n p_i a_{ij}}_{\tilde{A}(\mathcal{P}, \mathcal{N}_j)} \geq 0$$

$$\stackrel{\text{wie oben}}{\Rightarrow} 0 \leq \max_{\mathcal{P}} \min_{\mathcal{A}} \tilde{A}(\mathcal{P}, \mathcal{A}) = \nu_1 \leq \nu_2$$

$\Rightarrow$  Nie gilt  $\nu_1 < 0 < \nu_2$

Sei  $w \in \mathbb{R}$  beliebig. Betrachte die Matrix  $B = (b_{ij})$  mit  $b_{ij} = a_{ij} + w$

$$\tilde{B}(\mathcal{P}, \mathcal{A}) = \mathcal{P}^t B \mathcal{A} = \sum_{i,j} p_i b_{ij} q_j$$

$$= \sum_{i,j} p_i a_{ij} q_j + w \underbrace{\sum_{i,j} p_i q_j}_{=1}$$

Gerade gezeigt (für  $B$  statt  $A$ ) gilt nie:  $\nu_1(B) < 0 < \nu_2(B)$

$$\Leftrightarrow \nu_1(A) + w < 0 < \nu_2(A) + w$$

$\Rightarrow$  Es gilt nicht:  $\nu_1(A) < -w < \nu_2(A)$ , wobei  $w$  beliebig ist.  $\square$

---

<sup>33</sup>Da  $\tilde{A}$  bilinear

**16.06.03** Konsequenz: Jedes endliche Zwei-Personen-Nullsummenspiel hat einen Wert bei Verwendung gemischter Strategien<sup>34</sup>.

**Theorem 4.0.8 (Volles Loomis Lemma)** Sei  $\mathcal{T}$  ein EZPN Spiel mit Auszahlungsmatrix  $A$ . Die Abbildung

$$f: N^n \rightarrow \mathbb{R} \quad \text{habe Maximum in } \mathcal{P}^*$$

$$\mathcal{P} \rightarrow \min_{\mathcal{V} \in N^m} \tilde{A}(\mathcal{P}, \mathcal{V})$$

$$g: N^m \rightarrow \mathbb{R} \quad \text{habe Minimum in } \mathcal{V}^*$$

$$\mathcal{V} \rightarrow \max_{\mathcal{P} \in N^n} \tilde{A}(\mathcal{P}, \mathcal{V})$$

Dann ist  $(\mathcal{P}^*, \mathcal{V}^*)$  "Sattelpunkt" des Spiels und es gilt:

$$\nu = \tilde{A}(\mathcal{P}^*, \mathcal{V}^*) = \max_i \tilde{A}(\mathcal{N}_i, \mathcal{V}^*) = \min_j \tilde{A}(\mathcal{P}^*, \mathcal{N}_j) = \min_{\mathcal{V}} \max_i \tilde{A}(\mathcal{N}_i, \mathcal{V}) = \max_{\mathcal{P}} \min_j \tilde{A}(\mathcal{P}, \mathcal{N}_j)$$

**Beweis 4.0.8:** Siehe Lemmata 4.0.7 auf Seite 51 und 4.0.5 auf Seite 47.

**Beispiel 4.0.9**  $A = \begin{pmatrix} 3 & 1 \\ 2 & 4 \end{pmatrix}$

$\max_i \min_j a_{ij} = 2 < 3 = \min_j \max_i a_{ij}$  Spiel hat keinen Wert bei Verwendung reiner Strategien. Betrachte gemischte Strategie für Weiß: Wähle Zeile 1 mit Wahrscheinlichkeit  $p$  und Zeile 2 mit Wahrscheinlichkeit  $1 - p$

$$\Rightarrow \nu = \max_{\mathcal{P}} \min_j \underbrace{\tilde{A}(\mathcal{P}, \mathcal{N}_j)}_{\sum_{i=1}^2 p_i a_{ij}} = \max_{\mathcal{P}} \min_j (p \cdot 3 + (1 - p) \cdot 2, p \cdot 1 + (1 - p) \cdot 4) =$$

$$\max_{\mathcal{P}} \min(p + 2, -3p + 4) \text{ wird maximal, wenn } p + 2 = -3p + 4 \Leftrightarrow p = \frac{1}{2}.$$

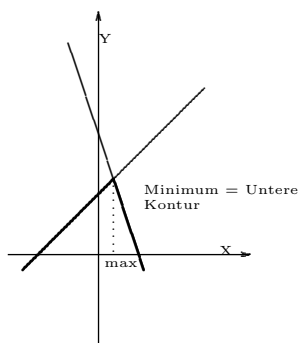


Abbildung 45: Funktionsgraphen bei Weiß

<sup>34</sup>Wahrscheinlichkeitsverteilung auf den reinen Strategien

(Siehe Abbildung 45 auf der vorherigen Seite.)

$\Rightarrow$  Optimale Strategie für Weiß ist:  $(\frac{1}{2}, \frac{1}{2})$ .

$$\Rightarrow \nu = \frac{1}{2} + 2 = \frac{5}{2}$$

Wenn Schwarz wüsste, dass Weiß  $\varphi^* = (\frac{1}{2}, \frac{1}{2})$  spielt, könnte er mit jeder seiner reinen Strategien kontern. Aber Schwarz weiß das nicht. Kann es sich nicht leisten z.B. Spalte 1 zu wählen, denn er weiß nicht, ob Weiß nicht Zeile 1 spielt. Gute gemischte Strategie  $\varphi^*$  für Schwarz wie vorhin:

$$\nu = \min_{\varphi} \max(3q + 1(1 - q), 2q + 4(1 - q))$$

$$= \min_{\varphi} \max(2q + 1, -2q + 4) \Rightarrow \text{Minimum wird angenommen für } 2q + 1 =$$

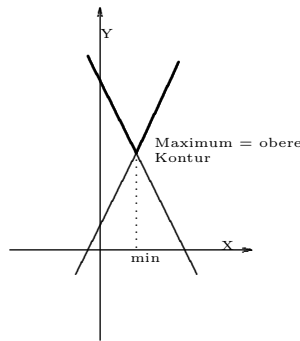


Abbildung 46: Funktionsgraphen bei Schwarz

$-2q + 4 \Rightarrow q = \frac{3}{4}, 1 - q = \frac{1}{4}$ . ( Siehe Abbildung 46.) Optimale Strategie für Schwarz:  $(\frac{3}{4}, \frac{1}{4})$

**Achtung:** Minmax-Theorem gilt leider nicht für alle unendlichen Spiele!

**Beispiel 4.0.10** Spieler Weiß wählt  $i \in \mathbb{N}$

Spieler Schwarz wählt  $j \in \mathbb{N}$

$$a_{ij} = \begin{cases} 1, & i > j \\ 0, & i = j \\ -1, & i < j \end{cases} \quad \text{Strategie für Weiß: } \varphi = (p_1, p_2, \dots) \text{ mit } p_i \geq 0 \text{ und}$$

$$\sum_{i=1}^{\infty} p_i = 1 \quad (\text{Diskrete Wahrscheinlichkeitsverteilung})$$

$$\Rightarrow \forall \epsilon > 0 \exists n_\epsilon : \sum_{i=n_\epsilon}^{\infty} p_i < \epsilon \Rightarrow \sup_{\varphi} \inf_j \tilde{A}(\varphi, \mathcal{N}_j) = -1, \text{ denn: für jedes feste } \varphi$$

$$\text{gilt: } \tilde{A}(\varphi, \mathcal{N}_j) = -1 \sum_{i=1}^{j-1} p_i + 0 + 1 \underbrace{\sum_{i=j+1}^{\infty} p_i}_{\searrow 0 \text{ für } j \rightarrow \infty} \quad \text{Für jedes } \varphi : \inf_j \tilde{A}(\varphi, \mathcal{N}_j) = -1 \Rightarrow$$

$$\sup_{\mathcal{A}} \inf_j \tilde{A}(\mathcal{A}, \mathcal{A}_j) = -1$$

Entsprechend:  $\inf_{\mathcal{A}} \sup_i \tilde{A}(\mathcal{A}_i, \mathcal{A}) = +1$  analog.

Hauptproblem der Spieltheorie: Mehr als 2 Personen.

Keine Nullsummenspiele: Leicht heilbar durch Einführung eines weiteren Spielers.

**Zurück zur Online Analyse** Allgemeines Modell für Online-Probleme:

1. Anforderungs-Antwort-Systeme (ähnlich zu 2 Personen Spielen).
2. Metrische Task Systeme.
3. k-Server Modell.

## 4.1 Anforderungs-Antwort-Systeme

**Definition Anforderungs-Antwort-System:** Gegeben sei eine Anforderungsmenge  $\mathcal{R}$ , Folge von endlichen Antwortmengen  $A_i, i = 1, 2, \dots$  und eine Folge von Funktionen  $\text{cost}_n : \mathcal{R}^n \times A_1 \times \dots \times A_n \rightarrow (\mathbb{R}_{\geq 0} \cup \{\infty\})$

Idee: Abwechselnd stellt Gegner ADV eine Anforderung  $r_i \in \mathcal{R}$ ,

beantwortet Algorithmus ALG diese Anforderung mit Antwort  $a_i \in A_i$

Wird Anforderungsfolge  $r_1, \dots, r_n$  mit Antwortfolge  $a_1, \dots, a_n$  beantwortet, so entstehen Kosten  $\text{cost}_n(r_1, \dots, r_n, a_1, \dots, a_n)$

(Zeitliche Abfolge:  $r_1, a_1, r_2, a_2, \dots, r_n, a_n$ )

Dann heißt  $(\mathcal{R}, (A_i)_i, (\text{cost}_i)_i)$  ein Anforderungs-Antwort-System. Damit lassen sich verschiedene Online Probleme beschreiben. z.B.

**Paging:**  $\mathcal{R} = \{1, \dots, N\}$  ( $N =$  Anzahl sämtlicher Seiten)

$A_i = A = \{0, 1, \dots, k\}$  wobei  $k =$  Cache Größe und  $0 =$  NOP,  $1 \leq i \leq k$  : Verdränge Seite  $i$ .

$\text{cost}_n$  entsprechend:

$$\text{cost}_n(r_1, \dots, r_n, a_1, \dots, a_n) = \#\{m, 1 \leq m \leq n \text{ und } a_m \neq 0\}$$

### Selbstorganisierende Listen (Ü)

**Definition Online Algorithmus:** Ein Online Algorithmus ALG für ein Anforderungs-Antwort-System  $\mathcal{T}$  ist:

Folge von Funktionen  $g_i : \begin{array}{l} \mathcal{R}^i \rightarrow A_i \\ (r_1, \dots, r_i) \rightarrow a_i \end{array}$  Dass heißt ALG kennt alle

bisherigen Anforderungen. (Man könnte auch schreiben

$$g_i : \begin{array}{l} (\mathcal{R} \times A)^{i-1} \times R \rightarrow A_i \\ (r_1, a_1, \dots, r_{i-1}, a_{i-1}, r_i) \rightarrow a_i \end{array}$$

Wir schreiben  $\text{ALG} = \{g_i\}_i$

Mit einer Anforderungsfolge  $\sigma = (r_1, r_2, \dots, r_n)$  sei

$$\text{ALG}[\sigma] = (a_1, a_2, \dots, a_n) \in A_1 \times A_2 \times \dots \times A_n$$

mit  $a_j = g_j(r_1, \dots, r_j)$  für  $j = 1, \dots, n$

$(a_1, \dots, a_n) = \text{ALG}[\sigma]$  heißt die von ALG zu  $\sigma$  produzierte Antwortfolge.

Kosten:  $\text{ALG}(\sigma) = \text{cost}_n(\sigma, \text{ALG}[\sigma])$

## 4.2 Randomisierte Algorithmen

Hatten Online Probleme gesehen, bei denen Randomisierung Vorteile bringt, in dem ALG seine jeweils nächste Antwort zufällig bestimmt. (behavioristischer Ansatz)

**Beispiele:** BIT bei Listen, MARK bei Paging.

**Annahmen:**

1. Ausreichend Speicherplatz.
2. Kein Spieler vergißt seine Züge.

Randomisierter Algorithmus  $\text{ALG} =$  Wahrscheinlichkeitsverteilung auf einer Familie von deterministischen Algorithmen  $(\text{ALG}_\omega)_\omega$  mit  $\omega \in \Omega$ ,  $(\Omega, \mu)$  Wahrscheinlichkeitsraum. (Meistens  $\mu$  diskret, d.h.  $\sum_{\omega \in \Omega} \mu(\omega) = 1$ )

Kosten von  $\text{ALG} = \text{ALG}(\sigma) = E_\omega(\text{ALG}_\omega(\sigma))$

18.06.03

## 4.3 Deterministische Gegenspieler

Allgemein: Gegenspieler  $\text{ADV} = (Q, S)$  mit  $Q =$  Anforderungskomponente.  $S =$  Bedienkomponente (d.h. ADV muß die von ihm mit Q erzeugten Anforderungen evtl. auch selbst beantworten)

**Wir betrachten 3 Typen von Gegenspielern**

1. Vergeßlicher Gegner (oblivious adversary)
  - Kennt ALG und  $\mu$ , aber nicht das ausgewählte  $\text{ALG}_\omega$



- darf selbst am Ende die optimale Offline Lösung liefern.

Wie bisher betrachtet, d.h. Q entscheidet vor Beginn für endliche Anforderungsfolge  $\sigma \in \mathcal{R}^n$

S erzeugt optimale Offline Lösung.  $\text{OPT}[\sigma] =$  diejenige Antwortfolge  $a_1, \dots, a_n$  mit  $\text{cost}_n(\sigma, a_1, \dots, a_n)$  minimal =  $\text{OPT}(\sigma)$

Sei  $\gamma(t) = c \cdot t + A$  (Kompetitiver Faktor  $c$  und additive Konstante  $A$  in einem)

ALG ist  $\gamma$ - kompetitiv gegen vergeßliche Gegner

$:\Leftrightarrow \forall \sigma : \text{ALG}(\sigma) \leq \gamma(\text{OPT}(\sigma))$ .

## 2. Adaptiver Offline Gegner (adaptive offline adversary)

- Kennt ALG und sieht die zur Laufzeit von ALG  $\omega$  erzeugten Antworten.
- Darf selbst am Ende die optimale Lösung liefern.

$Q =$  Folge von Funktionen  $q_i :$

$$\bigotimes_{j=1}^{i-1} \mathcal{R} \times A_j \rightarrow \mathcal{R} \cup \{\text{stop}\}$$

$$(r_1, a_1, \dots, r_{i-1}, a_{i-1}) \rightarrow r_i$$

$Q$  muss in Abhängigkeit von ALG eine Konstante  $d_Q$  benennen mit  $q_{d_Q}(r_1, a_1, \dots, r_{d_Q-1}, a_{d_Q-1}) = \text{stop}$

Sei  $\sigma(\text{ALG}_\omega, Q)$  die auf diese Weise erzeugte Anforderungsfolge =  $(r_1, r_2, \dots, r_{d_Q})$

S wie bei OBL, d.h. S erzeugt optimale Offline Lösung  $\text{OPT}[\sigma(\text{ALG}_\omega, Q)]$

ALG heißt  $\gamma$ - kompetitiv gegen adaptive Offline Gegner

$:\Leftrightarrow \forall Q : E_\omega(\text{ALG}_\omega(\sigma(\text{ALG}_\omega, Q))) \leq \gamma(E_\omega(\text{OPT}(\sigma(\text{ALG}_\omega, Q))))$

## 3. Adaptiver Online Gegner

- Kennt ALG und sieht die zur Laufzeit von ALG  $\omega$  erzeugten Antworten.
- Muss selbst noch zur Laufzeit antworten, d.h.

Q: Wie beim Adaptiven Offline-Gegner

S: Folge von Funktionen  $p_i :$

$$\left( \bigotimes_{j=1}^{i-1} \mathcal{R} \times A_j \right) \times \mathcal{R} \rightarrow A_i$$

$$((r_1, a_1, \dots, r_{i-1}, a_{i-1}), r_i) \rightarrow b_i$$

d.h. S kennt alle früheren Anforderungen und alle Antworten von ALG ( $\leftarrow$  Könnte man den Gegner verbieten. Dann blinder adaptiver Online-Gegner)

Sei  $b(\text{ALG}_\omega, Q, S)$  die von S erzeugte Antwortfolge  $b_1, b_2, \dots$  (ADV blind:  $S(\sigma(\text{ALG}_\omega, Q))$ ) selbst ein gewöhnlicher Online Algorithmus.

$$\begin{aligned}
& \text{ALG heißt } \gamma\text{- kompetitiv gegen adaptive Online Gegner} \\
& \Leftrightarrow \forall \text{ADV}(Q, S) : E(\text{ALG}_\omega(\sigma(\text{ALG}_\omega, Q))) \\
& \leq \gamma (E_\omega(\text{cost}_{d_q}(\sigma(\text{ALG}_\omega, Q), b(\text{ALG}_\omega, Q, S))))
\end{aligned}$$

### Fragen

1. Wie stark sind diese Gegnertypen?  
Klar: vergeßlicher Gegner < adaptiver Online Gegner < adaptiver Offline Gegner.
2. Hilft Gegnern Randomisierung?

## 4.4 Randomisierte Gegenspieler

Hatten gesehen ALG können von Randomisierung sehr profitieren, z.B. Paging: log k-kompetitiv statt k-kompetitiv. Beim Gegner auch?

**Theorem 4.4.1** *Bei Anforderungs-Antwort-System bringt Randomisierung keinen der 3 Gegnertypen einen Vorteil.*

**Beweis 4.4.1:** Sei  $\text{ALG} = (\text{ALG}_i)_i$  mit diskreter Wahrscheinlichkeitsverteilung  $p_i, p_i \geq 0, \sum p_i = 1$  Es genügt die Behauptung für den adaptiven Online Gegner zu zeigen. (Denn da ist der Beweis am schwierigsten) Sei ADV ein randomisierter Online-Gegner.

$\text{ADV} = \left( (Q_k, a_j)_j, (S_k, w_k)_k \right)$  mit diskreten Wahrscheinlichkeitsverteilungen  $(q_j)_j$  und  $(w_k)_k$ .

Für jede feste Wahl von  $Q_j$  und  $S_k$  gilt:

$$\text{Erwartete Kosten von ALG} = \sum_i p_i \cdot \text{ALG}_i(\sigma(\text{ALG}_i, Q_j)) = a(j)$$

$$\text{Erwartete Kosten von ADV}(Q_j, S_k) = \sum_i p_i \cdot \text{cost}_{d_Q}(\sigma(\text{ALG}_i, Q_j), b(\text{ALG}_i, Q_j, S_k)) = b(j, k)$$

**Klar:** Deterministischer Gegenspieler kann für jedes  $\epsilon > 0$   $j^*$  und  $k^*$  so wählen, dass  $\frac{a(j^*)}{b(j^*, k^*)} \geq \sup_{j, k} \frac{a(j)}{b(j, k)} - \epsilon$

Wir zeigen: Auch der randomisierte Gegenspieler kann nicht mehr erreichen!

Denn:  $\frac{\text{Erwartete Kosten von ALG gegen ADV}}{\text{Erwartete Kosten von ADV}}$

$$\begin{aligned}
& \frac{\sum_j q_j a(j)}{\sum_{j, k} q_j w_k b(j, k)} \\
& = \frac{\sum_j q_j a(j)}{\sum_{j, k} q_j w_k b(j, k)}
\end{aligned}$$

$$= \frac{\left( \sum_j q_j a(j) \right) \cdot \overbrace{\sum_k w_k}^{=1}}{\sum_{j,k} q_j w_k b(j,k)} = \frac{\sum_{j,k} q_j w_k a(j)}{\sum_{j,k} q_j w_k b(j,k)}$$

**Trick:**  $\frac{\sum_i A_i}{\sum_i B_i} \leq \sup_i \frac{A_i}{B_i}$  Denn:  $\forall i : A_i \leq l \cdot B_i \Rightarrow \sum_i A_i \leq \sum_i l B_i = l \sum_i B_i$

$\stackrel{\text{Trick}}{=} \sup_{j,k} \frac{a(j)}{b(j,k)} \quad \square$

**Korollar 4.4.2** Sei ALG ein randomisierter Online Algorithmus, ALG  $\gamma$ -kompetitiv gegen jeden deterministischen Online Gegner  $\Rightarrow$  ALG  $\gamma$ -kompetitiv gegen jeden randomisierten adaptiven Online Gegner.

## 4.5 Stärke der deterministischen Gegner

**Theorem 4.5.1** Für ein Anforderungs-Antwort-System  $\mathcal{I}$  sei ALG  $\gamma$ -kompetitiv gegen adaptiven Online Gegner ALG', ALG  $\delta$ -kompetitiv gegen vergeßliche Gegner. Dann ist ALG  $\gamma \cdot \delta$ -kompetitiv gegen Offline Gegner

**Beweis 4.5.1:** Sei  $Q$  das Anforderungssystem eines beliebigen adaptiven Offline Gegners. Seien  $ALG = (ALG_\omega)_\omega$ ,  $ALG' = (ALG'_\psi)_\psi$ .

**Müssen zeigen:**  $E(ALG_\omega(\sigma(ALG_\omega, Q))) \leq \gamma(\delta(E(OPT(\sigma(ALG_\omega, Q))))))$

Betrachten jetzt den folgenden blinden adaptiven Online Gegner:

$\overline{ADV} = (Q, ALG')$ , randomisiert

4.4.2  $\Rightarrow E_\omega(ALG_\omega(\sigma(ALG_\omega, Q))) \leq \gamma(E_\omega E_\psi(ALG'_\psi(\sigma(ALG_\omega, Q))))$

$\Rightarrow$  ALG ist  $\gamma$ -kompetitiv gegen ADV.

**Andererseits:** ALG' ist  $\delta$ -kompetitiv gegen vergeßliche Gegner.

$E_\psi(ALG'_\psi(\sigma(ALG_\omega, Q))) \leq \delta(OPT(\sigma(ALG_\omega, Q)))$

Jetzt auf beiden Seiten  $E_\omega$  und  $\gamma$  anwenden  $\Rightarrow$  Behauptung  $\square$

### 23.06.03

**Korollar 4.5.2** Gibt es einen  $\gamma$ -kompetitiven Algorithmus ALG gegen adaptive Online Gegner, so ist ALG  $\gamma^2$ -kompetitiv gegen adaptive Offline Gegner.

**Beweis 4.5.2:** Theorem 4.5.1.

**Wir zeigen jetzt:** Adaptive Offline Gegner sind so stark, dass Randomisierung gegen sie nicht hilft.

**Theorem 4.5.3** Sei  $\mathcal{T}$  ein Anforderungs-Antwort-System. Angenommen, es gibt einen randomisierten,  $\gamma$ -kompetitiven Algorithmus ALG gegen adaptive Offline Gegner. Dann gibt es auch einen  $\gamma$ -kompetitiven deterministischen Algorithmus<sup>35</sup>

**Beweis 4.5.3:** Zu  $\mathcal{T}$  gehört ein Baum  $T$ : (Siehe Abbildung 47)  $T$  kann un-

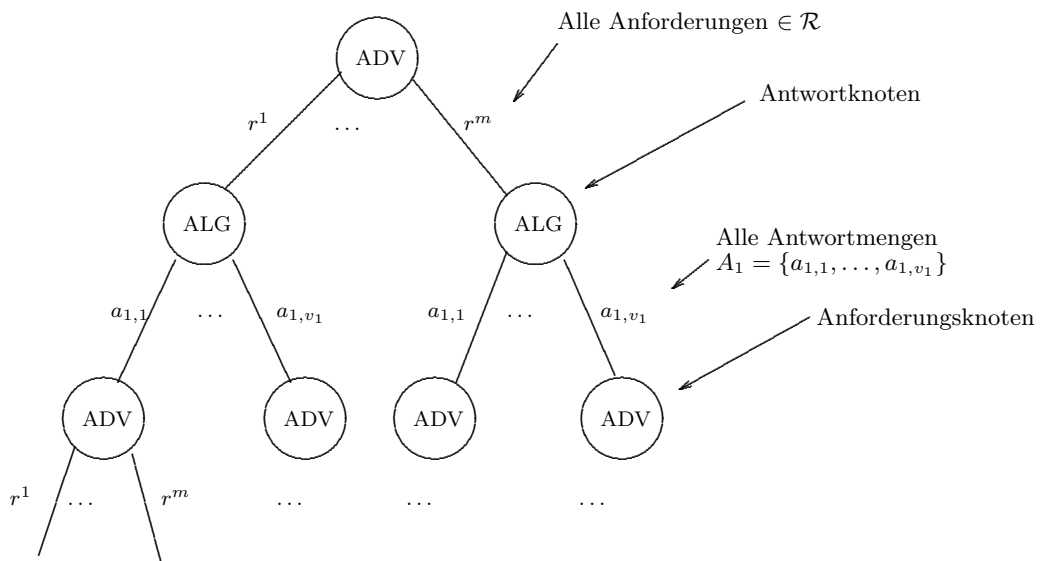


Abbildung 47: Baum zum Anforderungs-Antwort-System

endlich sein!

Zu jedem Anforderungsknoten  $v$  auf Tiefe  $2n + 1$  gehört eine eindeutige Folge  $r_1, a_1, \dots, r_n, a_n$  durch Beschriftungen auf dem Pfad von der Wurzel von  $v$ . Sei  $\sigma = r_1, \dots, r_n$  und  $a = a_1, \dots, a_n$ . Setze  $\text{cost}(v) = \text{cost}_n(\sigma, a)$ . Jetzt partielle Färbung von  $T$ , abhängig vom Kompetitivitätsfaktor  $\gamma$ . Falls  $\text{cost}(v) > \gamma \cdot \text{OPT}(\sigma)$ : Dann färbe  $v$  schwarz<sup>36</sup>. Schneide den an  $v$  hängenden Teilbaum von  $T$  ab, definiere Restdauer  $\rho$  bis zur Niederlage mit  $\rho(v) = 0$ . Propagiere Schwarzfärbung und  $\rho$ -Werte der schwarzen Knoten nach oben durch folgende Regeln:

<sup>35</sup>Ein deterministischer Algorithmus ist gegen jeden Gegner gleich gut

<sup>36</sup>schwarz = "Sieg" vom Gegner

- $v$  Antwortknoten, alle Söhne schwarz  
 $\Rightarrow v$  wird schwarz gefärbt,  $\rho(v) = \max_{w \text{ Sohn von } v} \rho(w) + 1$
- $v$  Anforderungsknoten, mindestens ein Sohn ist schwarz  
 $\Rightarrow v$  wird schwarz gefärbt,  $\rho(v) = \min_{w \text{ schwarzer Sohn von } v} \rho(w) + 1$

**Klar:**  $v \in T$  schwarz  $\Rightarrow \rho(v)$  endlich.

**Beachte:** Bisher hängt alles nur von  $\mathcal{T}$  und  $\gamma$  ab.

**1. Fall:** Wurzel von  $T$  ist schwarz.

Definiere Anforderungskomponente  $Q$  durch: Wähle stets den den schwarzen Sohn mit kleinsten  $\rho$ -Wert. Für dieses  $Q$  gilt:  $\forall$  det. Algorithmen  $ALG_\omega$ :  
 $ALG_\omega(\sigma(ALG_\omega, Q)) > \gamma(OPT(\sigma(ALG_\omega, Q)))$  nach spätestens  $d_Q = \rho(v)$  vielen Schritten.

**2. Fall:** Wurzel von  $T$  ist nicht schwarz.

Definiere deterministischen Algorithmus  $ALG_\omega$  durch: Wähle immer einen nicht schwarz gefärbten Sohn. Für dieses  $ALG_\omega$  gilt:  
 $\forall Q : ALG_\omega(\sigma(ALG_\omega, Q)) \leq \gamma(OPT(\sigma(ALG_\omega, Q)))$ , denn man kommt nie in ein schwarzes Blatt.

**Nach Voraussetzung:** Es gibt  $ALG = (ALG_\omega)_\omega$  randomisiert mit:  $\forall Q : ALG_\omega(\sigma(ALG_\omega, Q)) \leq \gamma(E_\omega(OPT(\sigma(ALG_\omega, Q))))$   
 $\Rightarrow$  für jedes  $Q$  gibt es ein  $ALG_\omega$  mit  $ALG_\omega(\sigma(ALG_\omega, Q)) \leq \gamma(OPT(\sigma(ALG_\omega, Q)))$   
 $\Rightarrow$  Fall 1 tritt nicht ein.  
 $\Rightarrow$  Fall 2 tritt ein.  $\square$

**Bemerkung:**

- Beweis ist nicht konstruktiv.
- Verallgemeinert Theorem 4.0.4 auf Seite 47 über 2-Personen-Nullsummenspiele mit vollständiger Information.

## 4.6 Zusammenhang Spiele und Anforderungs-Antwort-Systeme

Sei  $\mathcal{T}$  ein endliches Anforderungs-Antwort-System

$\Rightarrow$  Baum  $T$  von  $\mathcal{T}$  ist endlich. Fasse  $T$  als Spielbaum auf.

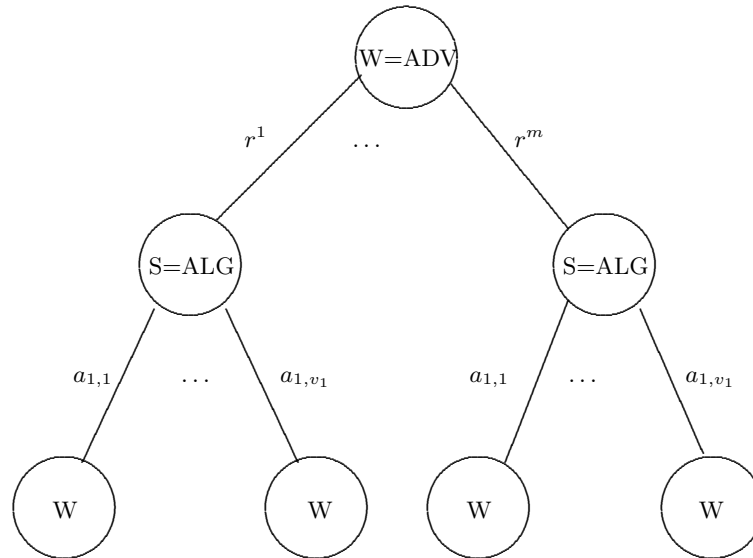


Abbildung 48: Baum T des Anforderungs-Antwort-Systems

Reine Strategie von Schwarz: deterministischer Algorithmus.

Reine Strategie von Weiß: deterministische Anforderungskomponente.

Alle Blätter sind Anforderungsknoten. (Knoten von Weiß)

Bei Beschriftung  $r_1, a_1, \dots, r_n, a_n$  zu Blatt b: Auszahlung in b:  $\frac{\text{cost}_n(r_1, \dots, r_n, a_1, \dots, a_n)}{\text{OPT}(r_1, \dots, r_n)}$

$\Rightarrow \mathcal{T}$  ist endliches 2-Personen-Nullsummenspiel mit vollständiger Information.

$\Rightarrow$  Spiel ist eindeutig.

$\Rightarrow$  Wert  $\nu$  des Spiels ist mit reinen Strategien erreichbar.

$\Rightarrow$  Randomisierung hilft dem Gegner ADV nicht. (Theorem 4.4.1 auf Seite 58)

$\Rightarrow$  Hilft auch dem Algorithmus nicht. (Theorem 4.5.3 auf Seite 60)

**Fazit:** Endliches Anforderungs-Antwort-System gegen adaptive Offline Gegner ist 2-Personen-Nullsummenspiel mit vollständiger Information.

**Frage:** Geht das auch für adaptive Online Gegner? Ein Problem: Definition der Kostenfunktion: Hier gehen (im Nenner) die Kosten ein, die der ADV online verursacht. Mögliche Abhilfe: Erweiterung von T: Zug von ADV:  $(r_{i+1}, b_{i+1})$

Neues Problem: Für ALG sind die  $b_i$  nicht bekannt

$\Rightarrow$  keine vollständige Information.

**Vergeßlicher Gegenspieler:** Baum beschreibt Situation mit unvollständiger Information für Weiß = ADV.

**Aber:** Spiel in strategischer Form  $\{\text{ALG}_1, \dots, \text{ALG}_n\}$  mögliche deterministische Algorithmen = reine Strategien von Schwarz.

$\{\sigma_1, \dots, \sigma_k\}$  mögliche Anforderungsfolgen = reine Strategien von Weiß.

Auszahlungsmatrix:  $a_{ij} = \frac{\text{OPT}(\sigma_j)}{\text{ALG}_i(\sigma_j)}$  Auszahlung an Schwarz = ALG .

**Problem:** Randomisierung von ALG :  $\sum_i p_i \frac{\text{OPT}(\sigma_j)}{\text{ALG}_i(\sigma_j)} \neq \frac{\text{OPT}(\sigma_j)}{\sum_i p_i \text{ALG}_i(\sigma_j)}$

**Abhilfe:** Auszahlungsmatrix:  $b_{ij} = \frac{\text{ALG}_i(\sigma_j)}{\text{OPT}(\sigma_j)}$  Auszahlung an Weiß = ADV.  
Jetzt geht es, solange ADV nicht randomisiert. Braucht er aber auch nicht, da er die Verteilung des ALG kennt.

### 25.06.03

## 4.7 Yao's Prinzip

(Konstruktion von unteren Schranken)

Es sei  $\mathcal{T}$  ein unbeschränktes Anforderungs-Antwort-System.  $\{\sigma_j\}_j$  eine Wahrscheinlichkeitsverteilung über der Menge aller Anforderungsfolgen. Betrachte alle Folgen  $\sigma^n =$  Menge  $\Sigma^n$ , der Länge n. Ist  $p_j$  die Wahrscheinlichkeit von  $\sigma_j$  in der Menge aller Folgen dann ist  $p_j^n = \frac{p_j}{\sum_{b_k^n \in \Sigma^n} p_k}$  die Wahrscheinlichkeit

von  $\sigma_j$  in  $\Sigma^n$ .

$(\text{ALG}_\omega)_\omega$  ein randomisierter Algorithmus für  $\mathcal{T}$ .

**Theorem 4.7.1 (Yao)** Es gelte für eine Zahl  $c$  :

- $\liminf_{n \rightarrow \infty} \frac{\inf_{\omega} (E_{j^n}(\text{ALG}_\omega(\sigma_j^n)))}{E_{j^n}(\text{OPT}(\sigma_j^n))} \geq c$
- $\limsup_{n \rightarrow \infty} E_{j^n}(\text{OPT}(\sigma_j^n)) = \infty$

Dann kann kein Algorithmus zur Lösung von  $\mathcal{T}$  einen Faktor  $< c$  haben, gegen beliebige Gegenspieler.

(In Worten: Die Performance des besten deterministischen Algorithmus  $\text{ALG}_\omega$  bei zufälliger Eingabe ist untere Schranke für den kompetitiven Faktor von  $\text{ALG}$  )

**Beweis 4.7.1:** Es genügt Behauptung für den schwächsten Gegenspieler - oblivious ADV - zu beweisen. Angenommen Behauptung ist falsch. Dann hat ALG einen kompetitiven Faktor  $c' < c$ , d.h. es gibt  $A > 0$  mit:

$$\forall \sigma : E_\omega(\text{ALG}(\sigma)) \leq c' \cdot \text{OPT}(\sigma) + A$$

$$\Rightarrow \forall n : E_\omega(\text{ALG}(\sigma^n)) \leq c' \cdot \text{OPT}(\sigma^n) + A$$

$$\Rightarrow \forall n : E_{j^n} (E_\omega(\text{ALG}_\omega(\sigma_j^n))) \leq c' \cdot \underbrace{E_{j^n}(\text{OPT}(\sigma_j^n))}_{\nearrow \infty \text{ für Folgen } n^t}$$

$$\Rightarrow E_{j^n} (E_\omega(\text{ALG}_\omega(\sigma_j^n))) = E_\omega (E_{j^n}(\text{ALG}_\omega(\sigma_j^n)))$$

$$\geq \inf_\omega E_{j^n}(\text{ALG}(\sigma_j^n))$$

$$\Rightarrow \forall t \geq t_0 : \frac{\inf_\omega E_{j^{n_t}}(\text{ALG}(\sigma_j^{n_t}))}{E_{j^{n_t}}(\text{OPT}(\sigma_j^{n_t}))} \leq c' + \underbrace{\frac{A}{E_{j^{n_t}}(\text{OPT}(\sigma_j^{n_t}))}}_{\rightarrow \infty} \leq c' + \frac{c-c'}{2} < c \text{ Wider-}$$

spruch!  $\square$

## 5 Metrische Task-Systeme

(Borodin, Winial, Sahs '87)

### 5.1 Einführung

**Beispiel:** Eiscreme-Herstellung

	Sorten	Kosten
per Maschine:	Vanille	1
	Schokolade	2

	Sorten	Kosten
per Hand:	Vanille	2
	Schokolade	4

Sortenwechsel in Maschine: 1

Umstellung Maschine-Hand: 2

Darstellung der Situation durch Zustände: (Siehe Abbildung 49 auf der nächsten Seite)

- Man muss Anforderungen (Tasks) erledigen.
- Wie teuer die Erledigung einer Aufgabe  $r$  ist, hängt vom aktuellen Zustand ab.
- Zustandswechsel verursacht Kosten.



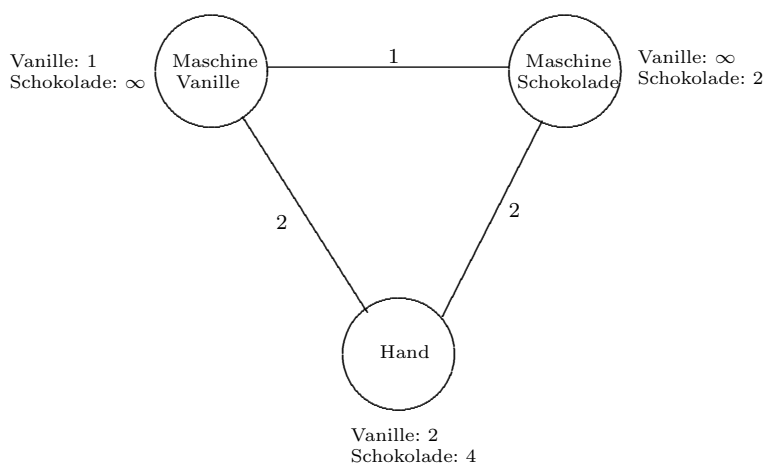


Abbildung 49: Eiscreme Herstellung

**Definition 5.1.1** *Metrisches Task-System:* Paar  $(M, R)$  mit  $M = (M, d)$  *Metrischer Raum.*

*Metrischer Raum:* Grundmenge  $M$ ;  $d : M \times M \rightarrow \mathbb{R}_{\geq 0}$  mit:

- $d(s, t) = 0 \Leftrightarrow s = t$
- $d(s, t) = d(t, s)$  *Symmetrie.*
- $d(s, t) \leq d(s, p) + d(p, t)$  *Dreiecksungleichung*

$R =$  Menge von Aufgaben  $r$  mit

$r : M \rightarrow \mathbb{R}_{\geq 0} \cup \{\infty\}$

für  $s \in M : r(s) =$  Kosten der Erledigung von Aufgabe  $r$  im Zustand  $s$

Gegeben eine Aufgabenfolge  $\sigma = r_1, r_2, \dots, r_n$  und Anfangszustand  $s_0 \in M$  Müssen Aufgaben  $r_i$  in der Reihenfolge von  $\sigma$  bearbeiten, können aber die Zustände  $s_i \in M$  wählen, in denen wir das tun.

Sei ALG ein Algorithmus für metrische Task-Systeme.

$\text{ALG}[i] =$  Zustand  $s_i \in M$ , in dem ALG Aufgabe  $r_i$  bearbeitet.

$s_0 :=$  Anfangszustand

$$\text{ALG}(\sigma) = \underbrace{\sum_{i=1}^n d(s_{i-1}, s_i)}_{\text{Übergangskosten}} + \underbrace{\sum_{i=1}^n r_i(s_i)}_{\text{Bearbeitungskosten}}$$

**Weiteres Beispiel:** Paging. Cache Größe  $k$ , Anzahl aller Datenseiten:  
 $N = \{P_1, \dots, P_n\}$

$M = \{\text{Mögliche Cache Inhalte}\} = \binom{N}{k}$

Metrik  $d : d(s_1, s_2) = \text{Anzahl der anzufordernden Seiten, um von } s_1 \text{ nach } s_2 \text{ zu gelangen} = k - |s_1 \cap s_2|$

Aufgaben: Seitenanforderungen.

Kosten der Anforderung von Seite  $r = r(s) = \begin{cases} 0, r \in s \\ \infty, \text{sonst} \end{cases}$

Hatten früher "Demand Paging" betrachtet, also Algorithmen wie FIFO, LRU, ... bei denen eine neue Seite nur dann in den Cache geladen wird, wenn sie gebraucht wird. Bei diesem Modell ist es auch erlaubt Seiten "auf Vorrat" in den Cache zu laden durch entsprechende Zustandsübergänge. Das ändert nichts, wegen:

**Lemma 5.1.3** *Sei ALG irgendein Paging Algorithmus. Dann es einen Demand Paging-Algorithmus  $ALG'$ , so dass gilt:  $\forall \sigma : ALG'(\sigma) \leq ALG(\sigma)$  ( $\checkmark$ )*

**Noch ein Beispiel:** Selbstanordnende Listen

Sei ALG ein Listenalgorithmus, der

- Erst kostenpflichtige Vertauschungen ausführt.
- Dann erst auf das verlangte Listenelement zugreift.

Modellierung von ALG als metrisches Task-System  $M = \{\text{Permutation } \pi \text{ der l-Listenelemente}\}$

Metrik:  $d(\pi_1, \pi_2) = \text{kleinste Anzahl Vertauschungen benachbarter Elemente, um von } \pi_1 \text{ nach } \pi_2 \text{ zu kommen.}$

Kosten bei Zugriff auf Element  $r : r(\pi) = \text{Position von } r \text{ in Permutation } \pi.$

## 5.2 Stetige Task-Systeme

Bisher: Diskrete Sicht: Jede Aufgabe  $r_i$  wird in einem einzigen Zustand erledigt.

Jetzt: "Stetige" Sicht: Man darf während der Erledigung einer Aufgabe  $r$  den Zustand wechseln.

**Modell:**

- Zur Erledigung von Aufgabe  $r_i$  steht das Zeitintervall  $[i, i + 1)$  zur Verfügung.
- ALG kann in diesem Zeitintervall beliebig viele (endlich viele) Zustände annehmen.

ALG :  $[i, i + 1) \rightarrow M$   
 $t \rightarrow \text{ALG}[t] = \text{der Zustand von ALG im Zeitpunkt } t$

Bearbeitungskosten  $r_i : \int_i^{i+1} r_i(\text{ALG}[t]) dt = \sum_s \gamma_s r_i(s)$

Wobei  $s$  diejenigen Zustände durchläuft, die im Zeitintervall  $[i, i + 1)$  angenommen werden und  $\gamma_s$  den Zeitanteil vom Zeitintervall  $[i, i + 1)$  bezeichnet, für den ALG im Zustand  $s$  ist.

**Klar:** Stetige Algorithmen können nicht kleinere Kosten erzielen als diskrete Algorithmen. Sei ALG stetig und  $\sigma = r_1, r_2, \dots, r_n$ . Für jedes  $r_i$  sei  $s_i$  derjenige im Intervall  $[i, i + 1)$  angenommene Zustand  $s$ , in dem  $r_i(s)$  am kleinsten ist.

ALG' = der diskrete Algorithmus der  $r_i$  komplett im Zustand  $s_i$  erledigt.

Klar: Bewegungskosten von ALG' sind  $\leq$  denen von ALG.

Bearbeitungskosten ebenso, denn  $r_i(s_i) = \text{Kosten von ALG}' = \sum_s \gamma_s \underbrace{r_i(s_i)}_{\text{minimal}} \leq$

$\sum_s \gamma_s \cdot r_i(s) = \text{Kosten von ALG}$ .

### 5.3 Traversierungsalgorithmen

**Beispiel:** Ski Rental Problem. Anfänger fährt in Winterurlaub. Will an guten Tagen Ski laufen.

**Problem:** Tag gut: SKI mieten  $m$  pro Tag  
 SKI kaufen  $K$  einmalig

Modellierung als Metrisches Task-System (Siehe Abbildung 50)

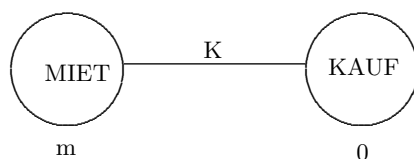


Abbildung 50: Skilaufen

**30.06.03** Ohne Einschränkung:  $\frac{K}{m} \in \mathbb{N}$

**Problem:** Gegeben durch Anzahl der Schneetage.

**Algorithmen:** Kauf am  $t$ -ten Schneetag.

Algorithmus RENT: Miete bis akkumulierte Mietkosten = Kaufpreis, dann wird gekauft.

$\Rightarrow$  d.h.  $t = \frac{K}{m} + 1$   $\left. \begin{array}{l} 1) \text{ RENT ist 2-kompetitiv} \\ 2) \text{ Besser gehts nicht} \end{array} \right\} \ddot{U}$

**Frage:** Lässt Algorithmus RENT sich verallgemeinern? Betrachte zunächst ein Metrisches Task-System mit nur 2 Zuständen,  $s_1$  und  $s_2$ . (Siehe Abbildung 51) Ansatz für Algorithmus ALG : starte in  $s_1$  Schleife:

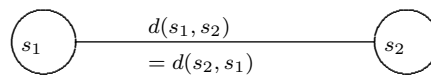


Abbildung 51: Metrisches Task-System mit 2 Zuständen

- Bleibe solange  $s_1$ , bis die dort entstandenen Bearbeitungskosten =  $d(s_1, s_2)$  sind, dann wechsele nach  $s_2$ .
- Bleibe solange  $s_2$ , bis die dort entstandenen Bearbeitungskosten =  $d(s_2, s_1)$  sind, dann wechsele nach  $s_1$ .

Dies ist ein Traversierungsalgorithmus: im Zeichen  $s_1 \rightarrow s_2 \rightarrow s_1$  (setzt Stetigkeit voraus)

**Behauptung:** Der 2-Traversierungsalgorithmus ist 4-kompetitiv.

**Beweis:** Pro Zyklus  $s_1 \rightarrow s_2 \rightarrow s_1$  entstehen dem Algorithmus Kosten  $4d(s_1, s_2)$  Kosten von OPT ?

1. Fall OPT macht mindestens einen Zustandswechsel  $\Rightarrow$  hat mindestens Kosten  $d(s_1, s_2)$ .
2. Fall OPT ständig in  $s_1 \Rightarrow$  OPT erledigt insbesondere diejenigen Aufgaben in  $s_1$ , die ALG auch in  $s_1$  erledigt  $\Rightarrow$  Kosten  $\geq d(s_1, s_2)$   $\square$

Sei  $G$  der vollständige Graph über den metrischen Raum. Sei  $T$  minimaler Spannbaum von  $G$ . Benutze  $T$  zur Definition eines Traversierungsalgorithmus ALG .

1. Fall  $T$  hat nur Knoten  $v$ , bleib in  $v$ , löse alle Aufgaben (so gut wie OPT )
2. Fall  $T$  hat mindestens eine Kante.

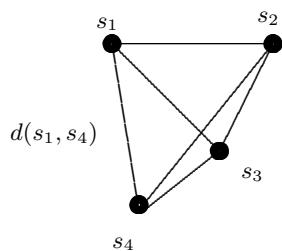


Abbildung 52: Vollständiger Graph

- 2.1 T hat nur eine Kante  $(u, v)$  ALG :  $u \rightarrow v \rightarrow u$ .
- 2.2 Mehr als eine Kante. Sei  $(u, v)$  Kante von T mit maximalen Gewicht  $w$ , wobei  $2^{M-1} < w \leq 2^M$ . Entferne  $(u, v)$  aus T  
 $\Rightarrow$  T zerfällt in Teilbäume  $T_1, T_2$  (Siehe Abbildung 53) Seien  $w_1, w_2$

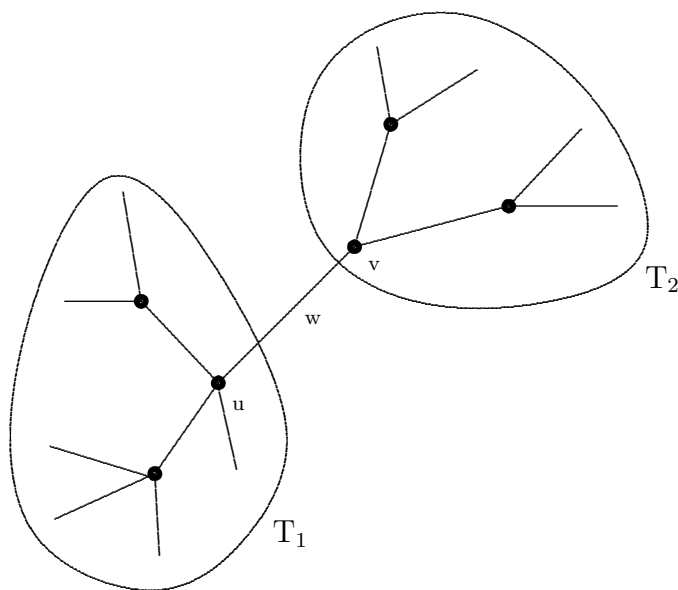


Abbildung 53: T zerfällt in 2 Teilbäume

die Kanten mit Maximalgewicht in  $T_1$  und  $T_2$  und gelte  $2^{M_i-1} < w_i \leq 2^{M_i}$  für  $i = 1, 2$ . Seien  $ALG_i$  die rekursiv definierten Algorithmen für  $T_i$ .

Definition ALG : Starte in  $u$ , führe  $2^{M-M_1}$  Durchläufe von  $ALG_1$  in  $T_1$  aus.

Gehe nach  $v$ , führe  $2^{M-M_2}$  Durchläufe von  $ALG_2$  in  $T_2$  aus.

Gehe wieder nach  $u$ .

**Theorem 5.3.2** *Traversierungsalgorithmus ALG ist  $8(N-1)$ -kompetitiv, wobei  $N = |M|$ .*

**Beweis 5.3.2:**

**Behauptung 1:** ALG hat pro Zyklus Kosten  $\leq 4(N-1)2^M$

**Behauptung 2:** OPT hat pro Zyklus Kosten  $\geq 2^{M-1}$   
 $\Rightarrow$  Theorem

**Beweis 1:**

**Behauptung 3:** Jede Kante mit Gewicht  $v$  von  $T$ , wobei  $2^{m-1} < v \leq 2^m$  wird von ALG genau  $2^{M-m}$  mal in jede Richtung durchlaufen.

**Beweis 3:** Induktion (über Anzahl der Kanten): Aus Abbildung 54  $\Rightarrow$  Be-

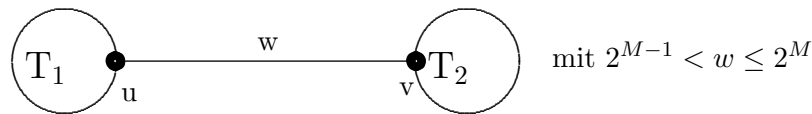


Abbildung 54: Baum  $T$

hauptung 3 für Kante  $(u, v)$  nach Definition von ALG .

Sei  $e$  eine Kante von - z.B. -  $T_1$  mit Gewicht  $v$ , wobei  $2^{m-1} < v \leq 2^m$  gilt.

$\text{IndVor}(T_1) \stackrel{\text{Beh. 3}}{\Rightarrow} 3$  Kante  $e$  wird von  $\text{ALG}_1$   $2^{M_1-m}$  mal in jede Richtung durchlaufen.

$\text{ALG}_1$  wird in  $\text{ALG}$   $2^{M-M_1}$  mal ausgeführt. (Definition ALG )

$\Rightarrow$  Kante  $e$  wird von  $\text{ALG}$   $2^{M-M_1} \cdot 2^{M_1-m} = 2^{M-m}$  mal durchlaufen.  $\boxed{3}$

**Beweis 1:** Sei  $e$  irgendeine Kante von  $T$  mit Gewicht  $v$ ,  $2^{m-1} < v \leq 2^m$

$\stackrel{\text{Beh. 3}}{\Rightarrow} 3$   $e$  wird in jede Richtung  $2^{M-m}$  mal von  $\text{ALG}$  durchlaufen, Kosten pro Durchlauf  $= v \leq 2^m$

$\Rightarrow$  Gesamtkosten aller  $e$ -Durchläufe:  $2 \cdot 2^{M-m} \cdot 2^m = 2 \cdot 2^M$  (Hängt nicht von  $e$  ab.)

$\Rightarrow$  Gesamtübergangskosten von  $\text{ALG} = 2 \sum_{e \in T} 2^M = 2(N-1) \cdot 2^M$

$\Rightarrow$  Gesamtkosten  $\leq 2 \cdot$  Gesamtübergangskosten  $\leq 4 \cdot (N-1)2^M$   $\boxed{1}$

**Beweis 2:** Induktion über Kantenanzahl.

1. Fall Auch OPT besucht Knoten von  $T_1$  und  $T_2$ , T-Minimum Spanning Tree  
 $\Rightarrow$  Kosten des Übergangs von  $T_1$  nach  $T_2$  sind mindestens so groß wie Benutzung von  $(u, v)$ , also  $\geq 2^{M-1}$ .
2. Fall OPT bleibt in  $T_1$ 
  - 2.1  $T_1 = \{u\} \Rightarrow$  Auch ALG besucht  $u$  hat Bearbeitungskosten  $\geq d(u, v) > 2^{M-1}$   
 $\Rightarrow$  diese Kosten hat OPT ebenfalls.
  - 2.2  $T_1$  hat Kanten  $\stackrel{i.V.}{\Rightarrow}$  OPT hat in  $T_1$  Kosten  $\geq 2^{M_1-1}$  pro Zyklus von ALG<sub>1</sub>.  
ALG enthält  $2^{M-M_1}$  Durchläufe von ALG<sub>1</sub>  
 $\Rightarrow$  OPT hat in  $T_1$  insgesamt Kosten  $> 2^{M-M_1} \cdot 2^{M_1-1} = 2^{M-1}$  2  
Th

**Frage:** Wie gut ist  $8(N-1)$ -kompetitiv?

**Theorem 5.3.3** *Kein deterministischer Algorithmus für Metrische Task-Systeme kann einen kleineren Faktor als  $2N-1$  haben,  $N =$  Anzahl Zustände*

### 02.07.03

**Beweis 5.3.3:** Sei ALG ein stetiger Algorithmus für MTS mit  $N$  Zuständen. Sei  $\epsilon > 0$  beliebig. Gegenspieler "ärgert" ALG mit einer Folge von Aufgaben  $r_i, 1 \leq i \leq n$ , mit

$$r_i(s) = \begin{cases} \epsilon & \text{falls } s = \text{ALG}[i-1] \\ 0 & \text{sonst} \end{cases}$$

Angenommen ALG wechselt bei Erledigung von  $\sigma = r_1, r_2, \dots, r_n$   $k$ -mal den Zustand, nimmt die Zustände  $s_0, s_1, \dots, s_k$  an.

$$\Rightarrow \text{ALG}(\sigma_n) = \sum_{i=1}^k d(s_{i-1}, s_i) + (n-k)\epsilon$$

obere Schranke für OPT ( $\sigma_n$ ) ? Technik vom Beweis der unteren Schranke für selbstorganisierende Listen ( 2.1.5 auf Seite 12)

- Konstruiere eine Familie  $\mathcal{A}$  von  $2N-1$  verschiedenen Algorithmen.
- Konstruiere obere Schranke für die Gesamtkosten  $\sum_{B \in \mathcal{A}} B(\sigma_n)$ .
- Dann  $\text{OPT}(\sigma_n) \leq \frac{1}{2N-1} \sum_{B \in \mathcal{A}} B(\sigma_n) \leq \frac{1}{2N-1} S$

Definition der Familie  $\mathfrak{L}$ : Soll folgende Invariante erfüllen:

Zu jedem Zeitpunkt

- Ist genau ein  $B \in \mathfrak{L}$  in demselben Zustand  $s$  wie ALG .
- Sind für jeden anderen  $s' \neq s$  genau zwei Algorithmen  $B'_1, B'_2$  im Zustand  $s'$ .

(insgesamt  $2N - 1$  viele Algorithmen)

Gesamtkosten von  $\mathfrak{L}$ , angesetzt auf  $\sigma_n$

1. Fall: (tritt  $n-k$  mal auf) ALG behält seinen alten Zustand  $s = \text{ALG}[i - 1]$ . Definiere alle  $\tilde{B} \in \mathfrak{L}$  bleiben in ihren alten Zuständen. Nur ein  $B$  bezahlt (weil er im alten Zustand  $s$  von ALG ist) und zwar  $\epsilon$
2. Fall: (tritt  $k$  mal auf) ALG wechselt den Zustand von  $s$  nach  $s'$ . Definiere:  $B'_1$  wechselt Zustand von  $s'$  nach  $s$ , alle anderen  $\tilde{B} \in \mathfrak{L}$  behalten ihren Zustand  
 $\Rightarrow$  Invariante gilt wieder.  
 Bewegungskosten:  $d(s', s) = d(s, s')$   
 Bearbeitungskosten:  $B$  und  $B'$  zahlen jeder  $\epsilon$ , weil sie im Zustand  $s$  von ALG sind.

$$\text{Gesamtkosten } \mathfrak{L}(\sigma_n) = \sum_{B \in \mathfrak{L}} B(\sigma_n) \leq (n-k)\epsilon + \sum_{i=1}^k d(s_{i-1}, s_i) + 2k\epsilon = \text{ALG}(\sigma_n) + 2k\epsilon$$

<p><b>Hilfsüberlegung:</b> <math>\text{ALG}(\sigma_n) \geq \sum_{i=1}^k d(s_{i-1}, s_i) \geq k \cdot \underbrace{\min_{v, w \in M} d(v, w)}_{=1}^{37}</math></p>
--

$$\begin{aligned} \text{Gesamtkosten: } \mathfrak{L}(\sigma_n) &= \sum_{B \in \mathfrak{L}} B(\sigma_n) \leq (n-k)\epsilon + \sum_{i=1}^k d(s_{i-1}, s_i) + 2k\epsilon \\ \Rightarrow \text{OPT}(\sigma_n) &\leq \frac{(1+2\epsilon)\text{ALG}(\sigma_n)}{2N-1} (= \text{ALG}(\sigma_n) + 2k\epsilon \leq \text{ALG}(\sigma_n)(1+2\epsilon)) \\ \Rightarrow \frac{\text{ALG}(\sigma_n)}{\text{OPT}(\sigma_n)} &\geq \frac{2N-1}{1+2\epsilon}, \epsilon > 0 \text{ beliebig} \Rightarrow \text{Beh.} \end{aligned}$$

**Situation:**  $2N - 1$  untere Schranke.

Kennen  $8(N - 1)$ -kompetitiven Algorithmus

$\Rightarrow$  lineare Abhängigkeit von  $N$  ist korrekt.

<sup>37</sup>Metrischer Raum auf 1 normiert



**Frage:** Lässt sich Faktor 8 verbessern?

Ja!

**Theorem 5.3.4** *Es gibt einen  $2N - 1$  kompetitiven deterministischen Algorithmus für MTS mit  $N$  Zuständen.*

**Beweis 5.3.4:** Idee: Behalte Verhalten und die Kosten von OPT im Blick!

**Realisierung:** Arbeitsfunktionen (work functions).

**Definition:** Sei  $\sigma = r_1, \dots, r_n$  Aufgabenfolge. Für  $i \leq n$ ,  $\sigma_i = r_1, \dots, r_i$ ;  $\sigma_0 = \emptyset$

Sei  $s \in M$  Dann heißt  $w_i(s) =$  minimale Kosten aller möglichen Bearbeitungsfolgen von  $\sigma_i$  die im Anfangszustand  $s_0$  starten und in  $s$  enden, die Arbeitsfunktion der Aufgaben  $\sigma_i$ .

**Elementare Eigenschaften:**

**Lemma 5.3.5** (i)  $\text{OPT}(\sigma_i) = \min_{s \in M} w_i(s)$

(ii)  $\forall s \in M : w_{i+1}(s) = \min_{x \in M} (w_i(x) + r_{i+1}(x) + d(x, s))$  (Optimalitätsprinzip: Kann zur Berechnung von  $\text{OPT}(\sigma)$  verwendet werden - Laufzeit? Dynamische Programmierung Ü)

(iii)  $w_i(s) \leq w_{i+1}(s)$  ("weniger Aufgaben verursachen geringere Kosten")

(iv)  $w_{i+1}(s) \leq w_i(s) + r_{i+1}(s)$

**Beweis 5.3.5:** Trivial.

Definiere jetzt ALG durch Angabe der Zustände  $s_0, s_1, s_2, \dots, s_n$  mit:

ALG löst Aufgabe  $r_i$  im Zustand  $s_i$ ,  $s_{i+1} =$  Ein Zustand  $x^*$  gemäß:

**Lemma 5.3.6** *Für alle  $i$  gilt: Es gibt Zustände  $x^* \in M$  mit:*

(i)  $w_{i+1}(x) + d(s_i, x)$  nimmt Minimum in  $x^*$  an, und

(ii)  $w_{i+1}(x^*) = w_i(x^*) + r_{i+1}(x^*)$  ( $\leq$  gilt stets: 5.3.5 (iv))

**Interpretationsversuch:** Gehe von  $s_i$  in Zustand  $s_{i+1} = x^*$ , für den gilt:

(i) Die Bewegungskosten  $d(s_i, s_{i+1})$  plus Kosten einer optimalen, in  $s_{i+1}$  endenden Lösung sind möglichst klein,

(ii) Er eignet sich gut zur Lösung von  $r_{i+1}$ .

**Beweis 5.3.6:** Problem: Müssen zeigen, dass solche Zustände  $x^*$  wirklich existieren.

Sei  $z \in M$  ein Minimum der Funktion:

$$x \rightarrow w_{i+1}(x) + d(s_i, x)$$

Sei  $x^*$  (in Lemma 5.3.5 (ii)) so gewählt, dass

$w_{i+1}(z) = w_i(x^*) + r_{i+1}(x^*) + d(x^*, z)$  (d.h. Minimum für  $s = z$  wird in  $x = x^*$  angenommen)

$$\Rightarrow w_i(x^*) + r_{i+1}(x^*) + d(s_i, x^*) = w_{i+1}(z) + \underbrace{d(s_i, x^*) - d(x^*, z)}_{\leq d(s_i, z) \triangleq \neq}$$

$$\Rightarrow w_{i+1}(x^*) + d(s_i, x^*) \stackrel{5.3.5 \text{ (iv)}}{\leq} w_i(x^*) + r_{i+1}(x^*) + d(s_i, x^*)$$

$$\leq w_{i+1}(z) + d(s_i, z) (*)$$

$\Rightarrow$  Funktion  $x \rightarrow w_{i+1}(x) + d(s_i, x)$  nimmt auch in  $x^*$  ihr Minimum an und in (\*) gilt Gleichheit.

$$\Rightarrow w_{i+1}(x^*) = w_i(x^*) + r_{i+1}(x^*)$$

Damit gezeigt:  $x^*$  hat Eigenschaften (i) und (ii) 5.3.6

### 07.07.03

**z.z.:** Mit dieser Wahl der Zustände  $s_i$  ist ALG  $2N - 1$  kompetitiv. Brauchen dazu obere Schranke für  $d(s_i, s_{i+1}) + r_{i+1}(s_{i+1}) = ALG(r_{i+1})$ .

$$w_{i+1}(s_{i+1}) + d(s_i, s_{i+1}) \stackrel{5.3.6(i)}{\leq} w_{i+1}(s_i) \quad (I)$$

$$ALG(r_{i+1}) = d(s_i, s_{i+1}) + \underbrace{r_{i+1}(s_{i+1})}_{5.3.6(ii)}$$

$$= \underbrace{d(s_i, s_{i+1}) + w_{i+1}(s_{i+1})}_{(I)} - w_i(s_{i+1})$$

$$\stackrel{(I)}{\leq} \underbrace{w_{i+1}(s_i) - w_i(s_{i+1})}_{(II)}$$

**Problem:** Summe von II teleskopiert nicht!

**Trick:** Abschätzung so vergrößern, das obere Schranke teleskopiert.

$$\begin{aligned} \text{Vergrößerung: } & w_{i+1}(s_i) - w_i(s_{i+1}) \\ \leq & w_{i+1}(s_i) - w_i(s_{i+1}) + \underbrace{w_{i+1}(s_i) - w_i(s_i)}_{>0.5.3.5,(iii)} \end{aligned}$$

$$\begin{aligned}
 &+ \underbrace{w_{i+1}(s_{i+1}) - w_i(s_{i+1})}_{>0.5.3.5,(iii)} + 2 \underbrace{\sum_{s \neq s_i, s_{i+1}} (w_{i+1}(s) - w_i(s))}_{>0.5.3.5,(iii)} \\
 &= \underbrace{\left( 2 \sum_{s \neq s_{i+1}} (w_{i+1}(s)) + w_{i+1}(s_{i+1}) \right)}_{B_{i+1}} - \underbrace{\left( 2 \sum_{s \neq s_i} (w_i(s)) + w_i(s_i) \right)}_{B_i}
 \end{aligned}$$

**Jetzt:**  $\text{ALG}(\sigma_i) = \sum_{j=1}^i \text{ALG}(r_j)$

$$\leq \sum_{j=1}^i (B_j - B_{j-1}) = B_i - \underbrace{B_0}_{\geq 0}$$

$$B_i = 2 \underbrace{\sum_{s \neq s_i} (w_i(s))}_{N-1 \text{ Summanden}} + w_i(s_i)$$

$$= (2(N-1) + 1) \cdot \underbrace{\left( \overbrace{\min_{x \in M} w_i(x)}^{\text{OPT}(\sigma_i)} + \overbrace{\max_{(s,s')} d(s, s')}^{\text{Durchmesser } \Delta \text{ von } (M,d)} \right)}_{\geq w_i(s')}$$

**Damit:**  $\forall i : \text{ALG}(\sigma_i) \leq (2N-1)\text{OPT}(\sigma_i) + \underbrace{(2N-1)\Delta}_{\text{abhängig von Zustandszahl und Durchmesser von } (M,d)}$

5.3.4

## 5.4 Randomisierte Algorithmen

Naheliegende Frage: Beim Paging hat uns Randomisierung von  $k$  zu  $H_k \sim \log_k$  verholfen. Geht das auch hier?

**Antworten:**

1. Ja, falls  $(M, d)$  uniform, d.h.  $\forall s \neq s' \in M d(s, s') = 1$
2. Ob das für beliebige Metrische Räume mit  $N$  Zuständen geht, ist offen.
3. Man kann aber stets  $O\left(\frac{(\log N)^6}{\log \log N}\right)$  schaffen.

**Theorem 5.4.1** *Es gibt einen randomisierten Algorithmus für uniforme metrische Task-Systeme, der gegen vergessliche Gegner  $2H_n$ -kompetitiv ist. ( $H_n = 1 + \frac{1}{2} + \frac{1}{3} + \dots + \frac{1}{n}$ )*

**Beweis 5.4.1:** Betrachte stetige Algorithmen, bei denen auch vor Beendigung einer Aufgabe ein Zustandswechsel möglich ist. Definiere Zeitintervalle

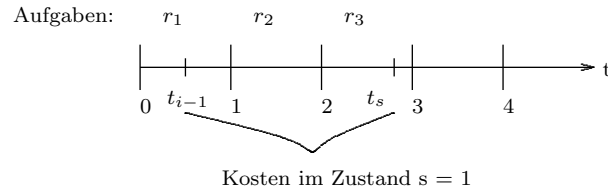


Abbildung 55: Aufteilung in Phasen

$[t_{i-1}, t_i)$  wie folgt:  $t_0 = 0$ . Wenn  $t_{i-1}$  schon definiert ist: Für jeden Zustand

$s \in M$  sei  $t_s$  derjenige Zeitpunkt mit:  
Hätte man alle Aufgaben ab  $t_{i-1}$  im Zustand  $s$  erledigt, wären Bearbeitungskosten jetzt = 1. Setze  $t_i = \max_{s \in M} t_s$ .

(“Grosses  $t_s$  = billiger Zustand  $s$ “)

**Beachte:**

- $t_s$  ist von  $t_{i-1}$  abhängig, man sollte  $t_s = t_s^{i-1}$  schreiben.
- Bis jetzt hängen Definitionen von  $[t_{i-1}, t_i)$  nur von MTS und der Aufgabenfolge  $r_1, r_2, \dots$  ab.

Definiere jetzt randomisierten Algorithmus ALG durch sein Verhalten in Phase  $[t_{i-1}, t_i)$  wie folgt:

$t = t_{i-1}$

Solange es noch  $s \in M$  gilt mit  $t < t_s$ .

Wähle zufällig ein solches  $s$  aus und gehe nach  $s$ ;

$t_i = t$

Beweis der Kompetitivität von ALG :

**Bemerkung:** Nur im ersten Zustand einer Phase entstehen Bearbeitungskosten = 1, sonst weniger, da Bearbeitung ja erst nach  $t_{i-1}$  beginnt.

$\Rightarrow$  hat in jedem angenommenen Zustand Bearbeitungskosten  $\leq 1$ , Übergangskosten pro Zustandswechsel = 1

$\Rightarrow$  Gesamtkosten von ALG pro Phase  $\leq 2 \cdot$  Anzahl der Zustandswechsel. Erwartungswert?

Sei  $X_n =$  Anzahl der Zustandswechsel bei  $N$  Zuständen. Betrachte die sortierten Werte  $t_s, s \in M$  Angenommen, der erste in Phase  $i$  gewählte Zustand ist derjenige mit dem  $k$ -kleinsten  $t_s$  Wert.

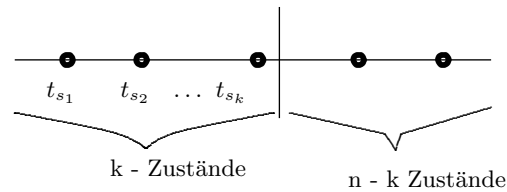


Abbildung 56: Phasen bei ALG

$X_n = 1 + X_{N-k}$  Jede Wahl des ersten Zustands ist gleich wahrscheinlich.

$$\Rightarrow E(X_n) = \frac{1}{N} \sum_{k=1}^N (1 + E(X_{N-k}))$$

$$= 1 + \frac{1}{N} \sum_{j=0}^{N-1} E(X_j)$$

**Trick:**  
Historie loswerden

$$N \cdot E(X_n) - (N-1)E(X_{n-1}) = N + \sum_{j=0}^{N-1} E(X_j) - (N-1) \sum_{j=0}^{N-2} E(X_j)$$

$$= 1 + E(X_{n-1})$$

$$\Rightarrow N(E(X_n) - E(X_{n-1})) = 1$$

$$\Rightarrow E(X_n) = \frac{1}{N} + E(X_{n-1}) \Rightarrow E(X_n) = H_n$$

$\Rightarrow$  Pro Phase ALG hat erwartete Kosten  $\leq 2 \cdot H_n$ , OPT hat pro Phase Kosten  $\geq 1$   $\square$

Zu (3) (Randomisierung in allgemeinen metrischen Räumen)

**Idee:** Bette gegebenen metrischen Raum  $(M, d)$  in einen andern  $(M, d')$  so ein, dass gilt:

$$\forall s, t \in M : d(s, t) \leq D \cdot d'(s, t)$$

Falls ein  $c$ -kompetitiver ALG für  $(M, d')$  existiert, so hat man  $c \cdot D$ -kompetitiven Algorithmus in  $(M, d)$ .

## 6 Das k-Server-Problem

Beispiel: ADAC Pannenhelfer (Siehe Abbildung 57 auf der nächsten Seite)  
Minimiere die Gesamtfahrtkosten? Tuts Greedy?

09.07.03

### 6.1 Grundlagen

Gegeben:  $M = (M, d)$ , metrischer Raum.  $k$  Server, die an Punkten von  $M$  stehen. Anforderung im Punkt  $r$  wird dadurch bedient, dass einer der  $k$ -

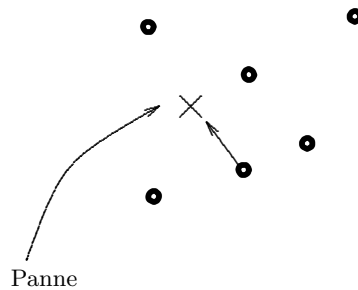


Abbildung 57: ADAC Pannenhelfer

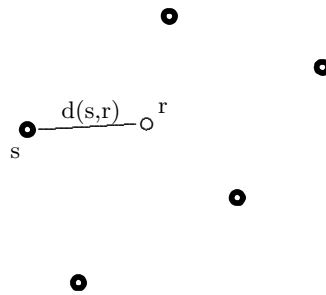


Abbildung 58: Anforderungen beim k-Server-Modell

Server nach  $r$  geht. Falls dieser vorher in  $s$  war: (Übergangs-)kosten  $d(s, r)$ . (Siehe Abbildung 58)

$\sigma = r_1, r_2, \dots, r_n$  mit  $r_i \in M$  Anforderungsfolge.

Beim Eintreffen von Anforderung  $r_i$ :

- Falls schon ein Server in  $r_i$  steht: NOP.
- Sonst entscheide, welcher der  $k$ -Server nach  $r_i$  bewegt wird.

**Ziel:** Gesamtkosten (nur Übergangskosten) zu minimieren.

**Lemma 6.1.1** *Man darf faul sein und Server nur dann an einen neuen Ort bewegen, wenn dort Anforderung vorliegt.*

**Beweis 6.1.1:** Sei ALG ein  $k$ -Server, der "vorweilend" Server bewegt. Konstruiere einen faulen ALG' folgendermaßen:

ALG' merkt sich für jeden der  $k$  Server alle Züge, die ALG mit diesem Server macht in der richtigen Reihenfolge. Er führt diese Züge (bzw. nur den Zug

an den letzten Standort) erst aus, wenn dort tatsächlich eine Anforderung ist.

$$\Rightarrow \forall \sigma : \text{ALG}'(\sigma) \leq \text{ALG}(\sigma)$$

Ähnlichkeit zu Lemma 5.1.3 auf Seite 66 (Demand Paging) nicht zufällig, denn:

Paging ist ein Spezialfall des  $k$ -Server-Problems.  $k$  Server  $\Leftrightarrow k$  Slots im Cache.

Punkte in  $M \Leftrightarrow$  insgesamt vorhandene Anfrageseiten.

Server  $i$  bewegt sich von  $s$  nach  $t \Leftrightarrow$  In Slot  $i$  wird Seite  $s$  durch Seite  $t$  ersetzt.

$d \Leftrightarrow$  Einheitsmaß.

**Zweite Anwendung:** Festplatte mit  $k$  Köpfen (Siehe Abbildung 59) ist  $k$ -Server-Problem auf einer Geraden.

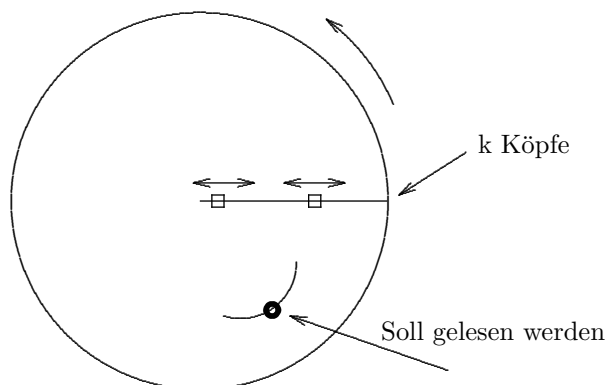


Abbildung 59: Festplatte mit  $k$  Köpfen

**Lemma 6.1.2** *Das  $k$ -Server-Problem endlicher metrischer Räume ist ein Spezialfall metrischer Task-Systeme.*

**Beweis 6.1.2:** Sei  $(M, d)$  der metrische Raum in dem die  $k$ -Server leben.

Konstruiere  $(\tilde{M}, \tilde{d})$  für ein metrisches Task-System folgendermassen:

$\tilde{M} = \binom{M}{k} = \{S \subset M, |S| = k\}$  mögliche Serverpositionen.

Für Teilmengen  $S, T$  von  $M$  mit je  $k$  Elementen:  $\tilde{d}(S, T) =$  Gewicht eines minimalen Matching von  $S$  und  $T$ . (Siehe Abbildung 60 auf der nächsten Seite) = Überführungskosten der  $k$ -Server von  $S$  nach  $T$ . Aufgabenfunktion:

Für  $p \in M$  (Aufgabe):

$$p(S) = \begin{cases} 0 & , p \in S \\ \infty & , \text{sonst} \end{cases}$$

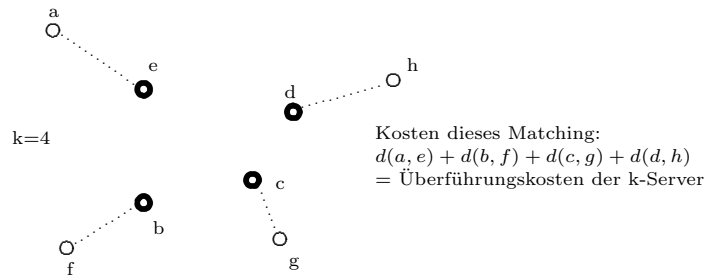


Abbildung 60: Minimales Matching

**Folgerung:** Aus Lemma 6.1.2 auf der vorherigen Seite und Theorem 5.3.4 auf Seite 73 folgt: Das  $k$ -Server-Problem in einem beliebigen metrischen Raum mit  $m = |M|$  Punkten lässt sich  $(2^{\binom{m}{k}} - 1)$ -kompetitiv lösen. Frage: Geht das besser?

**Lemma 6.1.3** *Schon für 2 Server auf euklidischen Liniensegment ist der Greedy-Algorithmus nicht kompetitiv.*

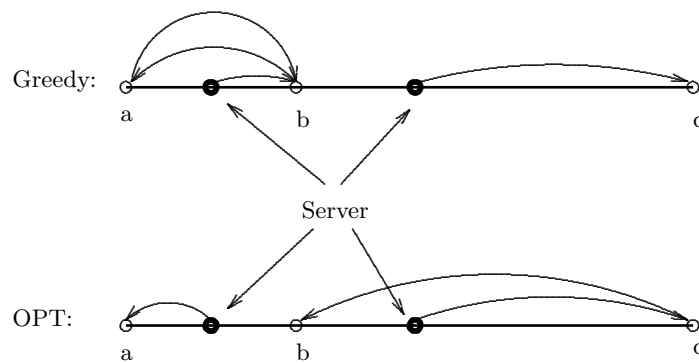


Abbildung 61: Verhalten von Greedy und OPT

**Beweis 6.1.3:** Aufgabenfolge  $\sigma = c(ba)^m$

Kosten der Algorithmen: (Siehe Abbildung 61) Greedy( $\sigma$ )  $\geq 2(m+1)d(a, b)$   
 OPT( $\sigma$ )  $\leq d(a, c) + d(b, c)$   $\square$

## 6.2 Untere Schranke

Betrachte Modell, in dem ALG über  $k$  Server verfügt, OPT nur über  $h \leq k$  Server verfügt. (wie beim Paging).



**Theorem 6.2.1** Sei  $h \leq k$  und  $(M, d)$  ein beliebiger metrischer Raum mit  $|M| \geq k + 1$ . Dann gibt es keinen Algorithmus für das  $(k, h)$ -Server Problem mit kompetitiven Faktor  $c < \frac{k}{k-h+1}$

**Beweis 6.2.1:** Sei ALG ein fauler  $k$ -Server Algorithmus: Sei  $M'$  Teilraum von  $M$  mit genau  $k + 1$  Punkten.

$\Rightarrow$  Ein Punkt ist immer unbesetzt.

Der böse Gegner generiert die nächste Anforderung stets am unbesetzten Punkt.

$\rightarrow$  Anforderungsfolge  $\sigma = r_1, r_2, r_3, \dots, r_n$

ALG bedient  $r_i$  mit dem Server, jetzt noch in  $r_{i+1}$  steht (denn  $r_{i+1}$  ist der nächste freie Punkt)

$\Rightarrow$  Kosten ALG ( $r_i$ ) =  $d(r_{i+1}, r_i) = d(r_i, r_{i+1})$

ALG( $\sigma$ ) =  $\sum_{i=1}^{n-1} d(r_i, r_{i+1})$

OPT( $\sigma$ )  $\leq$  ? Alter Trick: Mittelwertbildung:  $r_1 =$  der Anfangs unbesetzte Punkt von  $M'$ . Betrachte alle  $h$ -elementigen Teilmengen  $S$  von  $M'$ , die  $r_1$  enthalten:  $\binom{k}{h-1}$  viele. Für jedes dieser  $S$  definiere einen  $k$ -Server-Algorithmus  $B_S$  folgendermaßen:

- Zu Beginn sind alle Server in den Punkten von  $S$  ( $\Rightarrow r_1$  ist abgedeckt)
- bei Anforderung  $r_i$ :
  - Falls bei  $r_i$  einer der  $h$ -Server steht: NOP.
  - Sonst ziehe den Server  $r_{i-1}$  (dort steht einer) nach  $r_i$

**Behauptung 1:** Sei  $S \neq T$ . Dann belegen  $B_S$  und  $B_T$  zu jedem Zeitpunkt unterschiedliche Mengen mit ihren Servern.

**Beweis 1:** Seien  $S^i, T^i$  die von  $B_S$  und  $B_T$  nach Bearbeitung von  $r_i$  belegten Serverpositionen. Zeige:  $\forall i : S^i \neq T^i$ .

$i = 0 : S^i = S \neq T = T^i \checkmark$

Gelte  $S^{i-1} \neq T^{i-1}$

1. Fall:  $r_i \in S^{i-1} \cap T^{i-1}$  Beide Algorithmen  $B_S$  und  $B_T$  lassen ihre Server stehen  
 $\Rightarrow S^i = S^{i-1} \neq T^{i-1} = T^i$
2. Fall:  $r_i \in S^{i-1}, \notin T^{i-1} \Rightarrow B_S$  lässt Server in  $r_{i-1}$  stehen  $\Rightarrow r_{i-1} \in S^i$   
 $B_T$  zieht von  $r_{i-1}$  nach  $r_i \Rightarrow r_{i-1} \notin T^i$

$$\begin{aligned}
3. \text{ Fall: } r_i &\notin S^{i-1}, \notin T^{i-1} \\
&\Rightarrow S^{i-1} \neq T^{i-1} \Rightarrow S^{i-1} - \{r_{i-1}\} \neq T^{i-1} - \{r_{i-1}\} \\
&\Rightarrow \underbrace{S^{i-1} - \{r_{i-1}\} + \{r_i\}}_{S^i} \neq \underbrace{T^{i-1} - \{r_{i-1}\} + \{r_i\}}_{T^i}
\end{aligned}$$

1

Gesamtkosten aller  $B_S$  bei Bearbeitung von  $\sigma$ :

- Aus Behauptung 1  $\Rightarrow$  nach jeder Anforderung  $r_{i-1}$  sind genau  $\binom{k}{h-1}$  viele verschiedene  $h$ -elementigen Teilmengen von  $M'$  durch  $B_S$  belegt.
- Jedes  $S^{i-1}$  enthält  $r_{i-1}$  (nach Def. der  $B_S$ ).
- Genau diejenigen  $B_S$  müssen bei Anforderung  $r_i$  bezahlten.
  - und zwar  $d(r_{i-1}, r_i)$  deren Menge  $S^{i-1}$  den Punkt  $r_i$  nicht enthält.
- Das sind  $\binom{k-1}{h-1}$  viele der insgesamt  $\binom{k}{h-1}$  Algorithmen.

$$\Rightarrow \text{Gesamtkosten der Bearbeitung von } r_i : \binom{k-1}{h-1} d(r_{i-1}, r_i)$$

$$\Rightarrow \text{Gesamtkosten der Bearbeitung von } \sigma : \binom{k-1}{h-1} \cdot \underbrace{\sum_{i=1}^n d(r_{i-1}, r_i)}_{=\text{ALG}(\sigma)} (*)$$

**Jetzt alter Trick:**  $\text{OPT}(\sigma) \leq \min_S B_S(\sigma)$

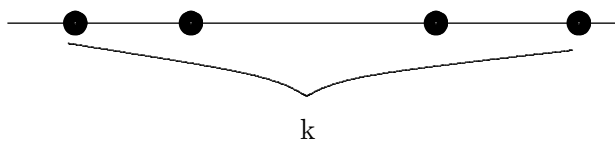
$$\begin{aligned}
&\leq \frac{1}{\binom{k}{h-1}} \sum_S B_S(\sigma) \\
&\stackrel{*}{=} \frac{\binom{k-1}{h-1}}{\binom{k}{h-1}} \text{ALG}(\sigma) = \frac{(k-1)! \cdot (h-1)! \cdot (k-h+1)!}{(h-1)! \cdot (k-h)! \cdot k!} \text{ALG}(\sigma) = \frac{k-h+1}{k} \text{ALG}(\sigma) \\
&\Rightarrow \frac{\text{ALG}(\sigma)}{\text{OPT}(\sigma)} \geq \frac{k}{k-h+1} \quad \square
\end{aligned}$$

**Korollar 6.2.2**  $(h, k)$ -Paging hat die Komplexität  $\frac{k}{k-h+1}$  (nur gezeigt für  $h = k$ )

Für  $h = k$  sagt Theorem 6.2.1 auf der vorherigen Seite:  $k$  ist untere Schranke für  $k$ -Server Problem.

**Frage:** Gibt es allgemeine  $k$ -kompetitive Algorithmen? Offen!

**14.07.03** Wollen jetzt zunächst Spezialfälle betrachten.

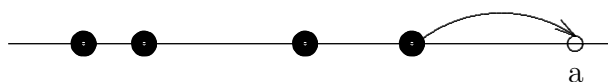
Abbildung 62:  $k$  Server auf euklidischer Gerade

### 6.3 $k$ Server auf Bäumen

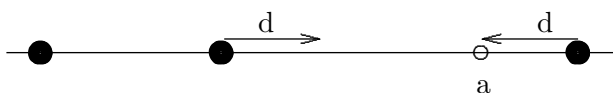
**Zunächst:**  $k$ -Server auf euklidischer Gerade. (Siehe Abbildung 62) Schon gesehen: Greedy tut's nicht (Siehe Abbildung 61 auf Seite 80)

**Besser:** Double Coverage (DC)

1. Fall: Anforderungspunkt  $a$  liegt "ausserhalb", gehe mit nächst gelegenem Server zu  $a$ . (Siehe Abbildung 63)

Abbildung 63: Anforderungspunkt  $a$  ausserhalb

2. Fall: Anforderungspunkt  $a$  liegt "innerhalb", bewege die beiden zu  $a$  benachbarten Server gleichschnell auf  $a$  zu, bis der erste dort ankommt. (Siehe Abbildung 64)

Abbildung 64: Anforderungspunkt  $a$  innerhalb

**Klar:**

- DC ist nicht lazy. (lässt sich lazyfizieren, ohne Kosten zu erhöhen)
- Kann vorkommen, dass mehrere Server am gleichen Ort stehen.

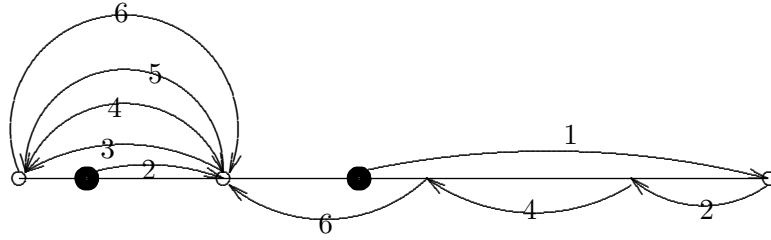


Abbildung 65: DC bei Greedy's Altraum

**Beispiel:** (Greedy's Altraum) (Siehe Abbildung 65) Nach endlich vielen Schritten (abhängig von  $\frac{d(b,c)}{d(a,b)}$ ) endet der rechte Server in b

**Theorem 6.3.1** DC ist  $k$ -kompetitiv, also optimal<sup>38</sup>

**Lemma 6.3.2 (event-gesteuerte Online-Analyse)** Ein deterministischer ALG spielt gegen OPT. Den aktuellen Zuständen von ALG und OPT seien durch:

$$\Phi : Z_{\text{ALG}} \times Z_{\text{OPT}} \rightarrow \mathbb{R}$$

Werte zugeordnet (= "Potential")

(z.B. Anzahl der Inversionen beim Listenproblem)

ALG und OPT machen (vielleicht abwechselnd) Züge, die mit Kosten  $\geq 0$  verbunden sind.

Sei  $\sigma = e_1, \dots, e_n$  die gesamte Zugfolge. Es gelte:

(i)  $e_i$  Zug von ALG : Potential fällt mindestens um  $\text{ALG}(e_i)$ , d.h.  $\text{ALG}(e_i) \leq \Phi_{i-1} - \Phi_i = \Delta\Phi$

(ii)  $e_i$  Zug von OPT : Potential steigt höchstens um  $c \cdot \text{OPT}(e_i)$ , d.h.  $\text{OPT}(e_i) \geq \frac{\Phi_i - \Phi_{i-1}}{c}$  oder  $\Delta\Phi \leq c \cdot \text{OPT}(e_i)$

(iii)  $\Phi_i \geq U$  für Konstante  $U$  und alle  $i$ .

Dann ist ALG  $c$ -Kompetitiv.

**Beweis 6.3.2:** Sei  $A \subseteq \{1, 2, \dots, m\}$  die Menge der Indizes der Züge von ALG. Nach Voraussetzung  $\text{ALG}(\sigma) \leq \sum_{i \in A} (\Phi_{i-1} - \Phi_i)$  und

$$c \cdot \text{OPT}(\sigma) \geq \sum_{i \in A^c} (\Phi_i - \Phi_{i-1}).$$

<sup>38</sup>Theorem 6.2.1 auf Seite 81 gilt für beliebige metrische Räume mit mindestens  $k+1$  Punkten, also auch für Geraden

Genügt zu zeigen:  $\exists$  Konstante  $V$  mit:  $\forall n, \forall \sigma$  der Länge  $n$ :

$$\text{ALG}(\sigma) \leq \sum_{i \in A} (\Phi_{i-1} - \Phi_i) \stackrel{!}{\leq} \sum_{i \in A^c} (\Phi_i - \Phi_{i-1}) + V \leq c \cdot \text{OPT}(\sigma) + V$$

$$\Leftrightarrow \sum_{i \in A} \Phi_{i-1} + \sum_{i \in A^c} \Phi_{i-1} \stackrel{!}{\leq} \sum_{i \in A^c} \Phi_i + \sum_{i \in A} \Phi_i + V$$

$$\Leftrightarrow \Phi_0 \stackrel{!}{\leq} \Phi_n + V \quad (\Phi_0 \text{ konstant und nach (iii) } U \leq \Phi_n)$$

$$\Rightarrow \Phi_0 \leq \Phi_n + \underbrace{(\Phi_0 - U)}_{=V} \quad \boxed{6.3.2} \text{ Wollen jetzt Lemma 6.3.2 zum Beweis der}$$

$k$ -Kompetitivität von DC verwenden. Dazu Definition einer geeigneten Potentialfunktion  $\Phi$ :

$\Phi : k \cdot M_{\min} + \sum_{\text{DC}}$ , wobei:

$M_{\min}$  = Kosten eines minimalen Matchings zwischen den Servern von DC und OPT

$\sum_{\text{DC}}$  = Summe aller absoluten Abstände zwischen allen Servern von DC .

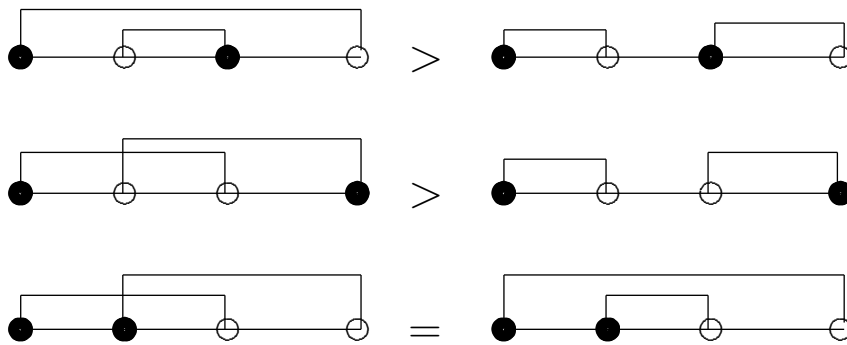


Abbildung 66: Matching "Gleichungen"

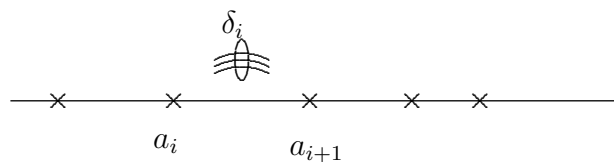


Abbildung 67: Brücken beim Matching

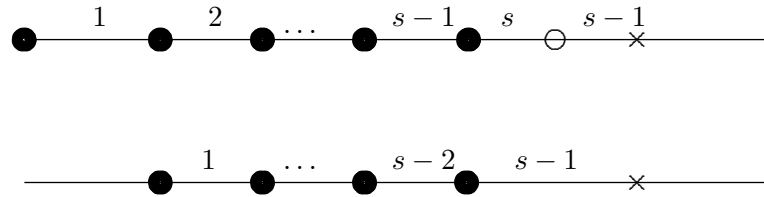


Abbildung 68: Konstruktion eines minimalen Matchings

**Einschub:** Minimales Matching auf Gerade: Klar sind folgende Gleichungen: (Siehe Abbildung 66 auf der vorherigen Seite) Es muss über  $[a_i, a_{i+1}]$  mindestens  $\delta_i$  viele "Brücken" geben. (Siehe Abbildung 67 auf der vorherigen Seite)  $\delta_i = |\#\text{Schwarz} \leq a_i - \#\text{Weiß} \leq a_i|$

$\Rightarrow$  Kosten eines beliebigen Matching  $\geq \sum_{i=1}^{2n-1} (\delta_i \cdot (a_{i+1} - a_i))$

**Behauptung:** Die untere Schranke kann (durch minimales Matching) erreicht werden.

**Beweis:** Per Induktion über  $n$ .  $n = 1 \checkmark$

$n > 1$  Betrachte den linken Punkt, oBdA ist er schwarz. Matche diesen schwarzen Punkt auf den linken Weißen (Siehe Abbildung 68) und entferne die Punkte.  $\checkmark$

Müssen zeigen, dass  $\Phi$  die Eigenschaften (i) bis (iii) von Lemma 6.3.2 erfüllt.

(iii):  $\Phi > 0$

(ii): OPT zieht immer vor DC und OPT ist lazy. Angenommen OPT zieht einen Server um Abstand  $d$  zu neuen Anfrageort.

$\Rightarrow \sum_{\text{DC}}$  ändert sich nicht,  $M_{\min}$  wächst um höchstens  $d$

$\Rightarrow \Delta\Phi \leq k \cdot d$

(i)

1. Fall DC bewegt nur einen (und zwar den äußersten) Server. (Siehe Abbildung 69)  $\sum_{\text{DC}}$  wächst um  $(k-1) \cdot d$ ,  $M_{\min}$  fällt um mindestens  $d$

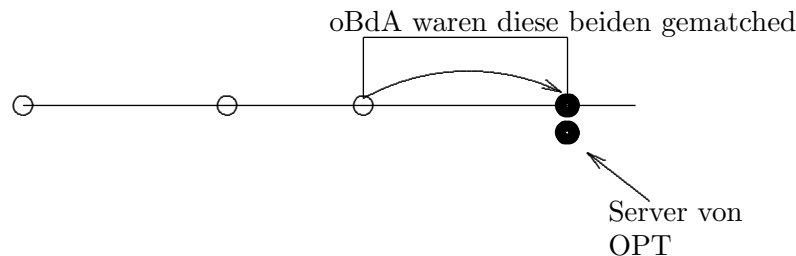


Abbildung 69: DC zieht nur einen Server

$$\Rightarrow \Delta\Phi \leq -d$$

2. Fall DC bewegt 2 Server um jeweils Abstand  $d$ . (Siehe Abbildung 70) In

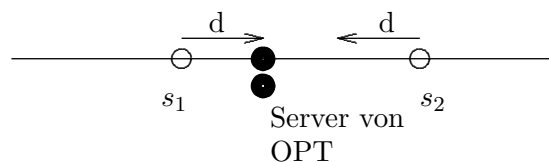


Abbildung 70: DC zieht 2 Server

$\sum_{DC} : \forall s \neq s_1, s_2 : |s_1 - s| + |s_2 - s|$  bleibt konstant,  $|s_1 - s_2|$  sinkt um  $2d$ .

Sei  $M_{\min}$  das alte minimale Matching.  $s_1$  und  $s_2$  können nicht beide zu Partnern ausserhalb gematched sein (Siehe Abbildung 71).

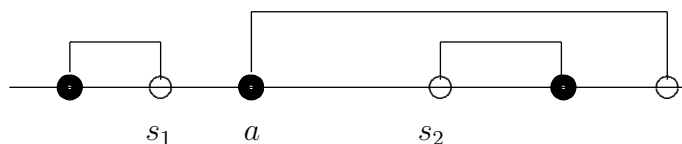


Abbildung 71: Nicht minimales Matching

$\Rightarrow$  einer von beiden muss vorher auf  $a$  gematched gewesen sein, dieser kommt näher, aber der andere entfernt sich von seinem alten Partner  $\Rightarrow M_{\min}$  wächst nicht  $\Rightarrow \Phi$  fällt mindestens um  $2d = \text{Kosten ALG}$ .  $\square$ .

### 16.07.03

**Verallgemeinerung:** T Baum. DC-Tree: Bewege alle zu  $a$  unmittelbar benachbarten Server gleichschnell auf  $a$  zu, bis der erste dort ankommt. (Siehe Abbildung 72 auf der nächsten Seite).

- DC-TREE kann mehrere Server gleichzeitig ziehen.
- Anzahl kann sich zur Laufzeit ändern.

**Klar:** DC-TREE ist Verallgemeinerung von DC. (Siehe Abbildung 73 auf der nächsten Seite)

**Theorem 6.3.5** DC-TREE ist  $k$ -kompetitiv. (Optimal)

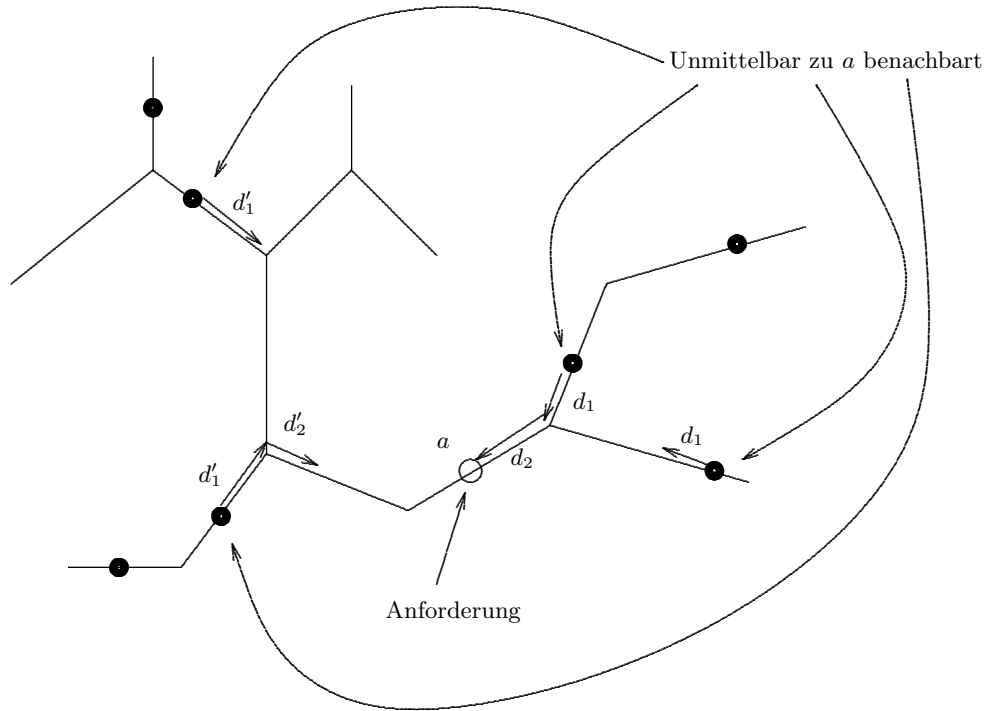


Abbildung 72: Baum T mit Servern



Abbildung 73: DC-TREE auf Gerade

**Beweis 6.3.5:** Ähnlich wie bei DC, mit Lemma 6.3.2 auf Seite 84. Potentialfunktion:  $\Phi = k \cdot M_{\min} + \sum_{\text{DC-TREE}}$ , wobei  $M_{\min}$  = Kosten eines minimalen Matchings der DC-TREE Server auf die OPT Server ist und  $\sum_{\text{DC-TREE}} = \sum_{s_i, s_j \text{ Server von DC-TREE}, i < j} |s_i - s_j|$  (Entlang des Baums)

Betrachte Zug von OPT, lazy: 1 Server wird um Abstand  $d$  bewegt:

$\Rightarrow \sum_{\text{DC-TREE}}$  bleibt fest,

$M_{\min}$  kann höchstens um  $d$  wachsen

$\Rightarrow \Delta\Phi \leq k \cdot d$ .

Betrachte Zug von DC-TREE, zerlege ihn in Phasen, bei denen die Anzahl der sich bewegenden Server konstant bleibt. Behandle jede Phase einzeln. Angenommen in der aktuellen Phase sind  $m$  der  $k$  Server unterwegs, alle





$$\begin{aligned}
&\Rightarrow \text{Änderung von } \Phi \text{ pro Phase (eines Zuges von von DC-TREE )} \\
&\leq \underbrace{k(m-2)d}_{\Delta M_{\min}} - \underbrace{(k-m)(m-2)d - (m-1)md}_{\Delta \Sigma_{\text{DC-TREE}}} \\
&= kmd - 2kd - kmd + 2kd + m^2d - 2md - m^2d + md = -md = -\text{DC-TREE} \\
&\text{(Phase) } \square.
\end{aligned}$$

### Anwendungen von dc-tree :

1.  $k$  Server auf Graph  $G$ .

**Ansatz:** Sei  $T$  ein minimaler Spannbaum von  $G$ . (Siehe Abbildung 76)  
Wende Algorithmus DC-TREE auf  $T$  an. Gerade gezeigt: DC-TREE ist  $k$ -kompetitiv, d.h  $\text{DC-TREE} \leq k \cdot \text{OPT-T}$ , aber OPT-G könnte auch solche Kanten von  $G$  benutzen, die nicht in  $T$  vorkommen. Sei  $e$  eine Kante

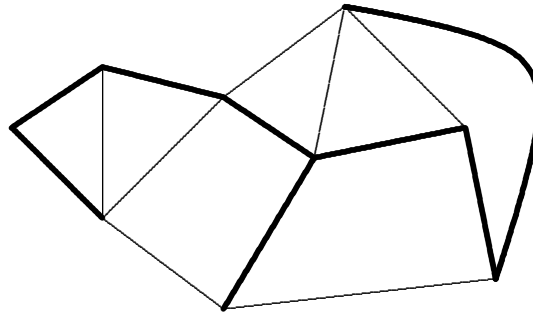


Abbildung 76: Minimaler Spannbaum

$\in G - T$ . Pfad in  $T$  von  $v$  nach  $w$ : Siehe Abbildung 77 auf der nächsten Seite.

$\Rightarrow$  Pfad hat Länge  $\leq (N-1)$  Länge von  $e$ .

$\Rightarrow$  Kosten von OPT-T  $\leq (N-1)$  Kosten von OPT-G

$\Rightarrow$  DC-TREE angewendet auf  $T$  von  $G$  ist  $(N-1)k$ -kompetitiv. (Gilt nur für Anforderungen auf Knoten, wegen Abbildung 78 auf der nächsten Seite). Besser als  $2^{\binom{N}{k}} - 1$  aus Reduktion auf metrische Tasksystem (Theorem 5.3.4 auf Seite 73).

**Trotzdem:**  $(N-1)k$  ist schwach!

2. Paging: (Abbildung 79 auf Seite 92) Ein Server geht von  $P_i$  nach  $P_j \Leftrightarrow P_i$  wird im Cache durch  $P_j$  verdrängt. Jeder  $k$  Server ALG für  $T$  ist ein Paging Algorithmus. DC-TREE entspricht Flush-When-Full.

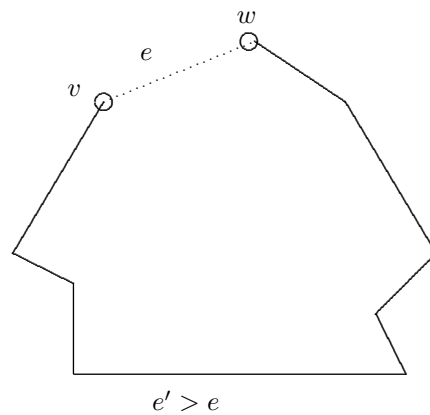
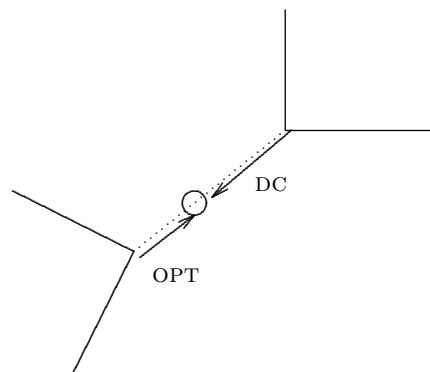
Abbildung 77: Unmöglicher pfad von  $v$  nach  $w$  in  $T$ 

Abbildung 78: Problematische Anforderungen

## 6.4 2 Server im $\mathbb{R}^d$

,  $d = 2$ , euklidische Metrik. Definiere:

$\text{slack}(x, y, r) = |xy| + |xr| - |ry| \geq 0 (\Delta \neq \emptyset)$  (Siehe Abbildung 80 auf Seite 93)  
 Algorithmus Slack-Coverage (SC). Falls die Server in  $x$  und  $y$  stehen und Anforderung bei  $r$  kommt,  $r \notin \{x, y\}$  Sei  $|xr| \leq |yr|$ :

- Bewege Server in  $y$  um  $\frac{1}{2}\text{slack}(x, y, r)$  auf  $x$  zu.
- Ziehe Server in  $x$  nach  $r$

(Siehe Abbildung 81 auf Seite 94) Angenommen  $d = 1$  (2 Server auf Gerade)

**1. Fall**  $a$  liegt "ausserhalb"  $\frac{1}{2}\text{slack}(x, y, r) = \frac{1}{2}(|xy| + |xr| - |yr|) = 0$  (Abbildung 82 auf Seite 94)

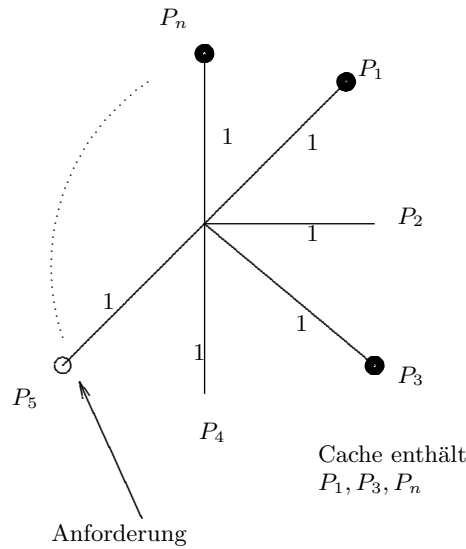


Abbildung 79: Paging Graph

**2. Fall**  $a$  liegt “innerhalb“  $\frac{1}{2}\text{slack}(x, y, r) = \frac{1}{2}(|xy| + |xr| - |yr|) = |xr|$  (Abbildung 83 auf Seite 95)

$\Rightarrow$  SC auf Gerade = DC .

**Lemma 6.4.1** Sei  $y'$  der neue Standort des Server, der vorher in  $y$  stand. Dann ist  $|y'r| \leq |yr|$

**Beweis 6.4.1:**  $\frac{1}{2}\text{slack}(x, y, r) = \frac{1}{2}(|xy| + \underbrace{|xr| - |yr|}_{\leq 0(|xr| \leq |yr|)}) \leq \frac{1}{2}|xy|$

$\Rightarrow y'$  liegt auf derselben Seite des Bisektors  $B(x, y) = \{z \in \mathbb{R}^d, |zx| = |zy|\}$  wie  $y$ , aber  $r$  liegt auf der anderen Seite.

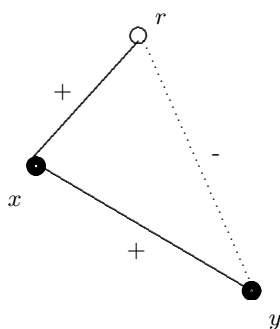
$\Rightarrow |y'r| \leq |yr|$  (benutzt Eigenschaften des Euklidischen Raums).

**Theorem 6.4.2** SC ist 3-kompetitiv.

**Beweis 6.4.2:**

- Verwendet Lemma 6.3.2 auf Seite 84.
- Potentialfunktion  $\Phi = 3 \cdot M_{\min} + |xy|$

21.07.03

Abbildung 80:  $\text{slack}(x, y, r)$ 

## 6.5 Ein $2k - 1$ kompetitiver Algorithmus für metrische Räume

**Theorem 6.5.1** (Borodin, Linial, Saks, Kortsupicas, Papadimitriou '95)

*Es gibt einen  $(2k - 1)$ -kompetitiven  $k$ -Server Algorithmus für beliebige metrische Räume.*

**Beweis 6.5.1:** Idee: Arbeitsfunktionen.

- Wie bei metrischen Task-System.
- Einfacher, da keine Aufgaben berechnet werden.

**Situation:** Anfangskonfiguration der Server:  $C_0$  ( $k$ -Multimenge), Anforderungsfolge  $\sigma = r_1, r_2, \dots, r_n$  mit  $r_i \in M$ .

Für eine beliebige Konfiguration  $C$ :

$w_i(C)$  = minimale Kosten einer Bearbeitung von  $\sigma_i = r_1, r_2, \dots, r_i$  die in  $C_0$  startet und in  $C$  endet.

$w_0(C)$  = Kosten eines minimalen Matchings von  $C_0$  auf  $C$

**Lemma 6.5.2** a)  $\text{OPT}(\sigma_i) = \min_C(C), \forall \sigma, \forall i$  (Klar)

b)  $w_i(C) = \min_{x \in C} (w_{i-1}(C - x + r_i) + d(r_i, x))$

c)  $w_i(C) = w_{i-1}(C)$ , wenn  $r_i \in C$  (Klar)

d)  $w_i(C) \geq w_{i-1}(C)$  ("Mehr Moves machen mehr Mühe")

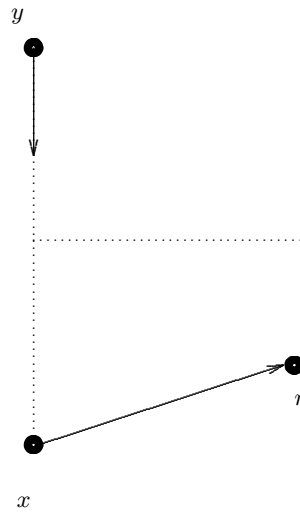


Abbildung 81: Ein Zug von SC

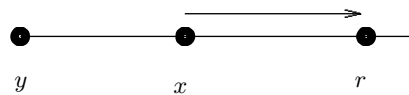


Abbildung 82: SC auf Gerade, Fall 1

**Beweis 6.5.2 b:** “ $\leq$ “ klar:  $w_{i-1}(C - x + r_i) = w_i(C - x + r_i)$  (6.5.2 c), denn rechts steht für jedes  $x \in C$  eine Sepzielle Lösung, der auf der linken Seite verlangen Minimierungsaufgabe.

“ $\geq$ “:

**1. Fall:**  $r_i \in C$  Setze  $x = r_i$  (6.5.2 c)

**2. Fall:**  $r_i \notin C$ . Sei  $C'$  die Konfiguration nach Bearbeitung von  $r_i$

$$\Rightarrow w_i(C) = w_i(C') + \underbrace{D(C', C)}_{39}$$

$$DC(C', C) = d(r_i, x) + \sum_{j=1}^m d(c_j, f(c_j)) \text{ (Siehe Abbildung 84 auf der nächsten Seite.)}$$

$$\geq w_i(C - x + r_i) + d(r_i, x)$$

<sup>39</sup>Kosten eines minimalen Matchings von  $C'$  auf  $C$

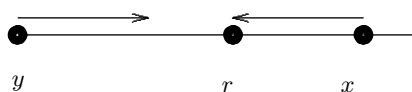


Abbildung 83: sc auf Gerade, Fall 2

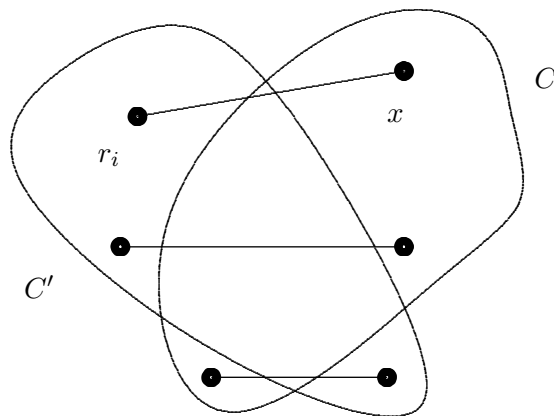


Abbildung 84: Matching zwischen  $C'$  und  $C$

$$\text{denn, } w_i(C - x + r_i) \leq w_i(C') + \underbrace{D(C', C - x + r_i)}_{= \sum_{j=1}^m d(c_j, f(c_j))}$$

$$= w_{i-1}(C - x + r_i) + d(r_i, x)$$

Beweisen jetzt ein technisches Lemma.

**Lemma 6.5.3** (“Quasikonvexität“)  $\forall i \forall$  Konfigurationsmengen  $A, B : \forall a \in A \exists b \in B : w_i(A - a + b) + w_i(B - b + a) \leq w_i(A) + w_i(B)$  (Klar  $a \in A \cap B$ , setze  $b = a$ )

**Beweis 6.5.3:** Induktion  $i = 0$ . Sei  $a \in A$  beliebig, aber fest gewählt.

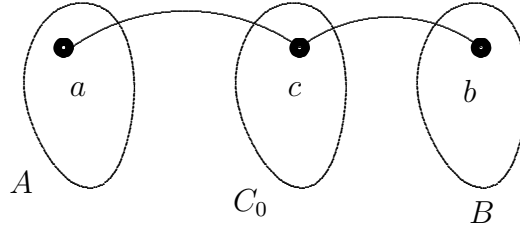
Sei  $M_A \subset A \times C_0$  minimales Matching von  $A$  auf  $C_0$

Sei  $M_B \subset B \times C_0$  minimales Matching von  $B$  auf  $C_0$

Sei  $c \in C_0$  der Partner von  $a$  in  $M_A$

Sei  $b \in B$  der Partner von  $c$  in  $M_B$  (Siehe Abbildung 85 auf der nächsten Seite) Dann ist:

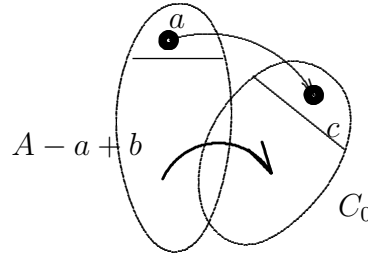
$$\begin{array}{rcl} w_0(A) & D(A, C_0) & D(A - a, C_0 - c) + d(a, c) \\ + & = & + & + \\ w_0(B) & D(B, C_0) & D(B - b, C_0 - c) + d(b, c) \end{array}$$

Abbildung 85: Matching Partner von  $a$  und  $c$ 

$$\begin{aligned}
 & D(A - a, C_0 - c) + d(b, c) && D(A - a + b, C_0) && w_0(A - a + b) \\
 = & \quad + && \geq && + && = && + \\
 & D(B - b, C_0 - c) + d(a, c) && D(B - b + a, C_0) && w_0(B - b + a)
 \end{aligned}$$

$i = 0$

(Siehe Abbildung 86)

Abbildung 86: Konstruktion im Fall  $i = 0$ 

**Jetzt  $i > 0$ :** Nach Lemma 6.5.2 auf Seite 93 (b):

$$\exists x \in A : w_i(A) = w_{i-1}(A - x + r_i) + d(r_i, x)$$

$$\exists y \in B : w_i(B) = w_{i-1}(B - y + r_i) + d(r_i, y) (*)$$

**1. Fall:**  $a = x$  Setze  $b = y$ . Es folgt:

$$w_i(A - a + b) \stackrel{6.5.2}{\leq} w_{i-1}(\underbrace{(A - a + b) - b + r_i}_{A - a + r_i}) + d(r_i, b)$$

$$\text{ebenso: } w_i(B - b + a) \stackrel{6.5.2}{\leq} w_{i-1}(\underbrace{(B - b + a) - a + r_i}_{B - b + r_i}) + d(r_i, a)$$

$$\begin{aligned}
 & w_i(A - a + b) && w_{i-1}(A - a + r_i) + d(r_i, b) && (*) && w_i(A) \\
 \Rightarrow & \quad + && \leq && + && = && + \\
 & w_i(B - b + a) && w_{i-1}(B - b + r_i) + d(r_i, a) && x = a, y = b && w_i(B)
 \end{aligned}$$



$i > 0$  1. Fall

**2. Fall:**  $a \neq x \Rightarrow a \in A - x \subseteq A - x + r_i$  Wende Induktionsvoraussetzung auf die Menge  $A - x + r_i$  und  $B - y + r_i$  und auf  $a$  an.  $\Rightarrow \exists b \in B - y + r_i : w_{i-1}(A - x + r_i - a + b) + w_{i-1}(B - y + r_i - b + a) \leq w_{i-1}(A - x + r_i) + w_{i-1}(B - y + r_i)$  (\*\*)  
 $\Rightarrow w_i(A - a + b) + w_i(B - b + a)$

$$\stackrel{6.5.2b}{\leq} w_{i-1}(A - a + b - x + r_i) + d(x, r_i) \quad (**) \quad w_{i-1}(A - x + r_i) + d(x, r_i) \\ \leq \qquad \qquad \qquad + \qquad \qquad \qquad \leq \qquad \qquad \qquad + \\ w_{i-1}(B - b + a - y + r_i) + d(y, r_i) \qquad \qquad w_{i-1}(B - y + r_i) + d(y, r_i)$$

$$\stackrel{(*)}{=} w_i(A) + w_i(B) \quad \boxed{6.5.3}$$

Damit technische Vorbereitung abgeschlossen. Kommen nun zur Definition des Work Funktion Algorithmus WFA.

**Situation:** Server in Konfiguration  $C_{i-1}, \sigma_{i-1} = r_1, \dots, r_{i-1}$  schon bearbeitet. Anforderung  $r_i$  kommt an. Was tun?

**Residerata:**

- So sein wie OPT
- Greedy

$\Rightarrow$  Kombination.

WFA zieht seine Server in Konfiguration  $C$  mit:

- $r_i \in C$
- $C$  minimiert  $\underbrace{w_i(X)}_{\text{OPT}} + \underbrace{D(C_{i-1}, x)}_{\text{Greedy}}$

Tatsächlich braucht WFA zur Minimierung von  $f(x) = w_i(X) + D(C_{i-1}, X)$  nur einen Server zu bewegen.

**Lemma 6.5.4**  $\min_{C: r_i \in C} \underbrace{w_i(C) + D(C_{i-1}, C)}_{=f(C)} \stackrel{(1)}{=} w_i(C_{i-1})$

$$\stackrel{(2)}{=} \min_{s \in C_{i-1}} (w_{i-1}(C_{i-1} - s + r_i) + d(s, r_i))$$

**Beweis 6.5.4:** (1) “ $\geq$ “ trivial.

(2) “ $=$ “ wegen Lemma 6.5.2 auf Seite 93 (b).

(1) “ $\leq$ “: Sei  $s \in C_{i-1}$  beliebig. Setze  $C = C_{i-1} - s + r_i$ . Dann gilt  $w_i(C) + D(C_{i-1}, C) = w_i(\underbrace{C_{i-1} - s + r_i}_C) + d(s, r_i)$  6.5.4

**Das bedeutet:** Man kann WFA auch dadurch definieren, dass bei Anforderung von  $r_i$  ein Server von demjenigen  $s \in C_{i-1}$  auf  $r_i$  gezogen wird, das das  $w_{i-1}(C_{i-1} - s + r_i) + d(s, r_i)$  minimiert.

**Neue Konfiguration:**  $C_{i-1} - s + r_i = C_i$

Kosten:  $\text{WFA}(r_i) = d(s, r_i)$

**23.07.03** ”Betrachte die “Offline-Pseudokosten“ der Konfiguration  $C_0, C_1, \dots, C_n$  von WFA :

$w_i(C_i) - w_{i-1}(C_{i-1})$  teleskopiert

Addiere die echten Kosten  $\text{WFA}(r_i) = d(s, r_i)$

Nun ist:  $w_i(C - i) \stackrel{r_i \in C_i \text{ 6.5.2(c)}}{=} w_{i-1}(C_i)$

$\stackrel{6.5.4 \text{ Def. } C_i, s}{=} 0 w_i(C_{i-1}) - d(s, r_i)$ , also:

$$\begin{aligned} w_i(C_i) - w_{i-1}(C_{i-1}) + d(s, r_i) &= w_i(C_{i-1}) - w_{i-1}(C_{i-1}) \\ &\leq \max_C (w_i(C) - w_{i-1}(C)) \end{aligned}$$

**Vorteil:** Das hngt nicht mehr von WFA ab, nur von  $(M, d)$  und  $\sigma_i$ .  
**Nachteil:** Verschwendung.

**Zum Beweis von Theorem 6.5.1 auf Seite 93:**

**Hauptlemma 6.5.5**  $\exists A \forall n \forall \sigma$  der Lnge  $n$  :  $\sum_{i=1}^n \max_C (w_i(C) - w_{i-1}(C)) \leq 2k \cdot \text{OPT}(\sigma) + A$

**Aus Hauptlemma 6.5.5 folgt Theorem 6.5.1 auf Seite 93:**

$$\begin{aligned} &\underbrace{W_n(C_n)}_{\geq \text{OPT}(\sigma)} - \underbrace{W_0(C_0)}_{=0} + \text{WFA}(\sigma) \\ &= \sum_{i=1}^n [w_i(C_i) - w_{i-1}(C_{i-1}) + \text{WFA}(r_i)] \leq \sum_{i=1}^n \max_C (w_i(C) - w_{i-1}(C)) \\ &\stackrel{6.5.5}{\leq} 2k \cdot \text{OPT}(\sigma) + A \\ &\Rightarrow \text{WFA}(\sigma) \leq (2k - 1)\text{OPT}(\sigma) + A \quad \boxed{6.5.1} \end{aligned}$$

**Beweis 6.5.5:** Überlegung:  $w_i(C) - w_{i-1}(C) = ?$  (0 falls  $r_i \in C$ ) Wird maximal, wenn  $w_{i-1}(C)$  möglichst klein und alle Punkte von  $C$  weit von  $r_i$  entfernt sind.

**Definition**  $C$  heißt Minimierer für  $r_i$  bezüglich  $w_{i-1}$  falls die Funktion  $f(C) = w_{i-1}(C) - \sum_{a \in C} d(a, r_i)$  für  $C$  minimal wird. Das tut's:

**Lemma 6.5.6** (a) Jeder Minimierer für  $r_i$  bezüglich  $w_{i-1}$  ist Maximierer für  $w_i(X) - w_{i-1}(X)$ .

(b) Jeder Minimierer für  $r_i$  bezüglich  $w_{i-1}$  ist auch Minimierer für  $r_i$  bezüglich  $w_i$ .

**Beweis 6.5.6:** Sei  $A$  ein Minimierer für  $r_i$  bezüglich  $w_{i-1}$ , d.h.:

$$\forall X : w_{i-1}(A) - \sum_{a \in A} d(a, r_i) \leq w_{i-1}(X) - \sum_{x \in X} d(x, r_i) (*)$$

(a): Zu zeigen:  $\forall B : w_i(A) - w_{i-1}(A) \geq w_i(B) - w_{i-1}(B)$

$$\Leftrightarrow \forall B : w_i(A) + w_{i-1}(B) \geq w_{i-1}(A) + w_i(B)$$

$$\Leftrightarrow \forall B : \min_{a \in A} (w_{i-1}(A - a + r_i) + d(a, r_i)) + w_{i-1}(B)$$

$$\geq w_{i-1}(A) + \min_{b \in B} (w_{i-1}(B - b + r_i) + d(b, r_i))$$

$$\Leftrightarrow \forall B : \forall a \in A \exists b \in B : w_{i-1}(A - a + r_i) + d(a, r_i) + w_{i-1}(B) \stackrel{!}{\geq} w_{i-1}(A) + w_{i-1}(B - b + r_i) + d(b, r_i)$$

Sei  $a \in A$  beliebig, aber fest gewählt. Wende Lemma 6.5.3 auf Seite 95 (Quasikonvexität) an auf:

$\mathfrak{A} = A - a + r_i, \mathfrak{a} = r_i, \mathfrak{B} = B, \mathfrak{i} = i - 1$  an:

$$\boxed{\exists b \in B : w_{i-1}(A - a + r_i - r_i + b) + w_{i-1}(B - b + r_i) \leq w_{i-1}(A - a - r_i) + w_{i-1}(B)} \quad (\text{I})$$

Aus Voraussetzung (\*) folgt für  $X = A - a + b$ :

$$w_{i-1}(A) - \sum_{x \in A} d(x, r_i) \leq w_{i-1}(A - a + b) - \sum_{x \in A - a + b} d(x, r_i)$$

$$\Leftrightarrow \boxed{w_{i-1}(A) - d(a, r_i) \leq w_{i-1}(A - a + b) - d(b, r_i)} \quad (\text{II})$$

Aus (I) und (II) folgt Behauptung.

**Beweis (b):**  $\forall B : w_i(A) - \sum_{a \in A} d(a, r_i)$

$$\stackrel{!}{\leq} w_i(B) - \sum_{b \in B} d(b, r_i)$$

$$\Leftrightarrow \forall B \forall y \in B \exists x \in A : w_{i-1}(A - x + r_i) + d(x, r_i) - \sum_{a \in A} d(a, r_i) \stackrel{!}{\leq} w_{i-1}(B - y + r_i) + d(y, r_i) - \sum_{b \in B} d(b, r_i)$$

$$y + r_i) + d(y, r_i) - \sum_{b \in B} d(b, r_i)$$

Sei  $y \in B$  beliebig, aber fest gewählt

$\Rightarrow x \in A$  : Wenne Lemma 6.5.3 auf Seite 95 auf  $\mathfrak{A} = B - y + r_i$ ,  $\mathfrak{a} = r_i$ ,  $\mathfrak{B} = A$

$$\exists x \in A : w_{i-1}(B - y + r_i - r_i + x) + w_{i-1}(A - x + r_i) \leq w_{i-1}(B - y + r_i) + w_{i-1}(A)$$

Also:

$$\boxed{w_{i-1}(B - y + x) + w_{i-1}(A - x + r_i) - w_{i-1}(A) \leq w_{i-1}(B - y + r_i)} \quad (\text{I})$$

Andererseits folgt aus (\*) f+r  $X = B - y + x$

$$w_{i-1}(A) - \sum_{a \in A} d(a, r_i) \leq w_{i-1}(B - y + x) - \underbrace{\sum_{b \in B-y+x} d(b, r_i)}_{-\sum_{b \in B} d(b, r_i) - d(y, r_i) + d(x, r_i)}$$

$$\boxed{w_{i-1}(A) - \sum_{a \in A} d(a, r_i) - w_{i-1}(B - y + x) + d(x, r_i) \leq d(y, r_i) - \sum_{b \in B} d(b, r_i)} \quad (\text{II})$$

Aus (I) + (II) folgt Behauptung 6.5.6

**Zur Erinnerung:** Mssen 6.5.5 auf Seite 98 zeigen, also

$$\sum_{i=1}^n \max_C (w_i(C) - w_{i-1}(C)) \leq 2k \cdot \text{OPT}(\sigma) + A$$

Haben gerade Menge  $C$  betrachtet, welche die Differenzen  $w_i(C) - w_{i-1}(C)$  maximieren.

Sei  $A_i$  ein Minimierer von  $r_i$  bezglich  $w_{i-1}$ , d.h.:

$$w_{i-1}(A_i) - \sum_{a \in A_i} d(a, r_i) = \min_X \underbrace{\left( w_i(X) - \sum_{x \in X} d(x, r_i) \right)}_{=:\text{MIN}_{i-1}(r_i)}$$

$$\Rightarrow \max_C (w_i(C) - w_{i-1}(C)) \stackrel{6.5.6(a)}{=} w_i(A_i) - w_{i-1}(A_i)$$

$$= \underbrace{\left( w_i(A_i) - \sum_{a \in A_i} d(a, r_i) \right)}_{=\text{MIN}_i(r_i)^{40}} - \underbrace{\left( w_{i-1}(A_i) - \sum_{a \in A_i} d(a, r_i) \right)}_{=\text{MIN}_{i-1}(r_i)^{41}}$$

$$\Rightarrow \max_C (w_i(C) - w_{i-1}(C)) = \text{MIN}_i(r_i) - \text{MIN}_{i-1}(r_i)$$

Bis jetzt nur  $(M, d), \sigma$  betrachtet.

Bringe jetzt  $\text{OPT}$  ins Spiel: Sei  $U_i$  Konfiguration von  $\text{OPT}$  nach Erledigung von  $\sigma_i = r_1, \dots, r_i$

$$\text{MIN}_i(r_i) - \text{MIN}_{i-1}(r_i)$$

<sup>40</sup>da nach 6.5.6 auf der vorherigen Seite (b)  $A_i$  auch Minimierer fr  $r_i$  bezglich  $w_i$  ist.

<sup>41</sup>da nach 6.5.6 auf der vorherigen Seite (a)  $A_i$  Minimierer fr  $r_i$  bezglich  $w_{i-1}$

$$\leq \sum_{u \in U_i - r_i} \underbrace{(\text{MIN}_i(u) - \text{MIN}_{i-1}(u))}_{>0}$$

$\begin{aligned} \text{MIN}_i(u) &\stackrel{\text{def}}{=} \min_X \left( \underbrace{w_i(X)}_{\geq w_{i-1}(X)} - \sum_{a \in X} d(a, u) \right) \\ &\geq \min_X (w_{i-1}(X) - \sum_{a \in X} d(a, u)) \stackrel{\text{def}}{=} \text{MIN}_{i-1}(u) \end{aligned}$
---

**Zwischenergebnis:**  $\max_C (w_i(C) - w_{i-1}(C)) \leq \sum_{u \in U_i} \text{MIN}_i(u) - \sum_{u \in U_{i-1}} \text{MIN}_{i-1}(u) (**)$

Charakter von Potentialfunktionen, teleskopiert nicht
---

Angenommen, OPT zieht von Server von  $z$  nach  $r_i \Rightarrow U_i = U_{i-1} - z + r_i$

$$\sum_{u \in U_i} \text{MIN}_{i-1}(u) - \sum_{u \in U_{i-1}} \text{MIN}_{i-1}(u) = \text{MIN}_{i-1}(r_i) - \text{MIN}_{i-1}(z)$$

$$\text{MIN}_{i-1}(r_i) = \min_X \left( w_{i-1}(X) - \sum_{a \in X} d(a, r_i) \right)$$

$$\stackrel{\Delta \neq}{\geq} \min_X \left( w_{i-1}(X) - \sum_{a \in X} (d(a, z) + d(z, r_i)) \right)$$

$$= \min_X \left( w_{i-1}(X) - \sum_{a \in X} d(a, z) \right) \stackrel{\text{def}}{=} \text{MIN}_{i-1}(z) - kd(z, r_i)$$

$$\Rightarrow \sum_{u \in U_i} \text{MIN}_{i-1}(u) - \sum_{u \in U_{i-1} \text{ MIN}_{i-1}(u) \geq k \cdot d(z, r_i)} (***)$$

$$(**) + (***) : \max_C (w_i(C) - w_{i-1}(C)) - k \cdot \underbrace{d(z, r_i)}_{\text{OPT}(r_i)}$$

$$\leq \sum_{u \in U_i} \text{MIN}_i(u) - \sum_{u \in U_{i-1}} \text{MIN}_{i-1}(u) + \sum_{u \in U_i} \text{MIN}_{i-1}(u) - \sum_{u \in U_{i-1}} \text{MIN}_{i-1}(u)$$

$$= \sum_{u \in U_i} \text{MIN}_i(u) - \sum_{u \in U_{i-1}} \text{MIN}_{i-1}(u) \quad \text{Jetzt teleskopiert es.}$$

**Es folgt:**  $\sum_{i=1}^n \max_C (w_i(C) - w_{i-1}(C)) - k \cdot \text{OPT}(\sigma) = \sum_{i=1}^n \left( \max_C (w_i(C) - w_{i-1}(C)) - k \cdot \text{OPT}(r_i) \right)$

$$\leq \underbrace{\sum_{u \in U_n} w_n(u)}_{\leq k \cdot \text{OPT}(\sigma)} - \underbrace{\sum_{u \in U_0} \text{MIN}_0(u)}_{=A}$$

Sei  $y \notin U_n$  Dann  $\text{MIN}_n(u) \stackrel{\text{Def}}{=} \min_X (w_n(X) - \sum_{a \in X} d(a, u)) \leq w_n(U_n - u + y) -$

$$d(y, a) \leq w_n(U_n) = \text{OPT}(\sigma).$$

**6.5.1**

## Index

Amortisierte Kosten, 9

BIT, 15

Clock, 29

First In First Out, 29

Flush when Full, 29

Frequency Count, 8

Gegenspieler

    vergesslich, 14

kompetitiv

    Definition, 4

Last In First Out, 29

Least Recently Used, 29

Lineare Listen, 7

Longest Forward Distance, 30

Move To Front, 8

Move To Root, 18

Online-Algorithmus, 6

Paging, 28

$h, k$ , 32

    Markierungsalgorithmen, 32

    Phase, 32

Problem

    Definition, 4

Randomisierter Algorithmus, 14

Seitenfehler, 28

Selbstorganisierende Bäume, 18

Splay Trees, 20

Tiefenverdopplung, 3

Transpose, 8